



UNIVERSITAT DE  
BARCELONA

FACULTAD DE GEOGRAFÍA E HISTORIA

ARQUEOLOGÍA

Conjuntos de industria lítica tallada del Penedés  
durante el Neolítico Final-Calcolítico  
(III milenio a.C.) en contextos funerarios

---

Características, funciones y simbolismos

**Cynthia Belén González Olivares**  
**NIUB 16260823**

**Tutor: Dr. Xavier Mangado Llach**  
**Bloque temático: Prehistoria y Protohistoria**  
**Trabajo Final de Grado**

## RESUMEN

---

Durante el Neolítico final-Calcolítico (III milenio a.C.), los pobladores de la zona del Penedés vivieron cambios sustanciales en el modo de enfrentarse a la muerte, dejando para la posteridad ajueres compuestos de elementos significativos, principalmente fabricados en sílex. Teniendo como base esta premisa, este trabajo pretende dar a conocer los resultados preliminares del estudio sistemático realizado en conjuntos funerarios compuestos por una serie de grandes láminas, puntas foliáceas y puntas de pedúnculo y aletas, todos ellos pertenecientes a seis yacimientos de la zona –Cova de la Guineu (Font-Rubí, Alto Penedés), Cova Foradada (Calafell, Bajo Penedés), Cova del Pantà de Foix (Castellet y Gornal, Alto Penedés), Cova de la Font del Molinot (Pontons, Alto Penedés), Cova de les Esquerdes del Pany (Torrelles de Foix, Alto Penedés) y Avenc de Sant Antoni (Cunit, Bajo Penedés)–, con el objetivo de dar a conocer su importancia funcional, económica y simbólica.

**Palabras clave:** *Grandes láminas, sílex, ajuar, Neolítico final, Calcolítico, Penedés.*

## ABSTRACT

---

During the Final Neolithic and Chalcolithic (III millennium BC), the inhabitants of the zone of the Penedès lived through substantial changes in the way of facing the death, leaving for the posterity compound apparels showy elements, principally made in chert. Taking this premise as a base, this work tries to announce the preliminary results of the systematic study realized in sets composed by long blades, leaf-shaped arrowheads and arrowheads, all of them belonging to six archaeological sites of the zone –Cova de la Guineu (Font-Rubí, Alt Penedès), Cova Foradada (Calafell, Baix Penedès), Cova del Pantà de Foix (Castellet i la Gornal Alt Penedès), Cova de la Font del Molinot (Pontons, Alt Penedès), Cova de les Esquerdes del Pany (Torrelles de Foix, Alt Penedès) and Avenc de Sant Antoni (Cunit, Baix Penedès)–, with the aim to announce his functional, economic and symbolic importance.

**Key Words:** *Long blades, chert, burial goods, Final Neolithic, Chalcolithic, Penedès.*

## AGRADECIMIENTOS

La constancia permite que se gesten grandes cosas: un viaje, un trabajo, un sueño... Después de mucho esfuerzo, hoy puedo decir que se está acabando la primera etapa, aquella que ha requerido el apoyo de un entorno comprensivo y de grandes personas que han aportado para que todo esto se pudiese llevar a cabo, es por ello que me gustaría dar las gracias.

En primer lugar, quiero dedicar unas palabras a quien se ha convertido en mi mentor, pues sin sus enseñanzas todo lo que se plasma en este trabajo no se hubiese podido desarrollar. Gracias Dr. Xavier Mangado por instruirme en la arqueopetrología, facilitarme el análisis de parte de las piezas y por acompañarme a los museos cuando lo necesitaba. Además, creo importante destacar la labor que han tenido todas aquellas personas y organismos que han dedicado parte de su tiempo en tenderme una mano: directores y colaboradores de las excavaciones aquí señaladas, en especial a Artur Cebrià y Xavier Oms; a los museos de Vilafranca del Penedès y Vilanova i la Geltrú por accederme a consultar sus piezas y utilizar sus instalaciones, especialmente a Jordi Farré (VINSEUM) y Mar Pérez (Museu Víctor Balaguer de Vilanova i la Geltrú); a Francisco Núñez (Olympus) por su buena disposición en todo momento, a la Dra. Marta Sánchez de la Torre por su apoyo académico y moral incondicional y al SERP por permitirme utilizar sus herramientas para poder llevar a cabo el análisis de las materias primas. Asimismo, me agradaría reconocer la labor de los miembros del tribunal, doctores Jordi Nadal, David García e Ignasi Garcés por dedicar parte de su tiempo en analizar de manera crítica este trabajo.

No menos importante, me gustaría agradecer a aquellos que han seguido mis pasos desde el otro lado del mundo, porque el sentir su compañía me ha permitido adquirir las fuerzas necesarias para seguir aquí: a ti, mi mejor amiga, 'mi Tamy', gracias por confiar en mis decisiones y por ser mi ejemplo a seguir. A mi tío Oriol, quien me ha inculcado el amor por el estudio y me ha apoyado siempre. A ellos, mis hermanos, cuñados y sobrinos por creer en mí y a ustedes, mis padres, los que han hecho que esto pasase de ser un sueño a una hermosa realidad... gracias mamá y papá por soportar la distancia y confiar en las decisiones que me han alejado de ustedes, son los mejores.

Por último, quiero agradecerle a mi fiel compañero, quien ha confiado ciegamente en mí y me ha subido la moral cuando lo he necesitado. Porque has estado en las buenas y en las malas y porque me has hecho sentir buena en lo que hago... gracias por tu incondicionalidad, Roger.

Este esfuerzo va dedicado a ti Neni, que decidiste partir antes de mi adiós...

Barcelona, junio de 2016.

## ÍNDICE

<b>1. Introducción.....</b>	<b>4</b>
1.1 Objetivo principal.....	5
1.2 Objetivos específicos.....	5
1.3 Problemáticas.....	6
<b>2. Contextualización.....</b>	<b>7</b>
2.1 Cova de la Guineu.....	9
2.2 Cova Foradada.....	12
2.3 Cova del Pantà de Foix.....	14
2.4 Cova de la Font de Molinot.....	15
2.5 Cova de les Esquerdes del Pany.....	16
2.6 Avenc de Sant Antoni.....	18
<b>3. Materiales.....</b>	<b>18</b>
<b>4. Metodología.....</b>	<b>19</b>
4.1 Base de datos.....	19
4.2 Análisis.....	20
<b>5. Resultados.....</b>	<b>22</b>
5.1 Tipología.....	22
5.2 Procedencia.....	29
5.2.1 Sílex marino.....	30
5.2.2 Sílex continental lacustre.....	32
5.2.3 Sílex continental evaporítico.....	35
5.2.4 Sílex indeterminado.....	36
5.2.5 Sílex indeterminable.....	37
5.3 Funcionalidad.....	38
<b>6. Interpretación.....</b>	<b>41</b>
<b>7. Conclusión.....</b>	<b>44</b>
<b>8. Bibliografía.....</b>	<b>45</b>
<b>9. Anexos.....</b>	<b>51</b>

## 1. INTRODUCCIÓN

Hacia finales del Neolítico y principios del Calcolítico –período comprendido a lo largo del III milenio a.C.– tanto Cataluña como otras regiones de Europa (especialmente el Sur de Francia) fueron escenario de diversas manifestaciones funerarias que dejaron consigo un legado material de gran importancia fabricado en sílex: grandes láminas, foliáceas y puntas de pedúnculo y aletas. Comprender este tipo de registro en contextos funerarios es esencial para poder conocer rasgos de la vida de los habitantes de la zona, por lo que el uso de diversas técnicas de análisis es imprescindible para poder realizar una lectura global de cada una de las piezas. En este sentido, la inserción en Arqueología de técnicas derivadas de la Geología permite conocer elementos que proporcionan información sobre la zona de origen de la materia prima, lo que a su vez permite generar una interpretación en torno a los contactos de las poblaciones y la vinculación de éstas con el medio que las rodeaba. Además, la conjunción de estas características con análisis más propiamente arqueológicos (tecnología y traceología) nos están permitiendo profundizar en los mecanismos de aprovisionamiento y en los sistemas de explotación, producción, uso e intercambio de las manufacturas prehistóricas (Mangado, 2000:9).

Si bien existen estudios previos realizados sobre grandes láminas de sílex del NE peninsular y del Sur de Francia (Clop *et al.*, 2008; Vaquer y Remicourt, 2009; Gibaja *et al.*, 2009), no existe un estudio de tipo regional que se centre en los yacimientos de la región del Penedés, por lo que la motivación principal de la elección de esta zona como lugar de estudio ha sido el conocer los conjuntos vinculados a los ajueres funerarios para poder entender a los pobladores de la época, ya sea en sus rutinas cotidianas como su actuar frente a la muerte.

Para poder llevar a cabo esta idea, este trabajo se ha dividido en dos grandes apartados. En primer lugar, se realizará un análisis sistemático de cada una de las piezas siguiendo un determinado orden:

- a. Realización de un análisis arqueopetroológico detallado a través de la observación macroscópica mediante la lupa binocular
- b. Descripción tecnológica de cada una de las piezas
- c. Disposición de análisis traceológico en algunos casos

En segundo lugar, tras conocer los datos obtenidos en la primera fase, se realizará una interpretación global en la que se pretende dar a conocer el valor de las piezas tanto a nivel funcional, económico como también simbólico.

La arqueopetrología se ha convertido en un aliado fiel de la Arqueología, pues la identificación mineralógica, petrográfica y micropaleontológica permite obtener información de la materia prima y vincularla con las poblaciones que utilizaron estas rocas para crear sus implementos (Fernandes y Raynal, 2006). En este sentido, se ha utilizado esta disciplina para poder conocer, por ejemplo, patrones de explotación en sociedades que se dedicaban a la caza y recolección de recursos (Elorrieta, 2011), lo que ha permitido conocer cuáles eran las zonas de captación de materias primas de estos grupos del Paleolítico. Al mismo tiempo, estos estudios se han utilizado para sociedades más sedentarias, en las que la movilidad está vinculada a la fuerte especialización en la obtención y trabajo de la materia prima y al valor de ésta como bien simbólico y de intercambio.

### **1.1 Objetivo principal**

Principalmente, el objetivo de este trabajo es determinar cuáles eran las funciones de las grandes láminas de sílex en la región que actualmente conocemos como Penedés, tanto a nivel económico –es decir, su valor como elementos de intercambio con grupos próximos o lejanos–, funcional –cómo eran utilizadas estas piezas–, como también su valor simbólico dentro de los contextos funerarios –como parte de un ajuar–.

### **1.2 Objetivos específicos**

- a. Localizar las zonas de proveniencia de la materia prima utilizada a partir del análisis macroscópico de las piezas.
- b. Comprender la funcionalidad de los objetos a partir de los vestigios dejados en las piezas, los cuáles pueden ser observados a través de la lupa binocular –pátina de cereal propia de actividades de siega, por ejemplo– y mediante una observación traceológica recurriendo a la bibliografía hasta ahora publicada –pudiendo determinar usos como el trabajo sobre madera o carne, entre otros–.
- c. Interpretar desde una perspectiva simbólica el valor de estas piezas dentro del contexto funerario.

### 1.3 Problemáticas

La realización de trabajos de esta índole presenta diversas problemáticas, las cuales están vinculadas a factores de tipos tanto técnico como humano. En este sentido, es importante comprender que al tratarse de conjuntos provenientes de seis yacimientos diferentes ha sido imposible poder reunir las piezas en un mismo sitio y poder generar una visión global del conjunto *a priori*, por lo que la consecución de cada uno de los materiales ha ralentizado el estudio de los mismos. Sin embargo, es importante destacar la labor que han tenido los museos de Vilafranca del Penedés y Vilanova i la Geltrú en la realización de este trabajo, pues la disposición de ambos y la voluntad e interés por este estudio por parte de las direcciones de los yacimientos, ha hecho que este sea un problema más sencillo de sortear.

En cuanto a los factores de tipo técnico –vinculados exclusivamente al análisis del material–, es importante señalar que, en primer lugar, algunos de los yacimientos no fueron excavados de manera sistemática y/o fueron trabajados en épocas antiguas, por lo que la falta de información contextual de las piezas y los materiales asociados ha sido una tónica constante; y en segundo lugar, el avanzado nivel de alteraciones de las piezas –acción del fuego o pátinas blancas– ha impedido el análisis macroscópico de las mismas, imposibilitando reconocer el tipo de sílex del que disponíamos.

## 2. CONTEXTUALIZACIÓN

A partir de la segunda mitad del IV milenio y durante el III milenio a.C., las comunidades del NE de la Península Ibérica –al igual que muchas de la Europa Occidental– experimentaron cambios en su organización social, económica e ideológica (Gibaja, Palomo y Terradas, 2005). En este momento se observan cambios significativos en los patrones de asentamiento, en las formas y rituales de enterramiento y en la consolidación de las redes de intercambio de materias primas (Gibaja, Terradas y Palomo, 2007). El aprovechamiento intensivo de los recursos vegetales demuestra una importante producción agrícola, basada principalmente en el cultivo de cereales y leguminosas, lo que indicaría una madurez en la explotación del territorio (Clop *et al.*, 2008:25).

Al igual que en otras zonas de Europa, los grupos del NE peninsular presentan un tipo de subsistencia vinculado a las estadias estacionales, aprovechando las condiciones más favorables de cada nicho ecológico (Clop *et al.*, 2008). A partir de esto, es posible plantearse la idea de un contacto importante entre diversos grupos, formando una red de vínculos de intercambio de materias primas, las cuales han quedado preservadas hasta nuestros días en forma de diversos vestigios arqueológicos, entre los cuales nosotros nos centraremos en las grandes láminas, puntas de flechas de aletas y pedúnculo y puntas foliáceas.

En cuanto al valor económico, funcional y simbólico de estos conjuntos, se han hecho estudios centrados principalmente en las grandes láminas, puesto que la calidad del material –generalmente sílex exógenos– y la complejidad de fabricación las hacen altamente llamativas, sin embargo, la integración de los diversos tipos de puntas como elementos que acompañan a estas grandes láminas podría aumentar el valor explicativo del conjunto.

Al tratarse de elementos hallados en contextos funerarios, es frecuente que se les asigne un valor simbólico, por lo que determinar si éstas han sido fabricadas exclusivamente para ser enterradas, o si previamente han sido utilizadas para acabar con la vida de los inhumados permite definir las, o no, como elementos de prestigio. Con la ayuda de estudios traceológicos, ha sido posible determinar si evidentemente se trata o no de piezas exclusivas para la muerte, indicando que en su mayoría, los conjuntos líticos que conforman el ajuar han sido utilizadas previamente en procesos productivos

vinculados a la siega, al trabajo de la piel y la carne o al tratamiento de plantas no leñosas (Clop *et al.*, 2001)

Como hemos podido observar, existen diversos estudios centrados en la producción y funcionalidad de las grandes láminas de sílex (Clop *et al.*, 2001; Clop, 2005, 2008; Vaquer, Remicourt y Vergély, 2006; Honegger, 2006; Museu d'Arqueologia de Catalunya, 2008; Morgado *et al.*, 2008; Gibaja *et al.*, 2008, 2009; Vaquer y Remicourt, 2012), sin embargo, la ampliación de estos estudios a los conjuntos líticos compuestos por piezas adicionales –como lo que se pretende hacer a lo largo de este trabajo– ha quedado pendiente. Por ello, la aplicación de estudios arqueopetrologógicos –acompañados de una perspectiva tecnológica y traceológica– en yacimientos que comparten una zona geográfica, podría facilitar una lectura comparativa entre los grupos que utilizaron las cuevas y abrigos sepulcrales en esta región, permitiendo observar posibles rasgos en común entre ellos.



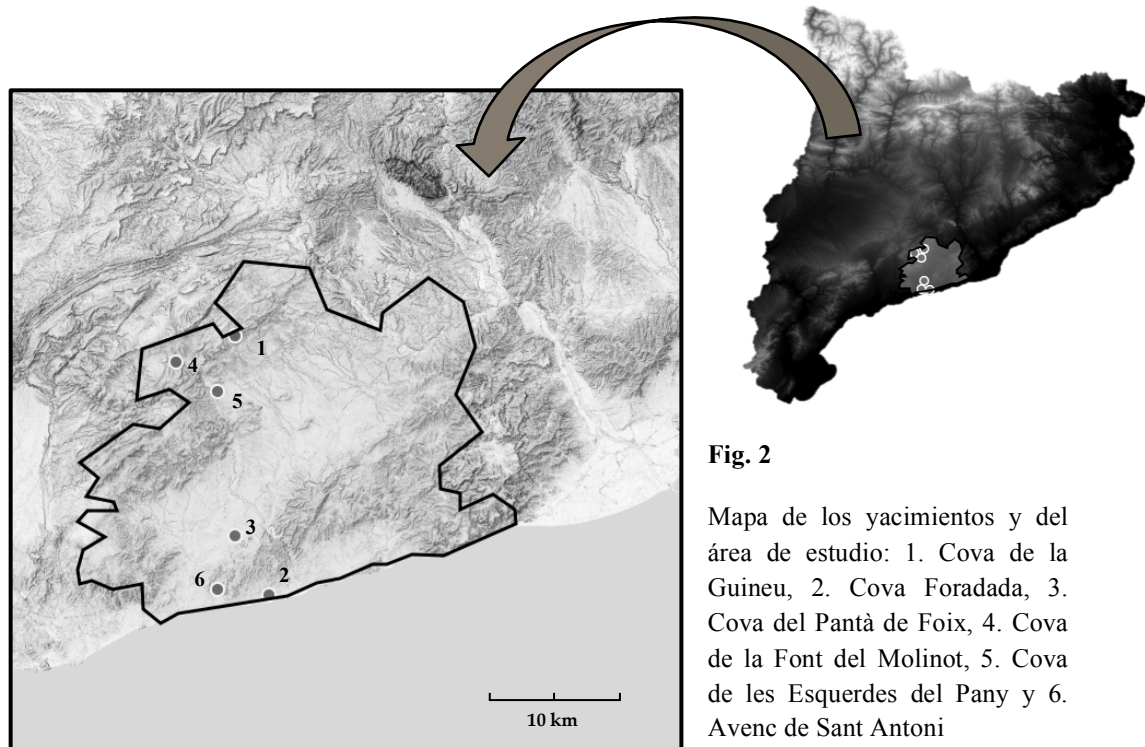
**Fig. 1**

Localización geográfica del  
Penedés en Cataluña.

Fuente: Xavier Esteve

El Penedés es una región natural que se sitúa entre la Sierra Prelitoral y el litoral mediterráneo. Actualmente se encuentra dividida en tres comarcas administrativas: Alto Penedés, Bajo Penedés y el Garraf (Fig. 1). Si observamos este espacio, es posible distinguir que se trata de una zona con características geográficas propias, en la que se diferencian cuatro unidades de relieve: la Sierra Prelitoral, la Depresión Prelitoral, La Sierra de la Marina o Litoral y finalmente, las Llanuras Litorales (Enciclopedia catalana, 2015). Adicionalmente, sabemos que las cuevas del Penedés fueron utilizadas de manera reiterada durante la prehistoria, ya sea por las condiciones climatológicas, como por los modos de vida de las poblaciones que ocupaban esta zona (Aymamí, 2003), por

lo que al tratarse de una zona con relieve propio y abundante en cavidades, es posible realizar un estudio vinculado a la geografía y que no se limita exclusivamente a las circunscripciones administrativas actuales. Hemos podido contar con material proveniente de seis yacimientos diferentes (Fig. 2.), todos ellos pertenecientes a contextos funerarios, lo que permite cumplir con los objetivos del estudio.

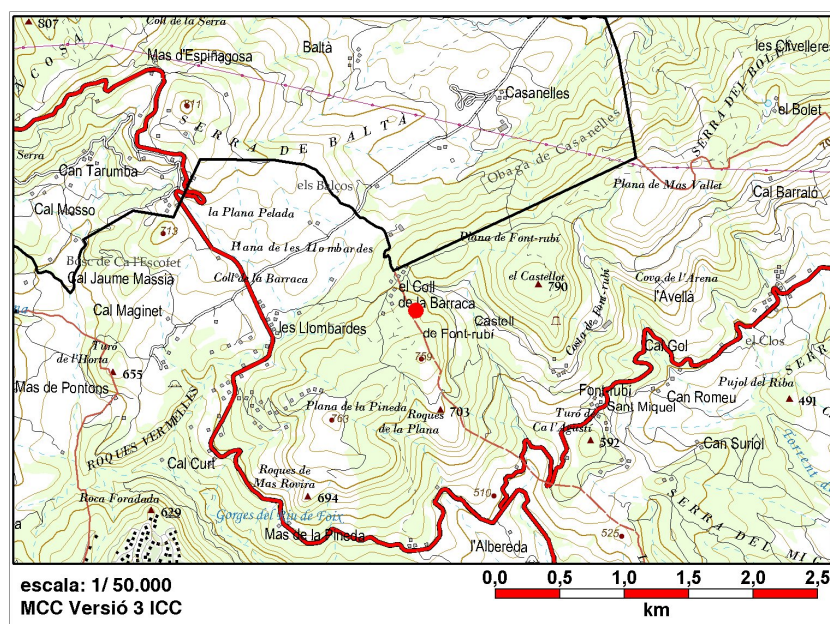


Para poder comprender el contexto del que provienen estos conjuntos líticos, a continuación se hará una breve descripción de cada uno de los yacimientos. Sin embargo, es preciso resaltar que a pesar de tratarse de yacimientos similares en cuanto a funcionalidad, éstos han sido trabajados con metodologías diferentes –debido al tipo de excavación y a la década en la que se realizaron los trabajos–, por lo que es frecuente no poseer algunos datos.

### **2.1 Cova de la Guineu (Font-Rubí, Alto Penedés)**

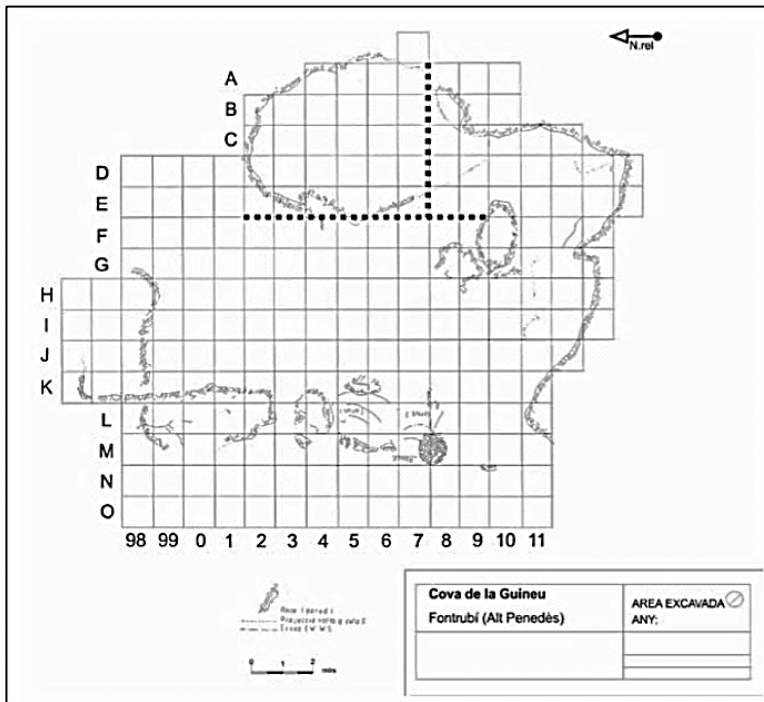
Corresponde a una cueva localizada en el municipio de Font-Rubí (Alto Penedés) a 734 msnm, en la Sierra Prelitoral. La red de drenaje que modela esta zona está configurada por la cuenca del Foix, el que nace en las laderas meridionales de la Sierra de Ancosa o de la Llacuna, a 800-900 msnm y sus coordenadas geográficas son UTM 31N X(E) 380921 (N) 4588723 (Morales *et al.*, 2013).

Fue intervenida por primera vez en el año 1983, bajo la dirección de Josep Mestres, momento en el cual se documentaron niveles de ocupación asociados al Epipaleolítico microlaminar (Inventari del Patrimoni arqueològic de Catalunya, 2015c). Posteriormente, en el año 1988, el yacimiento comenzó a ser estudiado ininterrumpidamente hasta la actualidad por un equipo compuesto por miembros del *Seminari d'Estudis i Recerques Prehistòriques* (SERP) de la Universidad de Barcelona (Inventari del Patrimoni arqueològic de Catalunya, 2015c).

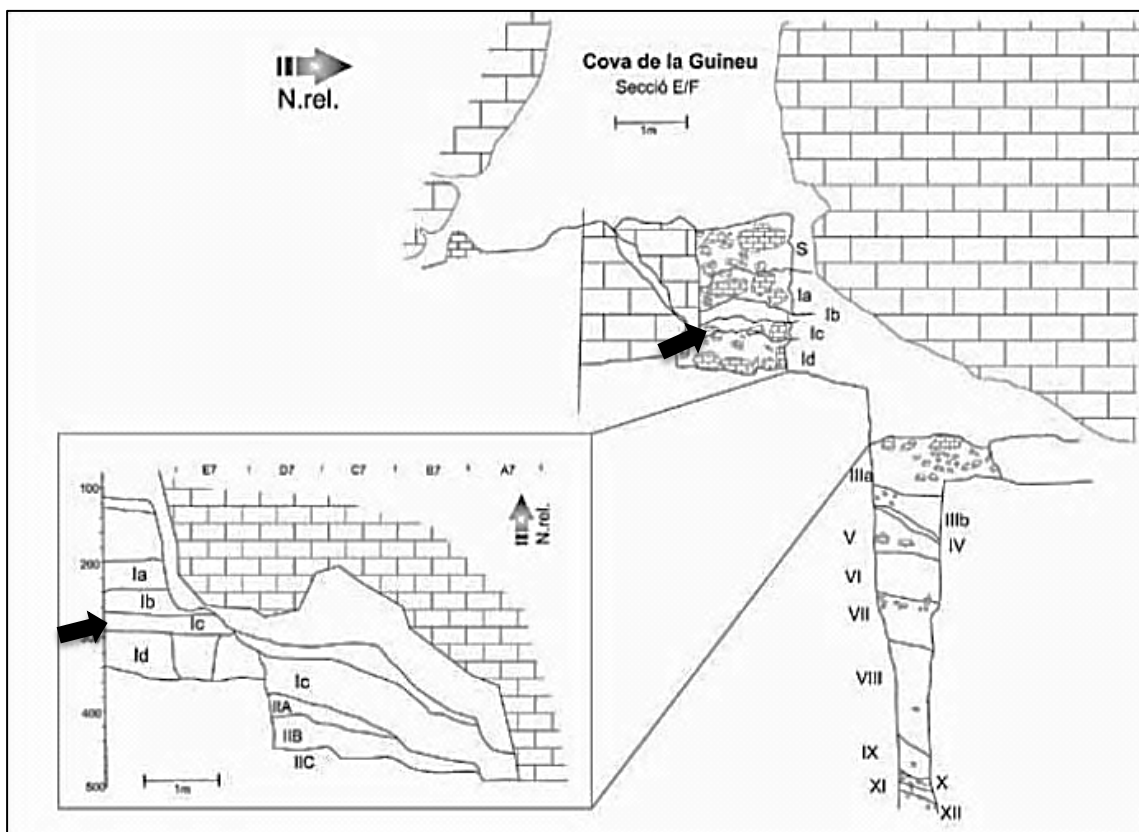


**Fig. 3**  
 Mapa topográfico de la ubicación de la Cova de la Guineu  
 Fuente: ICGC

La cavidad cuenta con una estratigrafía de gran potencia que alberga un total de 12 niveles arqueológicos con sus correspondientes subdivisiones (Fig. 4). A pesar de tratarse de un yacimiento con diversas fases de ocupación, este estudio sólo se centrará en el nivel Ic. Éste fue utilizado durante parte del IV milenio y principalmente el III milenio a.C. –dataciones radiocarbónicas disponibles (Tabla 1)–, momento en el cual la cavidad fue utilizada como un espacio sepulcral colectivo paradolménico de tipo primario y/o secundario. El yacimiento presenta una caída de bloques que alteró la morfología del espacio, convirtiéndose en una pequeña cavidad de 7 m de largo. Se registró además un sistema de cierre de la entrada a través del uso de una gran losa vertical de 2x1,3 m que cumplía la función de puerta, mientras que en el costado oeste se halló una secuencia de bloques que cubrirían la otra parte de la boca de la cueva, limitando por completo el espacio de enterramiento (Oms *et al.*, 2016).



**Fig. 4**  
Planta del yacimiento Cova de la Guineu. Fuente: (Morales *et. al.*, 2013)



**Fig. 5** Sección de niveles arqueológicos de Cova de la Guineu. (Flechas) Nivel sepulcral Ic.  
Fuente: (Morales *et. al.*, 2013)

Nivel	Muestra	Código lab.	Datación BP	Cal BC 2σ
Ic int.	Hueso humano	OxA-16881	4110±38 BP	2940-2500
Ic int.	Hueso humano	OxA-16966	4385±35 BP	3120-2880
Ic ext.	Carbón	OxA-23641	4156±28 BP	2920-2600

**Tabla 1.** Dataciones  $^{14}\text{C}$  publicadas de la Cova de la Guineu (Oms *et al.*, 2016)

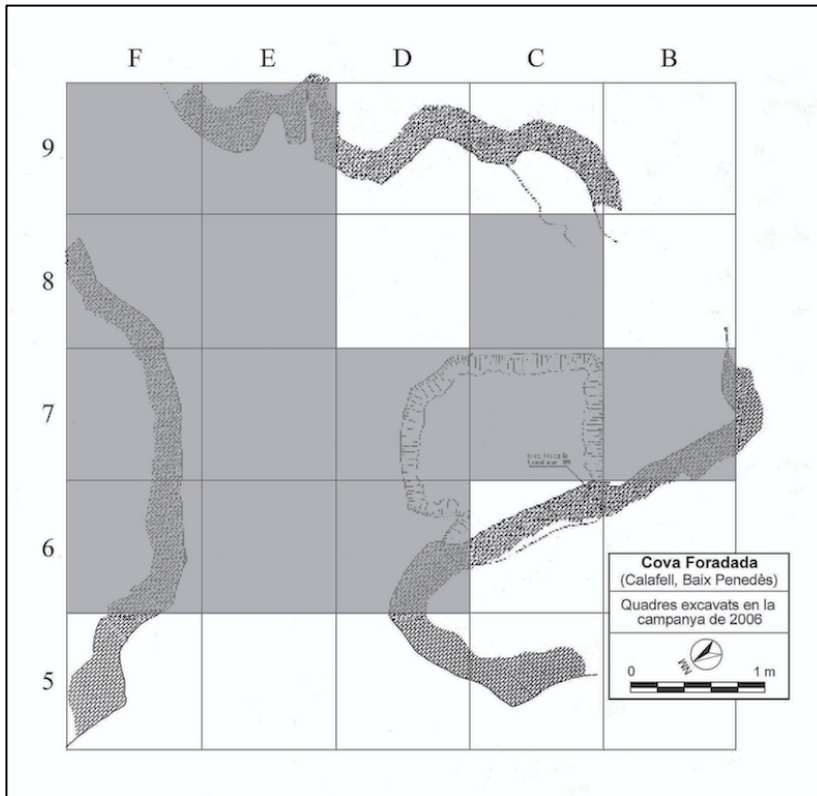
## 2.2 Cova Foradada (Calafell, Bajo Penedès)

Corresponde a un yacimiento situado en la Serra de l'Escarnosa, en un afloramiento de roca caliza muy erosionado, a casi 1 km de la línea de costa. Fue descubierta en el año 1997, pero no se determinó su potencialidad arqueológica hasta el año 1999. Se han realizado un total de seis campañas, sin embargo las de los años 1999 y 2006 han sido las más intensas. El yacimiento posee una potencia estratigráfica compuesta por 5 niveles, abarcando una cronología que va desde el Epipaleolítico al Bronce antiguo (Ajuntament de Calafell, 2015).

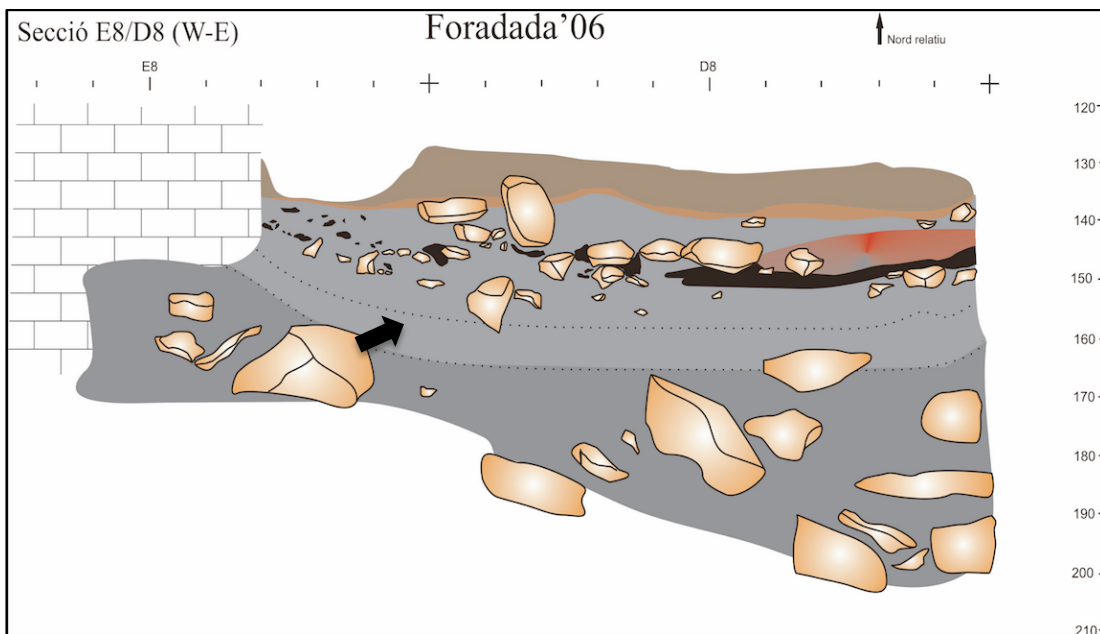
Según los objetivos de este trabajo, sólo se utilizarán materiales del nivel Ib (Fig. 5), correspondiente a un espacio sepulcral en donde se hallaron individuos en desconexión anatómica y conjuntos de industria lítica propios del Neolítico final-Calcolítico –se incluyen las dataciones radiocarbónicas (Tabla 2)–. El nivel Ib posee una potencia variable de entre 40 y 60 cm y sedimento heterogéneo compuesto de limos arenosos de coloración gris (Inventari del Patrimoni arqueològic de Catalunya, 2015f).

Nivel	Muestra	Código lab.	Datación BP	Cal BC 2σ
Top Ib	No ref.	OxA-17818	304 ±23 BP	-
Base Ib	No ref.	Beta-248524	6200 ±40 BP	5290 - 5010
Ib (Fo-E7-119-38)	Hueso humano	OxA-23529	4375 ±31 BP	3090 - 2890
Ib (Fo-C6-2-14)	Hueso humano	OxA-23639	4016 ±28 BP	2610 - 2450

**Tabla 2.** Dataciones  $^{14}\text{C}$  publicadas de la Cova Foradada (Calafell) (Cebrià *et al.*, 2011:416; Cebrià *et al.*, 2013:193)



**Fig. 6**  
 Planta de la Cova Foradada (Calafell).  
 Fuente: (Cebrià *et al.*, 2008)

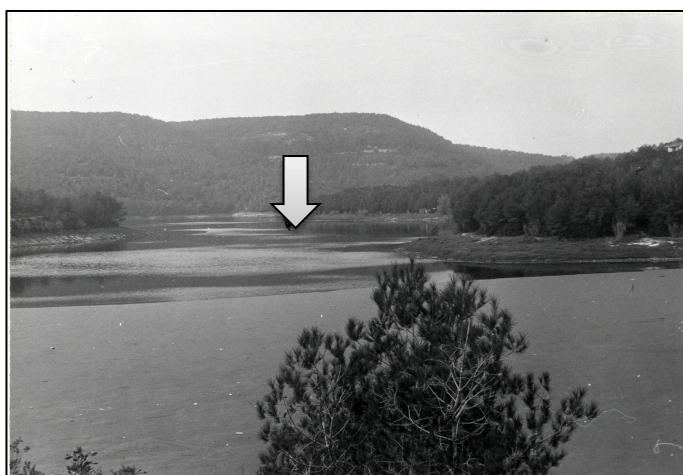


**Fig. 7** Sección de niveles estratigráficos de la Cova Foradada (Calafell) hasta el año 2008 (Flecha) Nivel Ib. Fuente: (Cebrià *et al.*, 2008)

### 2.3 Cova del Pantà de Foix (Castellet y Gornal, Alto Penedés)

Corresponde a una cueva formada por una sala irregular de 6,40 m de largo y 3,50 m de ancho a la que se llegaba por un pasadizo estrecho. Fue descubierta en el año 1923 durante las últimas fases de construcción del Pantano de Foix (Inventari del Patrimoni Arqueològic de Catalunya, 2015e). En ella se hallaron restos óseos humanos de 38 individuos diferentes y material arqueológico –un conjunto de sílex, escasa cantidad de cerámica y un colmillo de jabalí–. Estos materiales fueron revisados por el arqueólogo y conservador de la Biblioteca Museu Víctor Balaguer de Vilanova i la Geltrú, Amador Romani, definiendo que se trataba de un enterramiento colectivo del Neolítico final. Posteriormente, se efectuaron dataciones radiocarbónicas sobre huesos humanos (Tabla 3), que corroboraron la información obtenida durante la década de los 20.

Actualmente, la cueva se encuentra sumergida bajo el Pantà de Foix (Figs. 8 y 9), por lo que no existe posibilidad alguna de realizar trabajos de excavación ni registro adicional de datos. Es por esta razón que el estudio de los materiales hallados es la única manera de recaudar datos sobre este yacimiento.



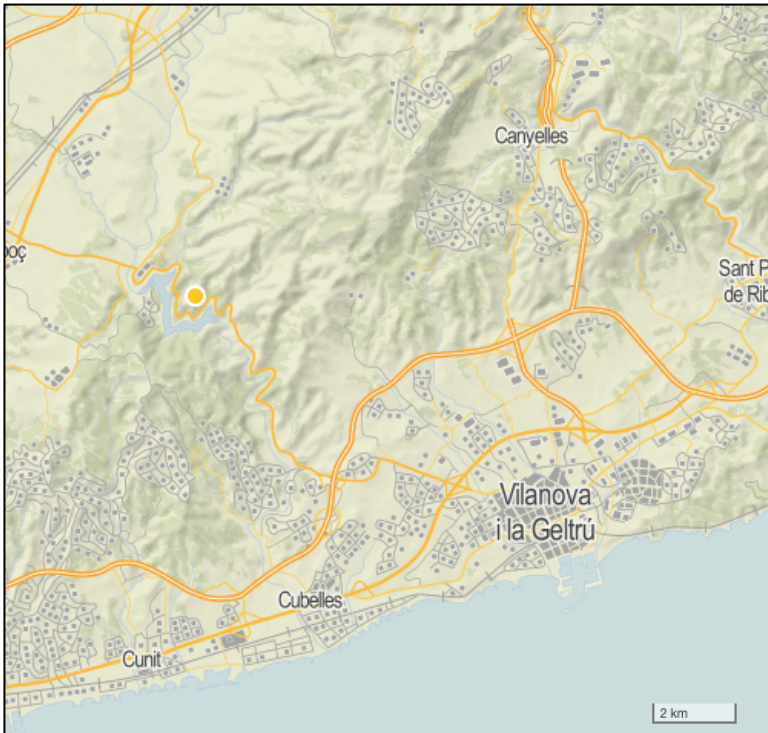
**Fig. 8**

Localización actual del yacimiento bajo el Pantà de Foix. Fuente:

Generalitat de Catalunya

Nivel	Muestra	Código laboratorio	Datación BP	Cal BC 2σ
No ref.	Hueso humano	OxA-25036	4422±35 BP	3340-2860
No ref.	Hueso humano	OxA-25037	4530±36 BP	3420-3060
No ref.	Hueso humano	OxA-25038	4499±37 BP	3400-3040
No ref.	Hueso humano	OxA-25039	4204±38 BP	2960-2640

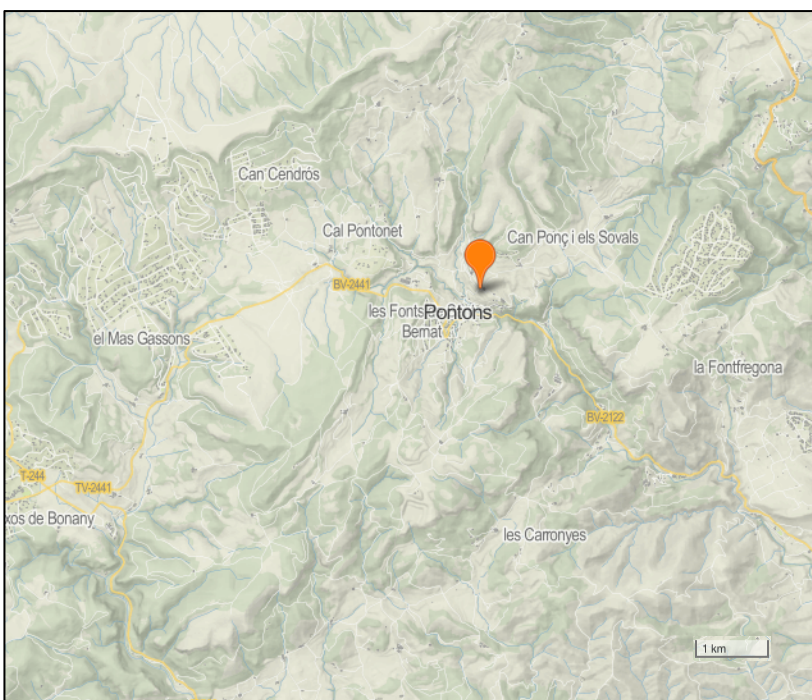
**Tabla 3.** Cuadro de dataciones <sup>14</sup>C publicadas de la Cova del Pantà de Foix Fuente: Cebrià *et al.*, 2013



**Fig. 9**  
Localización del Pantà de Foix. Fuente: Generalitat de Catalunya

#### 2.4 Cova de la Font de Molinot (Pontons, Alto Penedés)

Corresponde a una cueva con una única sala de 3 m de ancho y 80 cm de altura que se encuentra a 800 mts al NE del núcleo de Pontons (Alto Penedés) y a 600 msnm. Fue hallada en el año 1936, sin embargo, su excavación de manera sistemática se llevó a cabo durante el año 1974, bajo la dirección de Vicenç Baldellou y Josep Mestres y con la colaboración de alumnos del Departamento de Prehistoria de la Universidad de Barcelona (Inventari del Patrimoni Arqueològic de Catalunya, 2015b).



**Fig. 10**  
Mapa de la localización de la Cova de la Font del Molinot. Fuente: ICGC



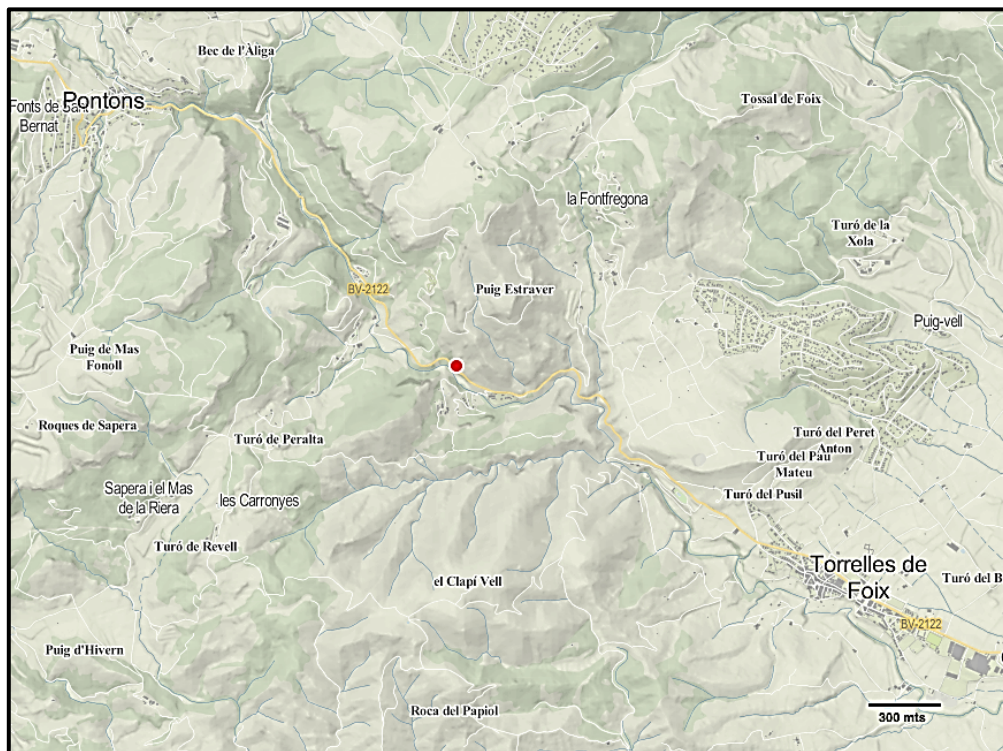
**Fig. 11** (Flecha) Ubicación de la cueva  
Fuente: Arxiu Masachs *En Inventari del Patrimoni Arqueològic de Catalunya*, 2015b



**Fig. 12** Detalle de la entrada de la cueva  
Fuente: Arxiu Masachs *En Inventari del Patrimoni Arqueològic de Catalunya*, 2015b

Durante la década de los 70, se determinó que la cueva poseía una potencia cronocultural amplia, registrándose ocupaciones que van desde el Neolítico Antiguo Evolucionado, Neolítico Medio, Calcolítico y Edad del Bronce, hasta el período Romano Tardío o Paleocristiano (*Inventari del Patrimoni Arqueològic de Catalunya*, 2015b).

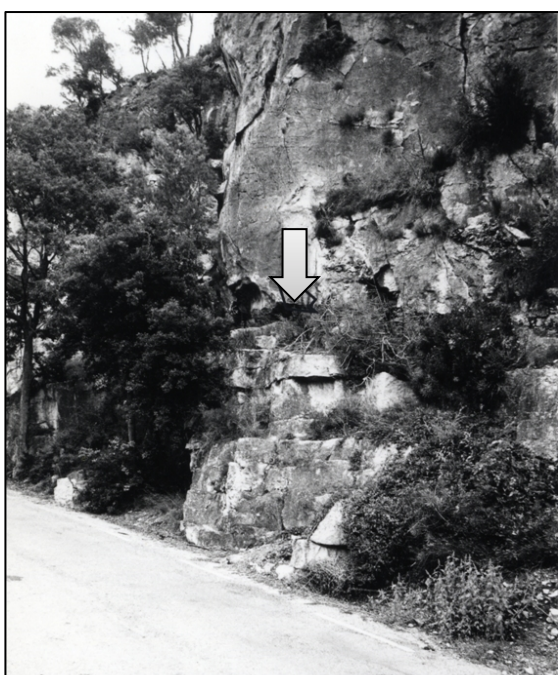
### 2.5 Cova de les Esquerdes del Pany (Torrelles de Foix, Alto Penedés)



**Fig. 13** Localización geográfica del conjunto Esquerdes de les Roques del Pany. Fuente: ICGC

Corresponde a un conjunto de 4 cavidades que se encuentra en el km 6.150 por el costado derecho de la carretera BV-2122 en dirección a Pontons (fig. 13) y a 485 msnm. Son frecuentadas esporádicamente por grupos espeleológicos debido a su accesible ubicación. En cuanto al uso de éstas durante la prehistoria, se tiene constancia que tan sólo 2 de ellas fueron utilizadas –esquerda 2 y 3 (figs. 14 y 15)–, mientras que de las otras dos casi no existe información (Inventari del Patrimoni Arqueològic de Catalunya, 2015d).

El descubrimiento de la primera cavidad con contenido arqueológico se llevó a cabo en el año 1928 por parte de J.A. Olivella, para luego ser excavada por Martí Grivé en el mismo año; mientras que el segundo hallazgo se realizó en 1981 durante la realización de una topografía del terreno. Gracias al trabajo de M. Grivé, fue posible demostrar la principal seriación de las culturas prehistóricas de Cataluña –Neolítico antiguo, Calcolítico-Bronce antiguo y Bronce final– (Cebrià, Ribé y Senabre, 1991:48), hallazgo que fue publicado posteriormente en el Anuari de l'IEC (Grivé, 1932 en Cebrià, Ribé y Senabre, 1991). En cuanto al segundo caso, el equipo a cargo pertenecía al *Grup de Recerques Espeleològiques de Vilanova i la Geltrú*, quien dio a conocer que dentro de las cuevas había restos humanos, sin embargo éstos fueron abandonados sin posibilidad de ser estudiados (Comunicación oral Jordi Farré, VINSEUM).



**Fig. 14**  
(Izq.) Entrada Esquerda de les Roques del Pany 2  
Fuente: Generalitat de Catalunya

**Fig. 15**  
(Der.) Entrada Esquerda de les Roques del Pany 3  
Fuente: Generalitat de Catalunya

## 2.6 Avenc de Sant Antoni (Cunit, Bajo Penedés)

Corresponde a una sima de unos 12 metros de recorrido y 4 metros de profundidad a la que se accede fácilmente, razón por la cual es visitada constantemente por grupos de excursionistas.

El primer registro que tenemos de esta sima es del año 1927, publicado en el 'Álbum Meravella', donde se explicitaba que ésta se localizaba en una finca denominada Sant Antoni, en donde se llevaban a cabo trabajos de descombros de la sima (Inventari del Patrimoni Arqueològic de Catalunya, 2015a). En el escrito, además, se hacía una descripción detallada de las dimensiones de la cavidad. Sin embargo, a pesar de haber sido explorada a finales de la década de los 20, no fue estudiada sino hasta los años 70. Durante esta década se llevó a cabo –por parte de un equipo de investigación del Museu d'Història de Sabadell– la única actuación arqueológica, hallando material cerámico –urnas– y otros elementos que hicieron presumir que se trataba de un lugar de enterramiento durante el Neolítico. Vestigios cerámicos de época ibérica además, hicieron presuponer que la cavidad había sido utilizada más veces en épocas posteriores (Inventari del Patrimoni Arqueològic de Catalunya, 2015a).

## 3 MATERIALES

Para poder realizar este trabajo fue necesario analizar un total de 86 piezas provenientes de seis yacimientos diferentes. Los conjuntos están compuestos por puntas foliformes de diversas características y grandes láminas en una proporción desigual (como se desarrolla en el apartado de tipología de este trabajo) (fig. 16).



**Fig. 16** Ejemplo de conjunto estudiado compuesto por fragmentos de grandes láminas y piezas foliformes

En cuanto a los medios ópticos utilizados para llevar a cabo este estudio, se utilizaron una lupa binocular modelo OLYMPUS SZ61 de 6.7 a 45 aumentos, una cámara acoplada modelo OLYMPUS SC-30 y una fuente de iluminación complementaria de luz fría transmitida modelo OLYMPUS TH4-200, todos ellos facilitados por el SERP UB.

Para el registro fotográfico macro de las piezas, en cambio, se utilizó una cámara Nikon COOLPIX P500 de 36 aumentos y 12.1 megapíxeles, mientras que la digitalización de los dibujos se realizó con una mesa gráfica One by WACOM small.

En lo que respecta a los programas computacionales, nos hemos valido del programa Filemaker Pro 11, con el cual se creó una base de datos específica para los fines planteados en los objetivos, mientras que las vectorizaciones y el tratamiento de las fotografías se efectuaron con el programa Adobe Illustrator CS6.

#### **4 METODOLOGÍA**

Para la realización de un análisis de esta índole, fue necesario abordar la información desde distintos puntos de vista, con la finalidad de obtener la mayor cantidad de beneficios posibles. Para ello, durante los meses que duró el estudio del total de la muestra, se llevaron a cabo distintas dinámicas, las cuales serán detalladas a continuación.

##### **4.1 Base de datos**

Para llevar a cabo este trabajo, en primer lugar se creó una ficha en Filemaker (fig. 17), la cual se utilizó como plantilla para la realización de una base de datos. Se decidió utilizar este programa y no otro debido a las ventajas que suponen el contar con diversas modalidades al momento de rellenar, lo que facilita el trabajo. En este caso, la ficha cuenta con campos textuales, de opciones múltiples y ficheros desplegados, los cuáles fueron utilizados según las necesidades del mismo trabajo.

La información recopilada fue dividida por temáticas, encontrando la de tipo contextual, la cual reúne datos vinculados al número de inventario –números correlativos que indican una sucesión dentro de la base de datos–, número de referencia –siglado propio de la pieza y que en algunas ocasiones va acompañada de fechas y/o

datos complementarios, los cuales pueden estar incluidos en la ficha de la misma– y por último, el nombre del yacimiento al que pertenece.

Posteriormente, encontramos la subdivisión encargada de concentrar información referente al análisis macroscópico de las piezas. En este caso, las opciones hacen alusión, en primer lugar, a las características que se pueden observar sin necesidad de usar instrumental especializado –como lo son el grado de pátina, la superficie y la aptitud de talla, por ejemplo–, y en segundo lugar, a todos aquellos elementos que sólo pueden ser reconocidos a partir del uso de una lupa binocular –como lo son las inclusiones y los fósiles–.

Adicionalmente, se ha considerado importante crear una zona que especifique aspectos tecnológicos de las piezas. Es aquí donde encontramos los campos vinculados a las medidas –siempre expresadas en milímetros–, el peso –en gramos–, el tipo de talón –pudiendo ser liso, lineal, diedro, facetado, puntiforme, cortical, indeterminado o carecer de éste–, sección de la pieza –plana, romboidal, triangular, trapezoidal y mixta– y por último, el ítem ‘utilización’ se anotarán datos referidos al uso de las piezas –pátina de cereal, por ejemplo–.

Por último, se ha añadido una zona dedicada exclusivamente a la descripción general de la pieza –en el apartado observaciones– en donde se incluyen datos sobre la fabricación (tipo de retoque y detalles que puedan aportar más información sobre este tema), rasgos que puedan indicar el uso de la pieza –por ejemplo, si posee retoques de uso y en qué lugar de la pieza es posible encontrarlos– y datos adicionales que puedan ayudar a identificar a cada una de ellas de mejor manera. Adicionalmente, cada pieza es fotografiada y dibujada, por lo que se creó un apartado especialmente con el fin de incluir este tipo de registro.

## **4.2 Análisis**

En función de los apartados creados en la base de datos, se han seguido criterios de observación que han permitido obtener información referente tanto a la materia prima en sí, como a diferentes rasgos de la pieza –tipología según Juan-Cabanilles (2008) y utilización–. Para ello, se ha seguido siempre un mismo orden, con la finalidad de evitar pérdidas de información por ‘despiste’. En primer lugar, se ha hecho la descripción general de cada pieza, la que incluye dimensiones, peso y características propias del

tratamiento tecnológico. Seguido a esto, se ha rellenado la ficha de análisis según los campos anteriormente descritos. Por último, cada pieza ha sido fotografiada y dibujada, permitiendo obtener la mayor cantidad de información de cada una de ellas.

Tras ser rellenada la ficha, se ha procedido al cruce de los datos obtenidos, considerando principalmente los aspectos que puedan relacionar las diferentes procedencias de las piezas con la metodología de fabricación de cada una de éstas –aspectos tecnológicos–. Adicionalmente, en algunos casos se han utilizado estudios de traceología previos, por lo que ha resultado interesante poder vincular la utilización de las piezas con los rasgos anteriormente descritos.

<b>N. Inventari</b> <input style="width: 100%;" type="text"/>		<b>N. referència</b> <input style="width: 100%;" type="text"/>		<b>Jaciment</b> <input style="width: 100%;" type="text"/>			
<b>T. Silex</b> <input style="width: 100%;" type="text"/>		<b>Dist. color</b> <input style="width: 100%;" type="text"/>		<b>Pàtina</b> <input style="width: 100%;" type="text"/>		<b>% Pàtina</b> <input style="width: 100%;" type="text"/>	
<b>Transparència</b> <input style="width: 100%;" type="text"/>		<b>Mida gra</b> <input style="width: 100%;" type="text"/>		<b>Textura</b> <input style="width: 100%;" type="text"/>			
<b>Superfície</b> <input style="width: 100%;" type="text"/>		<b>Aptitud de talla</b> <input style="width: 100%;" type="text"/>		<input type="checkbox"/> Mudstone <input type="checkbox"/> Wackestone <input type="checkbox"/> Packstone <input type="checkbox"/> Grainstone			
<b>Obs.</b> <input style="width: 100%;" type="text"/>							
<b>Mesures L - A - G</b> <input style="width: 30px;" type="text"/> <input style="width: 30px;" type="text"/> <input style="width: 30px;" type="text"/>		<b>Pes</b> <input style="width: 100%;" type="text"/>		<b>Taló</b> <input style="width: 100%;" type="text"/>		<b>Secció</b> <input style="width: 100%;" type="text"/>	
<b>Utilització</b> <input style="width: 100%;" type="text"/>							
<b>Arxiu</b>		<b>Dibuix</b>		<b>Observacions</b>			

Fig. 17 Ficha de análisis macroscópico utilizada

## 5 RESULTADOS

Tras el análisis sistemático de las 86 piezas utilizadas para este estudio, se ha podido determinar que existen ciertas características que ayudan a entender tanto la utilidad de la pieza, como también permiten conocer la procedencia del material utilizado para su fabricación. Para poder indagar en estos aspectos esenciales, hemos focalizado el trabajo en tres criterios diferentes: clasificación por medio de una *tipología*, análisis macroscópico que permite identificar la *procedencia* de la materia prima utilizada y, por último, en algunos casos se consideró el análisis traceológico para poder conocer la *funcionalidad* de las piezas.

### 5.1 Tipología

Respecto a la tipología, hemos podido observar una gran variedad de formas, aunque siempre siguiendo una misma tendencia –puntas de flechas y grandes láminas–. Para poder homogeneizar la descripción de las piezas, hemos utilizado el análisis tipológico de Joaquim Juan-Cabanilles, titulado “El utillaje de piedra tallada en la Prehistoria reciente valenciana. Aspectos tipológicos, estilísticos y evolutivos” (2008), el cual tiene como objetivo construir un discurso que gira en torno al establecimiento de una tipología general para el utillaje de la piedra tallada del Neolítico y Calcolítico valenciano, extensible también a la Edad del Bronce (Juan-Cabanilles, 2008). Se trata pues, de una categorización morfodescriptiva de tipo ‘bordesiana’, la cual pretende inventariar y comparar las piezas estudiadas (Juan-Cabanilles, 2008:10).

Con el objetivo de desarrollar una buena descripción del estilo de la pieza, Juan-Cabanilles (2008) señala que es imprescindible conocer la funcionalidad para la que ésta fue fabricada. Así mismo, como señala Fortea, la diferencia del artesano prehistórico con el tipólogo actual es que el primero tenía su ‘tipo funcional, morfológico y técnico’, mientras que el segundo sólo contaría con su tipo morfológico y técnico, escapando la parte más esencial de todas: la funcionalidad (Fortea, 1973:48 en Juan-Cabanilles, 2008:15).

Los criterios utilizados por Juan-Cabanilles para la adscripción tipológica según el retoque son: inclinación, amplitud, extensión facial, extensión lateral, dirección, delineación –tanto especial como general–, aspecto y por último, disposición.

Adicionalmente, las puntas de flecha poseen su propia morfología analítico-descriptiva básica, la cual será usada como referente para el análisis de este tipo de piezas.

Siguiendo estos criterios, cada una de las piezas estudiadas ha sido vinculada a un tipo primario de la descripción de Juan-Cabanilles, obteniendo como resultado lo siguiente (Tabla 4).

<b>Nº</b>	<b>Código pieza</b>	<b>Yacimiento</b>	<b>Tipología Juan-Cabanilles<sup>1</sup></b>
<b>1</b>	<b>GN642</b>	Cova de la Guineu	Hoja apuntada por retoque plano o sobreelevado bilateral (HRP9)
<b>2</b>	<b>GN634</b>	Cova de la Guineu	Hoja con retoque muy marginal unilateral (HRM1)
<b>3</b>	<b>GN643</b>	Cova de la Guineu	Hoja apuntada por retoque plano o sobreelevado bilateral (HRP9)
<b>4</b>	<b>GN641</b>	Cova de la Guineu	Hoja con retoque plano o sobreelevado bilateral total (HRP4)
<b>5</b>	<b>GN635</b>	Cova de la Guineu	Hoja con retoque plano o sobreelevado bilateral y frente de raspador (HRP10)
<b>6</b>	<b>GN632a</b>	Cova de la Guineu	Hoja con retoque marginal unilateral parcial (HRM7)
<b>7</b>	<b>GN632b</b>	Cova de la Guineu	Hoja con retoque marginal unilateral parcial (HRM7)
<b>8</b>	<b>GN637a</b>	Cova de la Guineu	Hoja con retoque muy marginal bilateral unidireccional (HRM2)
<b>9</b>	<b>GN637b</b>	Cova de la Guineu	Hoja con retoque muy marginal bilateral unidireccional (HRM2)
<b>10</b>	<b>GN633a</b>	Cova de la Guineu	Hoja con retoque plano o sobreelevado bilateral total (HRP4)
<b>11</b>	<b>GN633b</b>	Cova de la Guineu	Hoja con retoque plano o sobreelevado bilateral total (HRP4)
<b>12</b>	<b>GN638</b>	Cova de la Guineu	Hoja con retoque marginal unilateral total unidireccional (HRM5)
<b>13</b>	<b>GN621</b>	Cova de la Guineu	Hoja con retoque muy marginal

<sup>1</sup> Las tablas de criterios utilizadas por Juan-Cabanilles (2008) para crear su tipología morfodescriptiva se pueden encontrar en el anexo de este escrito.

			unilateral (HRM1)
<b>14</b>	<b>GN881</b>	Cova de la Guineu	Hoja con retoque marginal unilateral parcial (HRM7)
<b>15</b>	<b>GN741</b>	Cova de la Guineu	Hoja con retoque muy marginal bilateral unidireccional (HRM2)
<b>16</b>	<b>GN874</b>	Cova de la Guineu	Hoja con retoque muy marginal unilateral (HRM1)
<b>17</b>	<b>GN335</b>	Cova de la Guineu	Punta foliforme asimétrica de base apuntada (PF6)
<b>18</b>	<b>GN167</b>	Cova de la Guineu	Fragmento de hoja con retoque plano o sobreelevado (HRP8)
<b>19</b>	<b>GN171</b>	Cova de la Guineu	Fragmento de hoja con retoque plano o sobreelevado (HRP8)
<b>20</b>	<b>GN663</b>	Cova de la Guineu	Punta de pedúnculo [normal] y aletas agudas incipientes (PF29)
<b>21</b>	<b>GN1</b>	Cova de la Guineu	Pieza que no figura*
<b>22</b>	<b>GN960</b>	Cova de la Guineu	Hoja con retoque plano o sobreelevado unilateral total (HRP1)
<b>23</b>	<b>GN2</b>	Cova de la Guineu	Hoja con retoque marginal unilateral parcial (HRM7)
<b>24</b>	<b>GN3</b>	Cova de la Guineu	Hoja con retoque muy marginal bilateral unidireccional (HRM2)
<b>25</b>	<b>GN776</b>	Cova de la Guineu	Hoja con retoque plano o sobreelevado bilateral y frente de raspador (HRP10)
<b>26</b>	<b>GN4</b>	Cova de la Guineu	Hoja con retoque marginal unilateral parcial (HRM7)
<b>27</b>	<b>MV1882</b>	Cova de les esquerdes del Pany	Hoja con retoque plano o sobreelevado y oblicuo marginal (HRP11)
<b>28</b>	<b>MV1816</b>	Cova de les esquerdes del Pany	Hoja con retoque marginal total y parcial opuesto (HRM14)
<b>29</b>	<b>MV1846</b>	Cova de la Font del Molinot	Hoja apuntada por retoque plano o sobreelevado bilateral (HRP9)
<b>30</b>	<b>MV2462</b>	Cova de la Font del Molinot	Punta foliforme de base

	<b>(M6/131)</b>		redondeada (PF7)
<b>31</b>	<b>MV1850</b> <b>(M74/1/13)</b>	Cova de la Font del Molinot	Hoja con retoque plano o sobreelevado bilateral total (HRP4)
<b>32</b>	<b>MV1849</b> <b>(M66/107)</b>	Cova de la Font del Molinot	Hoja con retoque plano o sobreelevado bilateral total (HRP4)
<b>33</b>	<b>MV1848</b> <b>(M66/140)</b>	Cova de la Font del Molinot	Hoja con retoque plano o sobreelevado bilateral total (HRP4)
<b>34</b>	<b>MV1867 (P205)</b>	Cova de les esquerdes del Pany	Hoja apuntada por retoque plano (EF9)
<b>35</b>	<b>MV1843</b> <b>(M66/103)</b>	Cova de la Font del Molinot	Pieza que no figura*
<b>36</b>	<b>MV1879</b>	Cova de les esquerdes del Pany	Hoja con retoque plano o sobreelevado bilateral parcial (HRP5)
<b>37</b>	<b>MV1844</b>	Cova de les esquerdes del Pany	Hoja con retoque plano o sobreelevado total y parcial opuesto (HRP6)
<b>38</b>	<b>MV1883 (P121)</b>	Cova de les esquerdes del Pany	Hoja con retoque plano o sobreelevado unilateral parcial (HRP2)
<b>39</b>	<b>MV1881(P149)</b>	Cova de les esquerdes del Pany	Hoja con retoque plano o sobreelevado bilateral total (HRP4)
<b>40</b>	<b>MV1880(P124)</b>	Cova de les esquerdes del Pany	Hoja con retoque plano o sobreelevado bilateral total (HRP4)
<b>41</b>	<b>M66/161</b>	Cova de la Font del Molinot	Hoja con retoque marginal bilateral parcial alterno (HRM12)
<b>42</b>	<b>M66/114</b>	Cova de la Font del Molinot	Hoja con retoque marginal bilateral total unidireccional (HRM8)
<b>43</b>	<b>M66/118</b>	Cova de la Font del Molinot	Hoja con retoque marginal unilateral total unidireccional (HRM5)
<b>44</b>	<b>M66/102</b>	Cova de la Font del Molinot	Hoja con retoque plano o sobreelevado bilateral total (HRP4)
<b>45</b>	<b>P0135</b>	Cova de les esquerdes del Pany	Hoja con retoque marginal unilateral total unidireccional (HRM5)

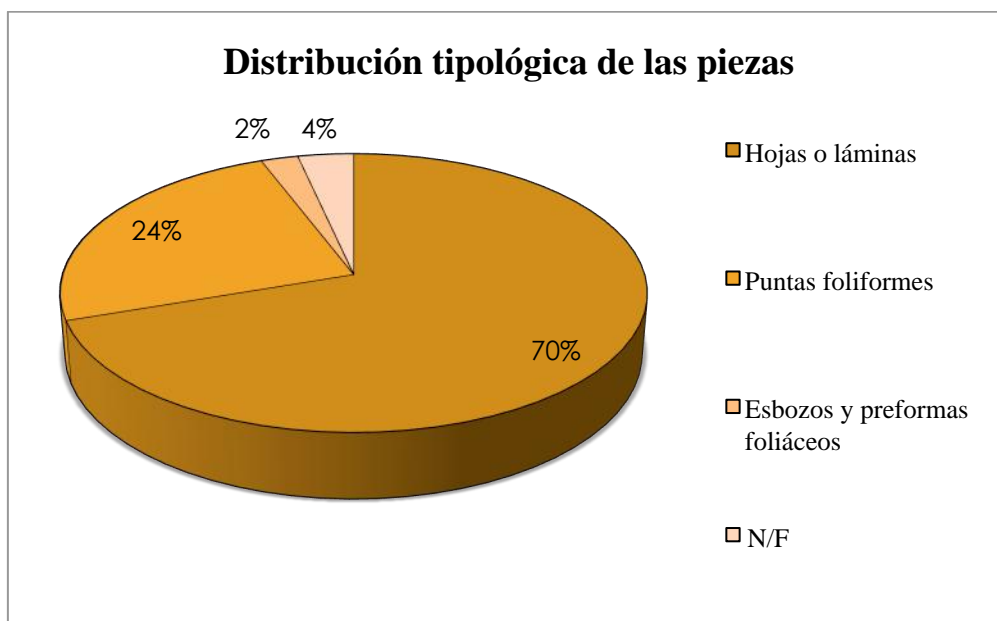
<b>46</b>	<b>P129</b>	Cova de les esquerdes del Pany	Pieza que no figura*
<b>47</b>	<b>FO1818</b>	Cova Foradada	Punta romboidal asimétrica con apéndices laterales (PF18)
<b>48</b>	<b>FO415</b>	Cova Foradada	Hoja con retoque muy marginal bilateral unidireccional (HRM2)
<b>49</b>	<b>FO23</b>	Cova Foradada	Punta foliforme asimétrica de base apuntada (PF6)
<b>50</b>	<b>FO1230</b>	Cova Foradada	Punta foliforme asimétrica de base apuntada (PF5)
<b>51</b>	<b>FO1229</b>	Cova Foradada	Punta romboidal asimétrica (PF3)
<b>52</b>	<b>FO520</b>	Cova Foradada	Punta romboidal de base estrecha (PF13)
<b>53</b>	<b>FO1230b</b>	Cova Foradada	Hoja con retoque plano o sobreelevado bilateral y frente de raspador (HRP10)
<b>54</b>	<b>FO813</b>	Cova Foradada	Punta foliforme asimétrica de base apuntada (PF6)
<b>55</b>	<b>FO57</b>	Cova Foradada	Punta de pedúnculo [normal] y aletas agudas [normales] [de lados rectilíneos] (PF31)
<b>56</b>	<b>P146</b>	Cova de les esquerdes del Pany	Hoja con retoque marginal unilateral total unidireccional (HRM5)
<b>57</b>	<b>P294</b>	Cova de les esquerdes del Pany	Hoja con retoque marginal unilateral total unidireccional (HRM5)
<b>58</b>	<b>P123</b>	Cova de les esquerdes del Pany	Hoja con retoque marginal bilateral parcial unidireccional (HRM11)
<b>59</b>	<b>P140</b>	Cova de les esquerdes del Pany	Punta foliforme asimétrica de base apuntada (PF6)
<b>60</b>	<b>ASA1</b>	Avenc de Sant Antoni	Hoja con retoque plano o sobreelevado bilateral y frente de raspador (HRP10)
<b>61</b>	<b>ASA46</b>	Avenc de Sant Antoni	Hoja con retoque marginal total y parcial opuesto (HRM14)
<b>62</b>	<b>ASA82</b>	Avenc de Sant Antoni	Hoja con retoque marginal bilateral

			total alterno (HRM9)
<b>63</b>	<b>6157(84)</b>	Cova del Pantà de Foix	Punta foliforme de base redondeada (PF7)
<b>64</b>	<b>3138</b>	Cova del Pantà de Foix	Hoja con retoque plano o sobreelevado bilateral total (HRP4)
<b>65</b>	<b>6152(86)</b>	Cova del Pantà de Foix	Hoja con retoque plano o sobreelevado unilateral total (HRP1)
<b>66</b>	<b>6155(90)</b>	Cova del Pantà de Foix	Hoja con retoque marginal unilateral total unidireccional (HRM5)
<b>67</b>	<b>6156(89)</b>	Cova del Pantà de Foix	Hoja con retoque muy marginal bilateral unidireccional (HRM2)
<b>68</b>	<b>6154(88)</b>	Cova del Pantà de Foix	Hoja con retoque plano o sobreelevado bilateral total (HRP4)
<b>69</b>	<b>6153(85)</b>	Cova del Pantà de Foix	Hoja con retoque plano o sobreelevado bilateral total (HRP4)
<b>70</b>	<b>MV1842</b>	Cova de la Font del Molinot	Punta foliforme con apéndices laterales (PF19)
<b>71</b>	<b>MV1868</b>	Cova de les esquerdes del Pany	Pequeña pieza bifacial foliforme (EF4)
<b>72</b>	<b>MV1841</b>	Cova de la Font del Molinot	Punta con muescas laterales (PF42)
<b>73</b>	<b>MV1869</b>	Cova de les esquerdes del Pany	Punta foliforme de base redondeada (PF7)
<b>74</b>	<b>MV1845</b>	Cova de la Font del Molinot	Hoja con retoque plano o sobreelevado bilateral y frente de raspador (HRP10)
<b>75</b>	<b>MV1815</b>	Cova de la Font del Molinot	Hoja con retoque muy marginal unilateral (HRM1)
<b>76</b>	<b>M66/103</b>	Cova de la Font del Molinot	Hoja con retoque muy marginal bilateral unidireccional (HRM2)
<b>77</b>	<b>M66/163</b>	Cova de la Font del Molinot	Hoja con retoque marginal unilateral parcial (HRM7)
<b>78</b>	<b>M14/2/190</b>	Cova de la Font del Molinot	Hoja con retoque muy marginal bilateral unidireccional (HRM2)
<b>79</b>	<b>M66/126</b>	Cova de la Font del Molinot	Punta foliforme asimétrica de base

			apuntada (PF6)
<b>80</b>	<b>M66/127</b>	Cova de la Font del Molinot	Punta foliforme asimétrica de base apuntada (PF6)
<b>81</b>	<b>GN900</b>	Cova de la Guineu	Hoja con retoque plano o sobreelevado bilateral y frente de raspador (HRP10)
<b>82</b>	<b>GN693</b>	Cova de la Guineu	Hoja con retoque plano o sobreelevado unilateral total (HRP1)
<b>83</b>	<b>GN444</b>	Cova de la Guineu	Punta de pedúnculo y aletas agudas [normales], de lados cóncavos o sinuosos (PF34)
<b>84</b>	<b>GN535</b>	Cova de la Guineu	Punta de pedúnculo y aletas agudas [normales], de lados cóncavos o sinuosos (PF34)
<b>85</b>	<b>GN580</b>	Cova de la Guineu	Punta de pedúnculo y aletas rectas (PF24)
<b>86</b>	<b>GN554</b>	Cova de la Guineu	Punta de pedúnculo y aletas rectas (PF24)

**Tabla 4.** 86 piezas estudiadas adscritas a la tipología de Juan-Cabanilles (2008)

Si bien casi la totalidad de las piezas poseen una correspondencia evidente con la tipología planteada por Juan-Cabanilles, existen dos excepciones que no se ajustan a este listado, ya sea porque poseen rasgos que coinciden con más de un tipo, o porque la morfología y retoques no se aplican a los tipos señalados en la lista, razón por la cual han sido identificadas en la tabla como “pieza que no figura”. En cuanto a las piezas sí descritas, encontramos dos líneas bastante claras de clasificación: por un lado se diferencian las hojas –es decir, las de soporte laminar–, ya sea con retoques marginales, planos o sobreelevados, y por otro lado, encontramos las puntas foliformes, dentro de sus múltiples variantes (fig. 18). Adicionalmente, encontramos dos excepciones consideradas por Juan-Cabanilles como “esbozos y preformas foliáceos”, es decir, no son ni del todo láminas ni del todo puntas foliformes (en la tabla se pueden encontrar con la sigla EF antecediendo a la numeración, correspondiendo a las piezas 34 y 71).



**Fig. 18** Distribución de las piezas estudiadas según la tipología de Juan-Cabanilles (2008)

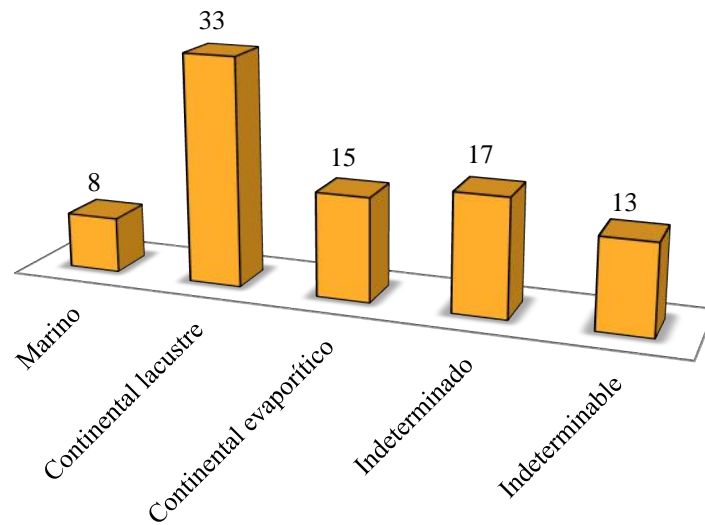
Adicionalmente, a nivel tecnológico hemos podido observar que las piezas han sido fabricadas principalmente mediante dos técnicas: percusión indirecta utilizando un punzón metálico (probablemente de cobre) y talla por presión.

## 5.2 Procedencia

Para poder determinar la procedencia de las piezas, se llevó a cabo un estudio arqueopetrográfico mediante el uso de lupa binocular, para posteriormente vaciar la información contenida en la plantilla Filemaker descrita anteriormente (fig. 17). Con el objetivo de reconocer el tipo de ambiente en el que se formó la roca, es imprescindible detectar el contenido micropaleontológico que posee la misma, lo que nos permitirá aproximarnos a los puntos de afloramiento primario. Si bien éstos no suelen ser explotados como lugares de aprovisionamiento, su estudio se considera esencial para la identificación de la variabilidad macroscópica que puede proporcionar la materia prima del afloramiento (Mangado, 2004:20).

Durante este proceso se estudiaron tanto las inclusiones como los fósiles contenidos en cada pieza, pudiendo vincular cada una de éstas a una de las categorías establecidas previamente: sílex marino, continental lacustre, continental evaporítico, indeterminado o indeterminable, distribuyéndose desigualmente, tal y como se expresa en el gráfico a continuación (fig. 19).

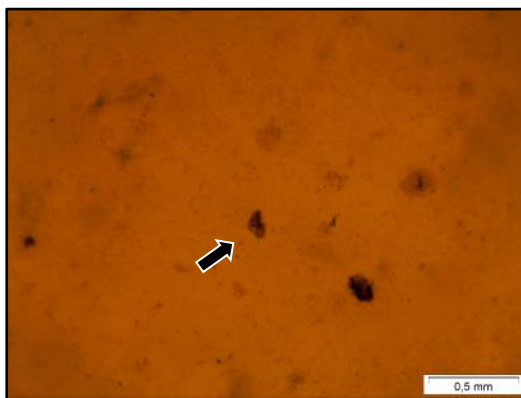
## Tipos de sílex



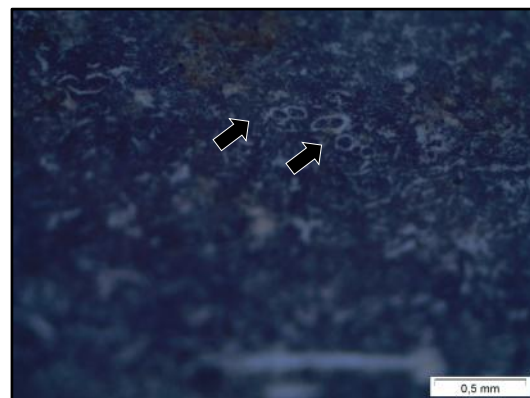
**Fig. 21** Distribución de las piezas estudiadas según el medio de formación

### 5.2.1 Sílex marino

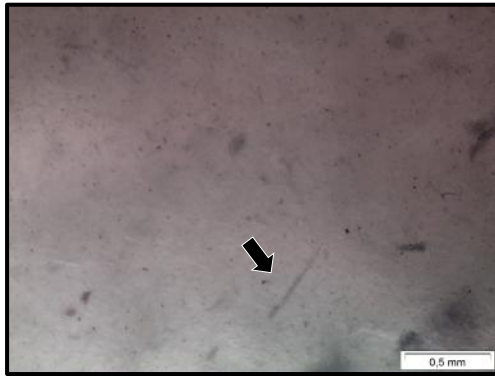
Se adscriben dentro de esta categoría, todas aquellas piezas fabricadas en materia prima en la que se observan fósiles e inclusiones de origen marino. El análisis arrojó que existe un porcentaje menor de este tipo de sílex (9,3%), los cuales fueron hallados en los yacimientos de: Cova de la Font del Molinot (Pontons, Alto Penedés) (fig. 20 y 22), Cova de les esquerdes del Pany (Torrelles de Foix, Alto Penedés) (fig. 21 y 23), Cova Foradada (Calafell, Bajo Penedés) y Cova del Pantà de Foix (Castellet y Gornal, Alto Penedés).



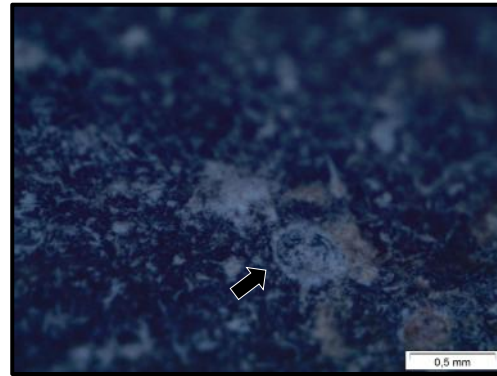
**Fig. 20** Posible cista de dinoflagelado. Sílex marino de origen desconocido hallado en la Cova de la Font del Molinot (Pontons, Alto Penedés)



**Fig. 21** Posibles secciones de foraminíferos. Sílex marino de origen desconocido hallado en la Cova de les esquerdes del Pany (Torrelles de Foix, Alto Penedés)



**Fig. 22** Posible espícula monoaxona de esponja. Sílex marino de origen desconocido hallado en la Cova de la Font del Molinot (Pontons, Alto Penedés)

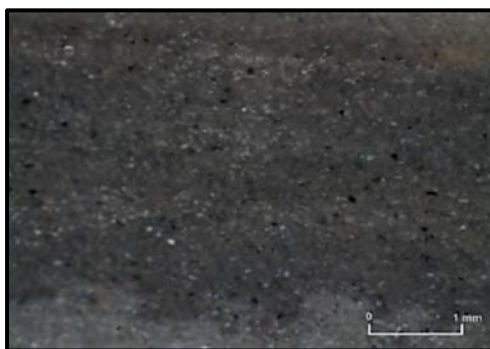


**Fig. 23** Posible sección de foraminífero. Sílex marino de origen desconocido hallado en la Cova de les esquerdes del Pany (Torrelles de Foix, Alto Penedés)

Si bien no fue posible determinar la procedencia exacta de la mayoría de los sílex de origen marino, generalmente por no poder distinguir fósiles ni inclusiones que se adscriban sin ninguna duda a esta categoría, observamos algunas excepciones en las que sí fue posible diferenciar el origen de éstos.

#### a. *Sílex de la Formación Milanos*

Procedente de la Formación Milanos, la cual aparece en el sector central de la Zona Subbética, entre las provincias de Granada y Jaén (Molina y Vera, 1996:29). A nivel macroscópico, el sílex de esta formación es de color variable, de gris claro a oscuro, en ocasiones alcanzando tonalidades azuladas que pasan a marrón oscuro casi negro (Morgado, Lozano y Pelegrin, 2011:140). La observación a lupa binocular demuestra que se trata de un material de textura peletoidal (wackestone-packstone) (figs. 24 y 25), compuestos de *pellets*, granos de cuarzo redondeados, óxidos de hierro y abundantes bioclastos (Morgado, Lozano y Pelegrin, 2011:140).



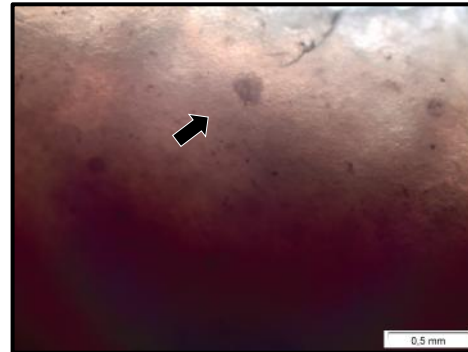
**Fig. 24** Ejemplo de textura wackestone. Sílex marino de la Formación Milanos (Morgado, Lozano y Pelegrin, 2011)



**Fig. 25** Ejemplo de textura packstone/grainstone. Sílex marino de la Formación Milanos (Morgado, Lozano y Pelegrin, 2011)

### b. *Sílex Beduliense*

Corresponde a un tipo de sílex marino de textura fina y homogénea (de tipo mudstone) pero bastante compleja. La pasta silíceosa suele tener coloraciones diversas, variando según la distribución de las zonas carbonatadas, la abundancia de cuarzo detrítico y la cantidad de bioclastos (fig. 26) (principalmente esponjas, equinodermos, ostrácodos y *pellets*) (Blet, Binder y Gratuze, 2000:150-151; Binder, 2002:70-71).



**Fig. 26** Posible fragmento de foraminífero. Sílex Beduliense hallado en el yacimiento Cova de les esquerdes del Pany (Torrelles de Foix, Alto Penedés)

### 5.2.2 Sílex continental lacustre

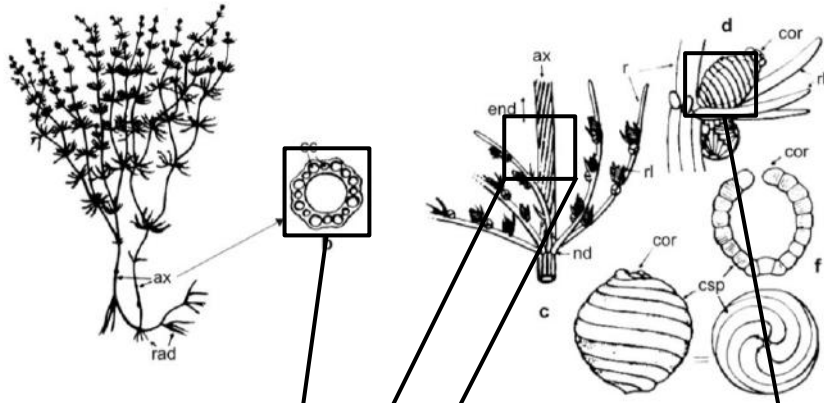
Pertenecen a esta categoría todos aquellos sílex que presentan contenido micropaleontológico de origen lacustre, es decir, que su medio de formación corresponde al de aguas de baja salinidad. Dentro de los fósiles más comunes en este tipo de sílex, encontramos las algas carófitas (fig. 29), las cuales se pueden observar como secciones transversales (figs. 28 y 30), longitudinales (fig. 30) o a través de sus órganos sexuales (oogonios) (fig. 31). Además, es posible discriminar de manera clara la presencia de anillos de Liesegang (fig. 27) (Cartwright, García y Villacampa, 1999), los cuales permiten corroborar el medio de formación lacustre.



**Fig. 27** Anillos de Liesegang. Sílex lacustre de origen desconocido hallado en el yacimiento Cova de la Guineu (Font-Rubí, Alto Penedés)



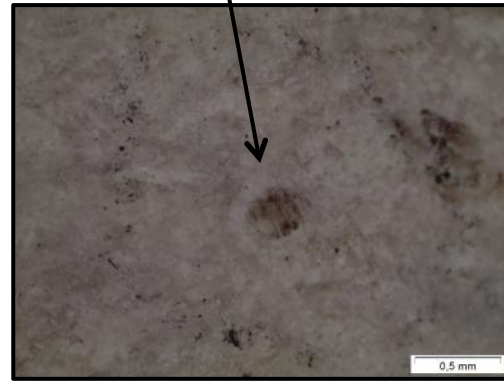
**Fig. 28** Concentración de algas carófitas en el talón de la pieza. Sílex lacustre de origen desconocido hallado en el yacimiento Cova de les esquerdes del Pany (Torrelles de Foix, Alto Penedés)



**Fig. 29**  
Ilustración de algas carófitas (Bressy, 2002:34)



**Fig. 30** Secciones transversales y longitudinales de tallos de algas carófitas. Sílex lacustre de origen desconocido hallado en la Cova de la Font del Molinot (Pontons, Alto Penedés)



**Fig. 31** Sección de oogonio de alga carófitas. Sílex lacustre de origen desconocido hallado en la Cova del Pantà de Foix (Castellet y Gornal, Alto Penedés)

### *a. Sistema lacustre de Los Monegros*

Dentro de la categoría de sílex continental lacustre encontramos aquellas piezas que provienen del Sistema Lacustre de Los Monegros (Aragón, España), el cual corresponde a un sistema de facies variadas, donde los carbonatos forman niveles decimétricos (fig. 32), pudiendo diferenciar numerosas litofacies en función de su color (pardo o gris oscuro), textura (laminada o masiva) y contenido bioclástico (esencialmente compuesto por restos de algas carófitas, ostrácodos y gasterópodos) (Anadón *et al.*, 1989).



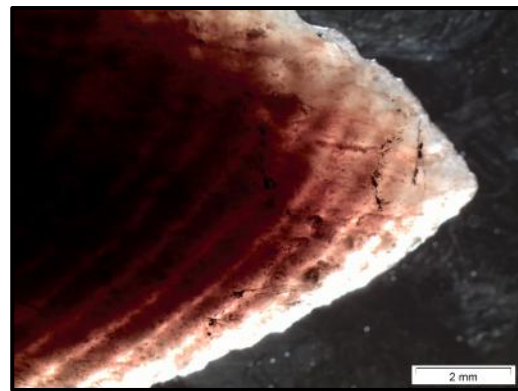
**Fig. 32**  
Anillos de Liesegang. Sílex del Sistema lacustre Los Monegros hallado en el yacimiento Cova de la Font del Molinot (Pontons, Alto Penedés)

## b. Sílex de Apt-Forcalquier

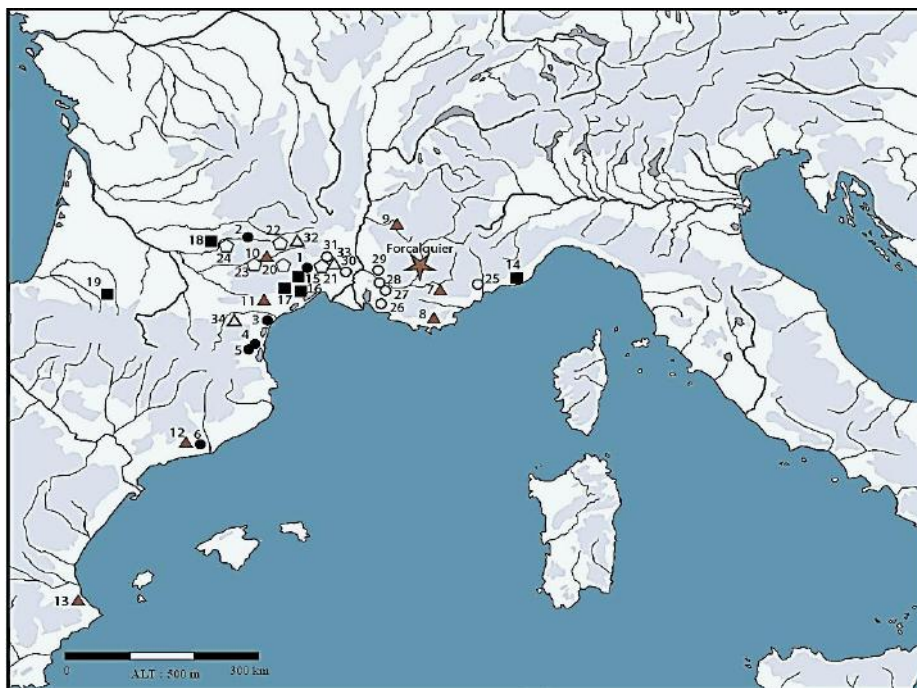
El sílex oligoceno de Apt-Forcalquier (Alpes de Alta Provenza, Francia) (fig. 35) posee cierta variabilidad, aunque se caracteriza por ser un material de excelente calidad para la talla, de masa silíceosa clara y semi-transparente (fig. 34) (Blet, Binder y Gratuze, 2000:150) y bandas beige correspondientes a la concentración de algas y carbonatos (Vaquer, 2012:569). Posee un aspecto homogéneo, mate, de grano fino. A nivel de inclusiones y contenido micropaleontológico, es posible distinguir tallos de algas carófitas y oogonios (fig. 33), óxidos de hierro y algunos elementos carbonatados indeterminables (Linton, Affolter y Sestier, 2008:7).



**Fig. 33** Sección de oogonio de alga carófitas. Sílex Apt-Forcalquier hallado en el yacimiento Cova de la Guineu (Font-Rubí, Alto Penedés)



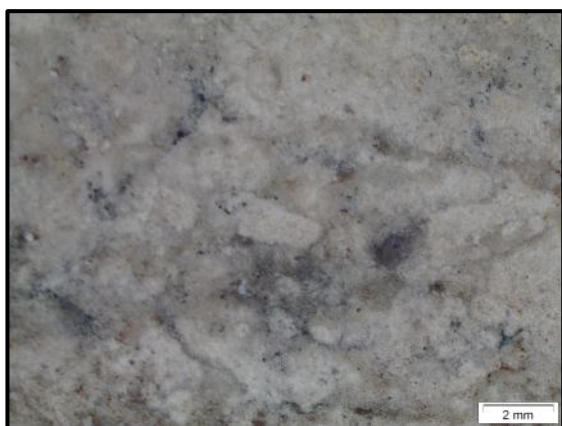
**Fig. 34** Anillos de Liesegang. Sílex Apt-Forcalquier hallado en el yacimiento Cova de la Font del Molinot (Pontons, Alto Penedés)



**Fig. 35** Zona de explotación del sílex Apt-Forcalquier (Alpes de Alta Provenza, Francia) Fuente: Jean Vaquer

### c. *Sílex Collorgues*

Pertenecen a esta categoría todos aquellos sílex provenientes de las terrazas aluviales de la región de Collorgues-Aubussarques. Este tipo de sílex se caracteriza por poseer una textura brechoide de tipo grainstone (fig. 36), una distribución del color irregular y por ser opaca (Menras, 2009).

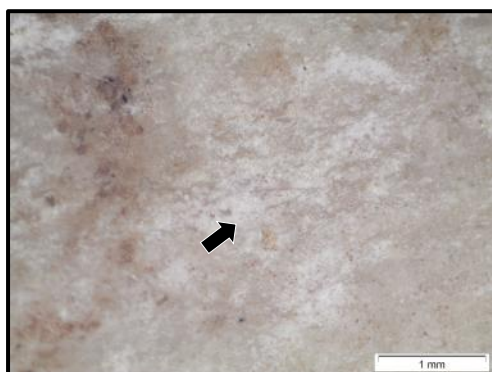


**Fig.36**

Ejemplo de textura brechoide. Sílex Collorgues hallado en el yacimiento Cova de la Guineu (Font-Rubí, Alto Penedés)

### 5.2.3 Sílex continental evaporítico

Dentro de esta categoría encontramos aquellos sílex que se han originado en medios sedimentarios hipersalinos. Suelen ser translúcidos, poseer inclusiones de óxidos de hierro (hematites) (fig. 38) y pseudomorfos lenticulares de yeso (figs. 37 y 38). Éstos últimos suelen relacionarse casi siempre con ambientes de formación evaporíticos (Sánchez de la Torre, 2015: 67), por lo que resulta sencillo determinar el medio en el cual se originó el sílex.



**Fig. 37** Posible pseudomorfo lenticular de yeso. Sílex evaporítico de origen desconocido hallado en el yacimiento Cova de la Guineu (Font-Rubí, Alto Penedés)



**Fig. 38** Pseudomorfo lenticular de yeso y óxidos de hierro. Sílex evaporítico de origen desconocido hallado en el yacimiento Cova de la Guineu (Font-Rubí, Alto Penedés)

## 5.2.4 Sílex indeterminado

Fueron considerados en esta categoría todas aquellas piezas en las que el sílex no presentaba características específicas que permitieran atribuirlo a una de las categorías previas, ya sea por falta de elementos definitorios o por poseer elementos que podrían estar presentes en distintos ambientes. Adicionalmente, hemos catalogado de indeterminadas todas aquellas piezas fabricadas en sílex de tipo plaqueta, puesto que hasta la actualidad se desconoce su origen.

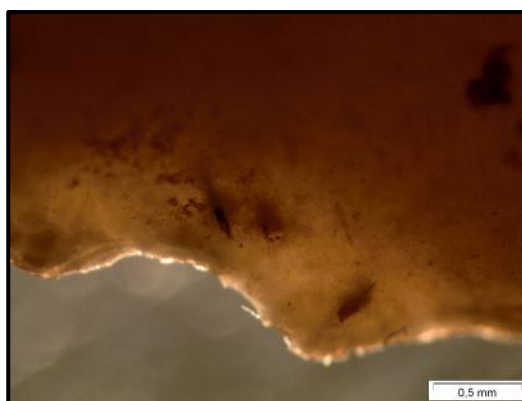
### a. *Sílex en plaqueta*

Si bien el origen de este tipo de sílex se desconoce, Jean Vaquer y Hélène Vergély hicieron un estudio que permite catalogar esta materia prima en cuatro grupos diferentes, los cuales fueron denominados por los autores como: grupo A, grupo B, grupo C y grupo D.

Grupo A: Suelen ser plaquetas delgadas de entre 2 y 8 mm de grosor. El córtex es completamente liso, aunque a veces presenta pequeños salientes y rebajes que le dan un aspecto abultado. El interior de la plaqueta está formado por materia silíceo de color gris brillante y translúcido a un espesor de 1,5mm. Al observarlas mediante la lupa binocular, se pueden observar pequeños filamentos de color negro (fig. 40) y puntos rojos (óxidos de hierro) (fig. 39) (Vaquer y Vergély, 2006:178).



**Fig. 39** Playa de óxidos de hierro. Sílex en plaqueta de tipo A hallado en el yacimiento Cova de la Guineu (Font-Rubí, Alto Penedés)



**Fig. 40** Pequeños filamentos negros al interior de la masa silíceo y ejemplo de translucidez. Sílex en plaqueta de tipo A hallado en el yacimiento Cova de la Guineu (Font-Rubí, Alto Penedés)

Grupo B: Plaquetas de entre 3 y 15 mm de grosor y de córtex de roca caliza de entre 0,3 a 1,5 mm de espesor. Este córtex suele poseer un aspecto bastante rugoso y levemente poroso, similar a una piedra pómez. La masa silícea es de aspecto variable, bastante opaca y mate, de color claro (blanco o beige) (Vaquer y Vergély, 2006:178).

Grupo C: dentro de este grupo se encuentran todos aquellos sílex en plaquetas de córtex con aspecto de rocas aglomeradas, el cual la mayoría de las veces presenta geodas. La masa silícea es translúcida y de color grisácea, y en su interior se observan algunos elementos bioclásticos (mayoritariamente caparzones de ostrácodos y conchas de gasterópodos) (Vaquer y Vergély, 2006:179).

Grupo D: corresponden a aquellos sílex en plaquetas de córtex calizo o de roca arenisca. En cuanto al corazón de la roca, es posible observar un alto porcentaje de algas carofíceas (Vaquer y Vergély, 2006:179).

### 5.2.5 Sílex indeterminable

El criterio utilizado para considerar indeterminable la materia prima en la que fueron fabricadas algunas piezas, fue la imposibilidad de análisis de la misma debido a la acción de procesos tafonómicos, ya sea por presencia de pátina blanca de gran profundidad y extensión –pátina total profunda, por ejemplo (fig. 41)–, por la enorme cantidad de concreción o simplemente por el avanzado estado de deterioro de la pieza por posibles combustiones post fabricación (fig. 42).



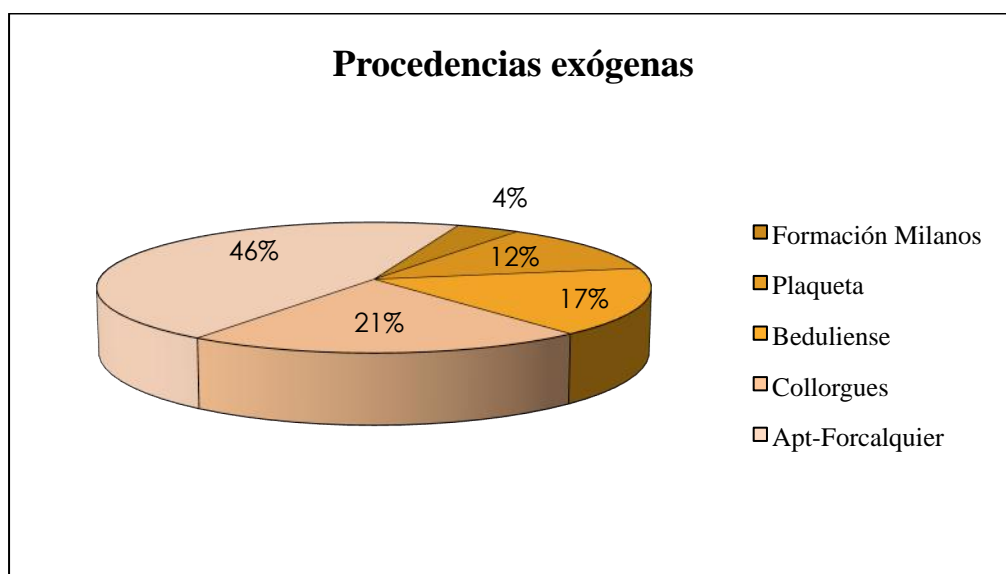
**Fig. 41** Ejemplo de pátina blanca total profunda. Sílex indeterminable hallado en el yacimiento Cova Foradada (Calafell, Bajo Penedés).



**Fig. 42** Ejemplo de termoalteración no tecnológica. Sílex indeterminable hallado en el yacimiento Cova de la Guineu (Font-Rubí, Alto Penedés).

Como hemos podido ver, dentro de las categorías establecidas para definir el origen sedimentario en la que se formaron las distintas materias primas utilizadas, se han

podido diferenciar algunos lugares específicos de proveniencia, la mayoría de ellos de territorios extranjeros. Como podemos ver en el gráfico a continuación (fig. 43), resulta claro que de entre todos los lugares utilizados para captar la materia prima, el más frecuente es el sílex de Apt-Forcalquier (Alpes de Alta Provenza, Francia), siguiéndole en proporción el sílex Collorgues, también de Francia.



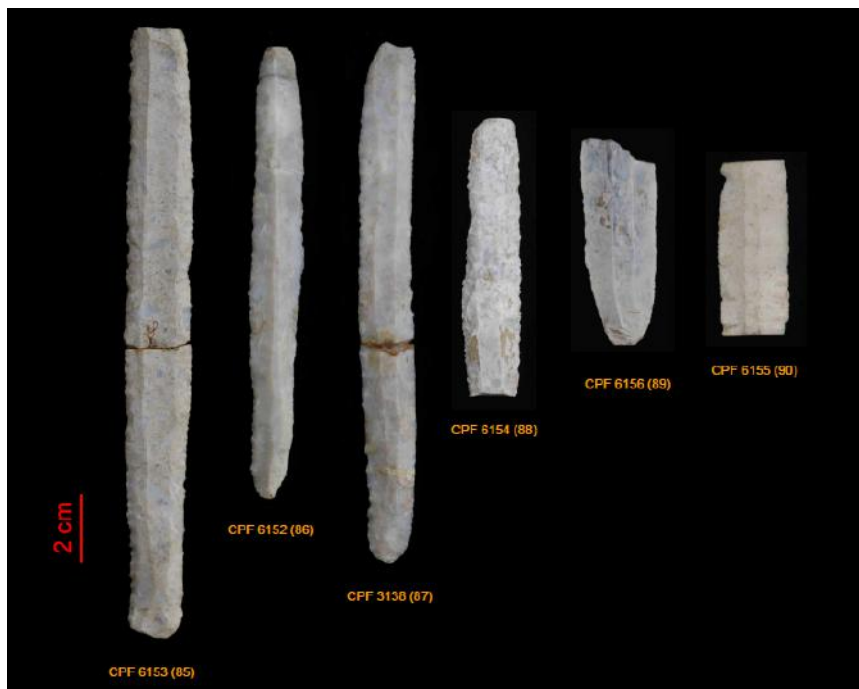
**Fig. 43** Gráfico de procedencias exógenas de la materia prima utilizada en la elaboración de las piezas estudiadas.

Por último, hemos de destacar que debido a la falta de conocimiento de técnicas especializadas (como la geoquímica), ha sido imposible distinguir las procedencias del resto de las piezas, por lo que resulta poco exacto hablar de procedencias no exógenas, cuando realmente esto no se ha definido. Sin embargo, este trabajo se presenta como el inicio de un estudio sistemático de estas piezas y sus procedencias, por lo que no se descarta realizar estos análisis en un futuro próximo.

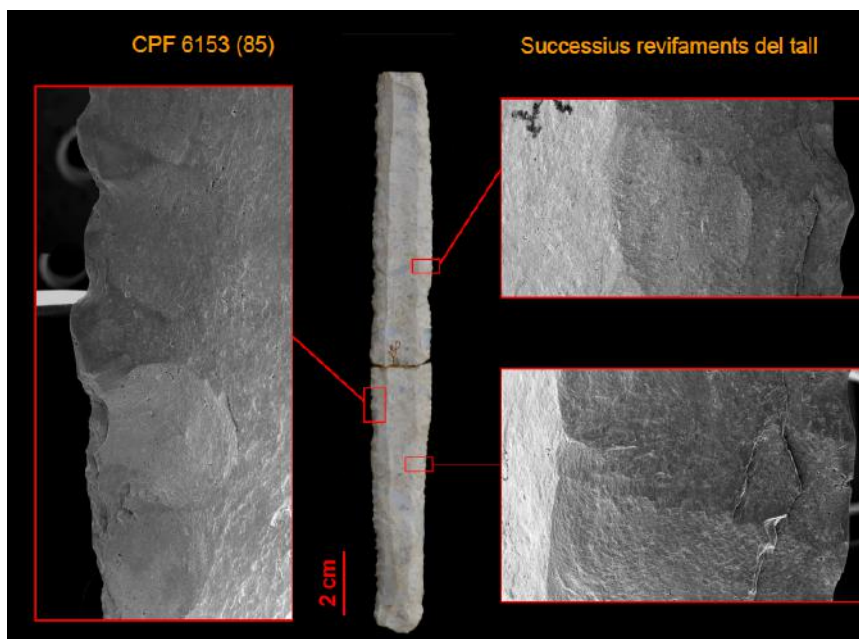
### 5.3 Funcionalidad

Por último, dentro del estudio realizado se ha decidido tomar en cuenta aspectos de las piezas que indican el tipo de funcionalidad que éstas han tenido. En el caso de aquellas halladas en el yacimiento de la Cova del Pantà de Foix (Castellet y Gornal, Alto Penedés) se ha hecho uso de un estudio traceológico realizado en el año 2012, el cual formó parte de la memoria del estudio de los materiales depositados en la Biblioteca-Museo Víctor Balaguer de Vilanova i la Geltrú.

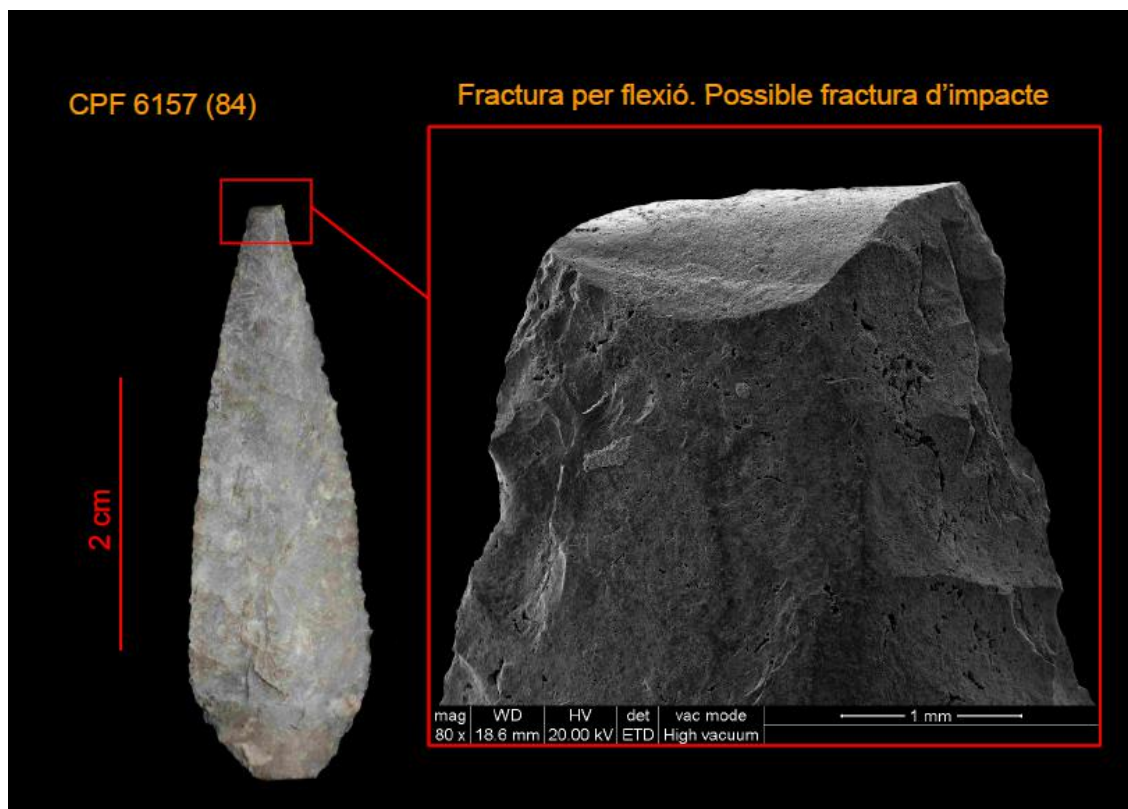
El análisis arrojó que dentro del conjunto hallado en la Cova del Pantà de Foix, existen dos tipos de elementos: aquellos utilizados como herramientas para segar el cereal (fig. 44) y las puntas de proyectiles. En ambos casos, las piezas presentan trazas de haber sido utilizadas en reiteradas ocasiones, observándose en los instrumentos de siega desgaste y pulimentado por uso, además de características propias del reavivamiento del filo (fig. 45); mientras que en las puntas de proyectiles es posible observar algunas fracturas por impacto (fig. 46).



**Fig. 44**  
Estudio traceológico. Grandes láminas utilizadas como instrumentos para la siega de cereal. Fuente: Josep Maria Vergès y Andreu Ollé



**Fig. 45**  
Sucesivos reavivamientos del filo en instrumentos utilizados para la siega de cereal. Fuente: Josep Maria Vergès y Andreu Ollé

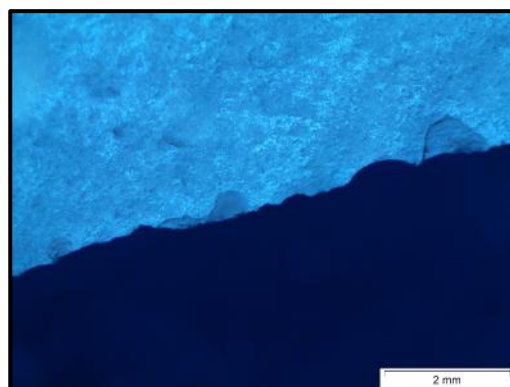


**Fig. 46** Fractura por impacto en punta de proyectil. Fuente: Josep Maria Vergès y Andreu Ollé

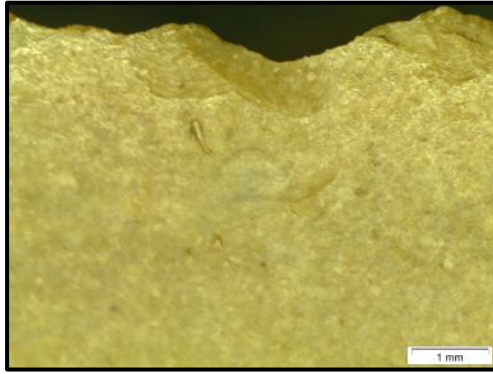
En cuanto al resto de las piezas halladas en los otros yacimientos estudiados, se ha podido observar que todas ellas presentan rasgos de haber sido utilizadas, ya sea como herramientas de siega (en el caso de las grandes láminas), o como proyectiles en el caso de las puntas foliformes. Si bien no todas las piezas tienen reavivamiento del filo –en el caso de las grandes láminas–, se pueden observar claros retoques producidos por el uso constante de la misma o restos de pátina de cereal (figs. 47-50).



**Fig. 47** Ejemplo de retoque de uso y pátina de cereal. Sílex indeterminable hallado en el yacimiento Cova de les esquerdes del Pany (Torrelles de Foix, Alto Penedés)



**Fig. 48** Ejemplo de pátina blanca total profunda. Sílex indeterminable hallado en el yacimiento Cova Foradada (Calafell, Bajo Penedés)



**Fig. 49** Ejemplo de pátina de cereal. Sílex de la Formación Milanos hallado en el yacimiento Cova de la Font del Molinot (Pontons, Alto Penedés)



**Fig. 50** Ejemplo de pulimentado por uso. Sílex indeterminado hallado en el yacimiento Cova de la Guineu (Font-Rubí, Alto Penedés).

## 6 INTERPRETACIÓN

Se ha dicho en reiteradas ocasiones que las grandes láminas de sílex eran elementos exclusivos de las élites y que poseían un valor simbólico vinculado a las jerarquías sociales, sin embargo, tomando en cuenta las conclusiones a las que se llegaron durante el encuentro llevado a cabo en el Museu Episcopal de Vic durante el año 2004 (Clop, 2005) y el estudio realizado a lo largo de estos meses, podemos dar cuenta que tanto las grandes láminas de sílex como las puntas foliformes fueron creadas como elementos funcionales, pues la totalidad de las piezas presentan trazas de haber sido utilizadas ya sea como herramientas para las labores de siega o como proyectiles. Por esta razón, resulta difícil asegurar que estos objetos pertenecían a personas poderosas dentro de los grupos estudiados, ya que, además, a nivel arqueológico es imposible vincular los ajuares funerarios con un individuo en concreto, y por consiguiente, con un estatus social preciso, ya que todas las piezas fueron halladas en enterramientos colectivos.

Sin embargo, el uso de materia prima de excelente calidad nos lleva a pensar que si bien los objetos tienen un primer carácter funcional, el material de fabricación tiene un valor propio. Mediante el cruce de datos obtenidos, hemos podido constatar que existen algunos patrones de fabricación que definen el tipo de manufactura, creando una especie de ‘sello propio’ del taller o zona de fabricación que lo diferencia del resto de lugares. Específicamente, observamos que las piezas fabricadas en el sílex de Apt-Forcalquier (Alta Provenza, Francia) poseen características técnicas que guardan relación con el método de fabricación empleado, como son el tipo de sección y el pulimentado tecnológico. Las piezas fabricadas en esta materia prima suelen tener sección triangular

y/o trapezoidal y siempre poseen pulimentado tecnológico (que se diferencia del pulimentado por uso, puesto que se lleva a cabo como preparación del soporte previo al tallado de la pieza) (figs. 51 y 52).



**Fig. 51**  
Ejemplo de pulimentado tecnológico. Sílex lacustre de tipo Apt-Forcalquier hallado en el yacimiento Cova de la Guineu (Font-Rubí, Alto Penedés)



**Fig. 52**  
Ejemplo de pulimentado tecnológico. Sílex lacustre de tipo Apt-Forcalquier hallado en el yacimiento Cova de la Guineu (Font-Rubí, Alto Penedés)

Otro aspecto que llama la atención es la gran cantidad de piezas fabricadas en sílex exógenos de alta calidad, por lo que nuevamente podemos hacer referencia a la importancia que posee la materia prima en sí misma, pues su excelente aptitud para la talla hace que la pieza sea apreciada incluso desvinculándose del valor funcional que ésta tiene, razón que explicaría la presencia de objetos con vida útil formando parte de ajuares funerarios. Sabemos pues que los objetos simbólicos presentan facilidad de comunicación a distancia y que pueden ser fácilmente apropiados, por ejemplo en forma de ajuares funerarios o como ofrendas-tributo (DeMarris *et al.*, 1996:18 en Cámara, 2002:133) y, en general, tienden a ser exclusivos por las limitaciones al acceso (Verhart y Wansleebeen, 1997 en Cámara, 2002:133) a las materias primas, a la tecnología, a la

producción o al objeto en sí (DeMarris *et al.*, 1996:18). Por lo tanto, estos objetos presentan valor por sus costes pero también por esa restricción ya que como productos exóticos y/o de prestigio su función principal es la estabilización de las élites (Cámara, 2002:133).

Podemos decir pues, que tras conocer los resultados obtenidos a partir de los análisis tipológico, arqueopetroológico y funcional, hemos podido identificar que las piezas presentan rasgos que las definen como elementos con una doble funcionalidad: en primer lugar, como elementos utilitarios para los trabajos agrícola y como proyectiles, y posteriormente, adquieren una segunda funcionalidad como elementos amortizados que cumplen un valor simbólico vinculado a la calidad de la materia prima empleada.

Por último, es importante destacar que las interpretaciones aquí expuestas representan el estudio de una pequeña área (Penedés), por lo que es imprescindible ampliar la zona de análisis, utilizando los mismos criterios establecidos en el apartado de metodología, con la finalidad de alcanzar un conocimiento integral de las piezas y de sus contextos de fabricación y utilización.

## 7. CONCLUSIÓN

Uno de los objetivos principales de este trabajo ha sido estudiar, desde distintos puntos de vista, los conjuntos de industria lítica tallada hallados en los enterramientos colectivos pertenecientes al Neolítico final-Calcolítico (III milenio a.C.), para poder comprender cuáles eran realmente las funciones que tenían estas piezas, ya sea a nivel utilitario como simbólico. Tras realizar estudios de diferentes tipos, hemos podido llegar a la conclusión que los conjuntos analizados poseían una doble funcionalidad: por un lado, fueron fabricadas como piezas funcionales que cumplían una labor práctica, mientras que su valor cambiaba al ser utilizadas como parte de un ajuar funerario, momento en el cual la tipología de la pieza pasaba a un segundo plano y primaba la calidad del material utilizado.

La obtención de resultados de este tipo posibilita el entendimiento integral de las piezas, pues responde de manera clara las interrogantes vinculadas al valor, tanto social como simbólico, que podrían haber tenido éstas. Sin embargo, resulta imprescindible conocer más aspectos contextuales de los elementos estudiados, puesto que las dificultades principales de este estudio han sido la falta de datos vinculados a las excavaciones y al estado de algunas de las piezas. Bajo esta premisa, se plantea continuar con el estudio expuesto a lo largo de este escrito, ampliando la zona de estudio, el número de yacimientos y la cantidad de piezas, y a su vez, conjugar otros estudios que permitan obtener más datos, desde otras áreas del conocimiento (por ejemplo, análisis geoquímicos).

## 8. BIBLIOGRAFIA

- Ajuntament de Calafell. *Cova Foradada* [En línia]. Calafell: Ajuntament de Calafell, 2015 [consulta: 17 de enero de 2016]. Disponible en: <<http://calafell.cat/municipi/patrimoni/cova-foradada>>
- Anadón, P. *et al.* Los sistemas lacustres del Eoceno superior y Oligoceno del sector oriental de la Cuenca del Ebro. *Acta Geológica Hispánica*, 1989, 3-4 (24), pp. 205-230.
- Aymamí, G. Les coves del Penedès: la seva descoberta i utilització per l'home al llarg del temps. *11enes Jornades d'Estudis Penedesencs. Vilafranca del Penedès, 1998*. Vilafranca del Penedès: Miscel·lània penedesenca, 2003, pp. 7-49.
- Binder, D. El sílex melat, indicador de la complexitat social i marcador cultural en els conjunts del neolític antic liguoprovençal. *COTA ZERO*, 2002, núm. 17, pp. 67-81.
- Blet, M.; Binder, D.; Gratuze, B. Essais de caractérisation des sílex bédouliens provençaux par analyse chimique élémentaire. *Revue d'Archéométrie*, 2000, núm. 24, pp. 149-167.
- Cámara, J.A. Ideología y ritual funerario en el Neolítico final y Calcolítico del Sudeste de la Península Ibérica. *Revista Atlántica Mediterránea de Prehistoria y Arqueología Social*. 2002, V, 125-166.
- Cartwright, J.S.; García, J.M.; Villacampa, A. I. Pattern formation in cristal growth: Liesegang ring. *Computer Physis Communications*, 1999, núm. 121-122, pp. 411-413.
- Cebrià, A. *et al.* La Cova Foradada (Calafell, Baix Penedès), la problemàtica de la convivència en el registre d'inhumacions i cremacions durant la prehistòria recent.
- Cebrià, A. *et al.* La cova sepulcral del pantà de Foix (Castellet i la Gornal). De jaciment arraconat a jaciment modèlic. *III Monografies del Foix. Comunicacions de la III*

*Trobada d'Estudiosos del Foix (Castellet i la Gornal 2012). Documents de Treball. Sèrie Territori*, 2013, vol. 25, pp. 184-194.

Cebrià, A.; Ribé, G.; Senabre, M. R. L'arqueologia a l'Alt Penedès: estat de la qüestió als anys 90. *Miscel.lània penedesenca*, 1991, vol. 15, pp. 37-136.

Clop, X. Les grans làmines de sílex de Catalunya. *Quaderns del Museu Episcopal de Vic*. 2005, vol. 1, pp. 139-143.

Clop, X. *et al.* Un utillaje lítico especializado: las grandes láminas de sílex del noreste de la Península Ibérica. *Bolskan*. 2001, 18, pp. 311-322.

Clop, X. *et al.* Catalunya, una zona receptora. *En Museu d'Arqueologia de Catalunya. Europa al final de la Prehistòria. Les grans fulles de sílex*. Barcelona: Museu d'Arqueologia de Catalunya-Barcelona, 2008, pp. 25-33.

DeMarris, E. *et al.* Ideology, Materialization, and Power Strategies. *Current Anthropology*, 1996, vol. 37, núm. 1, pp. 15-31 *En* Cámara, J.A. Ideología y ritual funerario en el Neolítico final y Calcolítico del Sudeste de la Península Ibérica. *Revista Atlántica Mediterránea de Prehistoria y Arqueología Social*. 2002, V, 125-166.

Elorrieta, I. La interpretación arqueopetroológica como medio para la obtención de patrones de explotación territoriales en sociedades cazadoras-recolectoras. *Estrat Crític* 5. 2011, vol. 2, pp. 131-137.

Enciclopèdia catalana. *El Penedès*. [En línia] Barcelona: Grup Enciclopèdia catalana, 2015 [consulta: 15 de enero de 2016]. Disponible en: <<http://www.grec.cat/cgibin/ggcc01cl.pgm?USUARI=&SESSIO=&PGMORI=&NDCHEC=0608399>>

Fernandes, P.; Raynal, J.P. Pétroarchéologie du silex: un retour aux sources. *Comptes Rendus Palevol* 5. 2006, pp. 829-837.

Fortea, F. J. *Los complejos microlaminares y geométricos del Epipaleolítico mediterráneo español*. Salamanca: Memorias del Seminario de Prehistoria y Arqueología (Universidad de Salamanca), 1973 *En* Juan-Cabanilles, J. *El utillaje de piedra tallada en la Prehistoria reciente valenciana. Aspectos tipológicos, estilísticos y evolutivos*. Valencia: Museu de Prehistòria de València, 2008.

- Gibaja, J. F. *et al.* Las grandes láminas de sílex documentadas en contextos funerarios del Neolítico final-Bronce inicial en el nordeste peninsular. *En Les grans fulles de sílex. Europa al final de la Prehistòria*. Gibaja, J. F.; Terradas, X.; Palomo, A.; Clop, X. (eds). Museu d'Arqueologia de Catalunya. Barcelona: Monografies 13, 2009, pp. 63-73.
- Gibaja, J. F. *et al.* Útiles de siega en contextos funerarios del 3500-1500 cal ANE en el noreste de la Península Ibérica: el caso de las grandes láminas de sílex. *CYPSELA*. 2008, núm. 15, pp. 187-195.
- Gibaja, J.; Palomo, A.; Terradas, X. Producción y uso del utillaje lítico en el Nordeste de la Península Ibérica. *Actas del III Congreso del Neolítico en la Península Ibérica*. Santander: Universidad de Cantabria, 2003.
- Gibaja, J. F.; Terradas, X.; Palomo, A. El Neolítico del Noreste de la Península Ibérica: caracterización del utillaje lítico tallado. *Promontoria. Revista do Departamento de História, Arqueologia e Património da Universidade do Algarve*, 2007, núm. 5, pp. 163-184.
- Grivé, M. L'Esquerda de les Roques del Pany (Penedès). *Anuari de l'Institut d'Estudis Catalans (1927-1931)*, 1932, vol. III, pp. 19-33. *En* Cebrià, A.; Ribé, G.; Senabre, M. R. L'arqueologia a l'Alt Penedès: estat de la qüestió als anys 90. *Miscel.lània penedesenca*, 1991, vol. 15, pp. 37-136.
- Honegger, M. Grandes lames et poignards dans le Néolithique final du nord des Alpes. *En* Vaquer, J.; Briois, F. (eds). La fin de l'âge de Pierre en Europe du sud. Actes de la table ronde de l'EHESS (Carcassonne, 2003). *Toulouse: Archives d'écologie préhistoriques*, 2006, pp. 43-56.
- ICGC. Institut Cartogràfic i Geològic de Catalunya [En línea]. Catalunya, 2015 [consulta: 07 de enero de 2016]. Disponible en: <<http://www.icc.cat/>>
- Inventari del Patrimoni Arqueològic de Catalunya. *Avenc de Sant Antoni* [En línea]. Barcelona: Generalitat de Catalunya, 2015a [consulta: 17 de enero de 2016]. Disponible en: <<http://invarque.cultura.gencat.cat/FitxaGeneral?index=12&consulta=MSUxK0F2ZW5hIFNhb nQgQW50b25pJTlrLTEl&codi=10735>>

Inventari del Patrimoni Arqueològic de Catalunya. *Cova de la Font del Molinot* [En línea]. Barcelona: Generalitat de Catalunya, 2015b [consulta: 28 de enero de 2016]. Disponible en: <<http://invarque.cultura.gencat.cat/FitxaGeneral?index=2549&consulta=MSUxK2NvbGwgZGVsIG1vcm8gZ2FZGVzYSUyKy0xJQ%3D%3D&codi=4873>>

Inventari del Patrimoni Arqueològic de Catalunya. *Cova de la Guineu* [En línea]. Barcelona: Generalitat de Catalunya, 2015c [consulta: 16 de diciembre de 2015]. Disponible en: <<http://invarque.cultura.gencat.cat/FitxaGeneral?index=2&consulta=MSUxK0NvdmEgR3VpbmV1JTlrLTEL&codi=5018>>

Inventari del Patrimoni Arqueològic de Catalunya. *Cova de les esquerdes del Pany* [En línea]. Barcelona: Generalitat de Catalunya, 2015d [consulta: 13 de enero de 2016]. Disponible en: <<http://invarque.cultura.gencat.cat/FitxaGeneral?index=1861&consulta=MSUxK2NvbGwgZGVsIG1vcm8gZ2FuZGVzYSUyKy0xJQ%3D%3D&codi=7475>>

Inventari del Patrimoni Arqueològic de Catalunya. *Cova del Pantà de Foix* [En línea]. Barcelona: Generalitat de Catalunya, 2015e [consulta: 12 de enero de 2016]. Disponible en: <<http://invarque.cultura.gencat.cat/FitxaGeneral?index=0&consulta=MSUxK0NvdmEgZGVsIFBhbnTD0CBkZSBGb2l4JTlrLTEL&codi=312>>

Inventari del Patrimoni Arqueològic de Catalunya. *Cova Foradada* [En línea]. Barcelona: Generalitat de Catalunya, 2015f [consulta: 20 de diciembre de 2015]. Disponible en: <<http://invarque.cultura.gencat.cat/FitxaGeneral?index=5&consulta=MSUxK0NvdmEgRm9yYWVhZGElMistMSU%3D&codi=18423>>.

Juan-Cabanilles, J. *El utillaje de piedra tallada en la Prehistoria reciente valenciana. Aspectos tipológicos, estilísticos y evolutivos*. Valencia: Museu de Prehistòria de València, 2008.

Linton, J.; Affolter, J. Sestier, C. Des lames en silex rubané tertiaire de la collection des fouilles anciennes du Camp de Chassey (Saône-et-Loire). *Revue Archéologique de l'Est*, 2008, pp. 5-20.

Mangado, X. El aprovisionamiento de recursos minerales durante el Paleolítico y el Neolítico de Europa. Mata, J. M. y González, J. (coords). *Actas del Primer*

*Simposio sobre la Minería y la Metalurgia en el Sudoeste Europeo: Centre d'Arqueologia d'Avinganya, Serós.* 2003, vol. 1, pp. 7-36.

Mangado, X. *L'Arqueopetrologia del sílex. Una clau pel coneixement paleoeconòmic i social de les poblacions prehistòriques.* Barcelona: Societat Catalana d'Arqueologia, 2004.

Menras, C. Les industries lithiques de trois occupations de plein air et leur place dans le contexte Moustérien du Languedoc méditerranéen: Le Cadéas (Bédarieux, Hérault), Les Cours (Plaisan, Hérault) et Le Serre du Coucouyon (La Capelle et Masmolène, Gard). *L'Anthropologie*, 2009, núm. 113, pp. 381-398.

Molina, J. M.; Vera, J.A. La Formación Milanos en el Subbético Medio (Jurásico superior): definición y descripción. *GEOGACETA*. 1996, vol. 20, núm.1, pp. 39-42.

Morales *et al.* La Cova de la Guineu. 12.000 anys de presència humana a les capçaleres del Foix. *III Monografies del Foix*. 2013, pp. 172-183.

Morgado, A. *et al.* La production de grandes lames dans la Péninsule Ibérique (IVe-IIIe millénaires). En Dias-Meirinho, M. H.; Léa, V.; Gernigon, K.; Fouéré, P.; Briois, F. y Bailly, M. (eds). *Les industries lithiques taillées des IVe et IIIe millénaires en Europe occidentale*. Oxford: British Archaeological Reports, 2008, pp. 309-330.

Morgado, A.; Lozano, J. A.; Pelegrin, J. Las explotaciones prehistóricas del sílex de la Formación Milanos (Granada, España). *MENGA. Revista de Prehistoria de Andalucía*. 2011, núm. 2, pp. 135-155.

Museu d'Arqueologia de Catalunya. Gibaja, J. F.; Terradas, X.; Palomo, A.; Clop, X. (eds). *Europa al final de la Prehistòria*. Barcelona: Monografies 13, 2008.

Oms, X *et al.* Campaniforme i metal·lúrgia en un espai sepulcral del III mil·lenni cal. BC: La Cova de la Guineu (Font-Rubí, Alt Penedès). Institut d'Estudis Penedesencs. Secció d'Arqueologia. *Jornades d'Arqueologia del Penedès 2011*. Vilafranca del Penedès: Institut d'Estudis Penedesencs, 2016. pp. 109-116.

- Sánchez de la Torre, M. Las sociedades cazadoras-recolectoras del Paleolítico superior final pirenaico: territorios económicos y sociales. *Monografies del SERP*, 11, Barcelona, Barcelona, 2015.
- Vaquer, J. Réflexions sur échanges de biens matériels lithiques entre le Midi de la France et le nord de la Péninsule Ibérique au Néolithique et au Chalcolithique. En Borrell, M. (dir.). *Congrés Internacional Xarxes al Neolític: Neolithic Networkers Rubricatum*. Revista del Museu de Gavà, 2012, pp. 565-574.
- Vaquer, J.; Remicourt, M. Productions et importations de grandes lames en silex au Néolithique et au Chalcolithique dans le Midi de la France (4500-2400 av. J-C.) *Les grans fulles de sílex. Europa al final de la Prehistòria*. Barcelona: Museu d'Arqueologia de Catalunya. 2009, pp. 35-45.
- Vaquer, J.; Remicourt, M. Les longues lames en sílex au Chalcolithique dans le midi de la France entre le Rhône et les Pyrénées. Bordreuil, M. (colaboración). En Marquet J. C.; Verjux, C. (dir.). *L'Europe, déjà, à la fin des temps préhistoriques. Actes de la table-ronde internationale*. Tour (Indre-et-Loire, France): *Revue Archéologique du Centre de la France*, 2012, pp. 165-183.
- Vaquer, J.; Remicourt, M.; Vergély, H. Les poignards métalliques et litiques du Chalcolithique pré-campaniforme des petits et grands causses dans le Midi de la France. Centre d'Anthropologie y Musée de Millau. *Actes du Colloque de Millau. Toulouse: Archives d'Écologie Préhistorique*, 2006. pp. 155-179.
- Vaquer, J.; Vergély, H. L'utilisation du sílex en plaquette dans le Néolithique final et le Chalcolithique du sud du Massif Central aux Pyrénées. *Actes de la table ronde de l'EHESS. La Fin de l'Âge de Pierre en Europe du Sud (Carcassonne 2003)*, 2006, pp. 175-2004.

## 9. ANEXOS

## **Puntas de flecha (PF): sistemática de clasificación y siglas tipológicas<sup>2</sup>**

Pieza completa o fracturada identificable con clase o clase/tipo

Simétrica (según eje longitudinal)

### Triangular

Base recta o convexa (PF1)

### Romboidal

Lados no convexos

Simétrica (según eje transversal) (PF2)

Asimétrica (ídem) (PF3)

Lados convexos

Rombo-ogival (PF4)

### Foliforme

Pieza completa o fracturada identificable con tipo

Base apuntada

Simétrica (según eje transversal) (PF5)

Asimétrica (ídem) (PF6)

Base redondeada (PF7)

Fragmento no identificable con tipo (PF8)

### Base ensanchada

Romboidal (PF9)

Foliforme (PF10)

Rombo-ogival (PF11)

### Pedúnculo o base estrechada

Foliforme (PF12)

Romboidal (PF13)

Rombo-ogival (PF14)

### Base cóncava o aletas

Triangular (PF15)

Foliforme (PF16)

### Apéndices o aletas laterales

Pieza completa o fracturada identificable con tipo

Romboidal

Simétrica (según eje transversal) (PF17)

Asimétrica (ídem) (PF18)

Foliforme (PF19)

Rombo-ogival (PF20)

Base ensanchada (PF21)

Pedúnculo o base estrechada (PF22)

Fragmento no identificable con tipo (PF23)

### Pedúnculo y aletas

Aletas simétricas

Rectas (PF24)

Obtusas

Cuerpo de lados rectos

Pedúnculo normal o largo (PF25)

Pedúnculo corto (PF26)

<sup>2</sup> Criterios de clasificación de puntas de flechas según la tipología de Juan-Cabanilles (2008:133).

Cuerpo de lados cóncavos o sinuosos (PF27)

Cuerpo de lados convexos (PF28)

Agudas

Pieza completa o fracturada identificable con tipo

Aletas incipientes

Pedúnculo normal (PF29)

Pedúnculo corto (PF30)

Aletas normales

Cuerpo de lados rectos

Pedúnculo normal (PF31)

Pedúnculo corto (PF32)

Pedúnculo largo (PF33)

Cuerpo de lados cóncavos o sinuosos (PF34)

Cuerpo de lados convexos (PF35)

Aletas desarrolladas

Pedúnculo normal (PF36)

Pedúnculo corto (PF37)

Aletas rasas o sobrepasadas (PF38)

Fragmento no identificable con tipo (PF39)

Aletas disimétricas

Recta-obtusa (PF40)

Recta/obtusa-aguda (PF41)

Otros perfiles

Muecas laterales (PF42)

Asimétrica (según eje longitudinal)

Oposición rasgos simples (PF43)

Oposición rasgo simple y apéndice (PF44)

Oposición rasgo simple y aleta recta u obtusa (PF45)

Oposición rasgo simple y aleta aguda (PF46)

Fragmento no identificable (PF47)

**Hojas y hojitas con retoque marginal (HRM): sistemática de clasificación y siglas tipológicas<sup>3</sup>**

Retoque muy marginal

Pieza completa o fracturada “larga”

Ret. unilateral (HRM1)

Ret. bilateral

Unidireccional (HRM2)

Bidireccional (HRM3)

Pieza fracturada “corta” o fragmento s.s. (HRM4)

Retoque marginal

Pieza completa o fracturada “larga”

Ret. unilateral

Total

Unidireccional (HRM5)

Alternante (HRM6)

Parcial (HRM7)

Ret. bilateral

Total

Unidireccional (HRM8)

Alterno (HRM9)

Otro ret. bidireccional (HRM10)

Parcial

Unidireccional (HRM11)

Alterno (HRM12)

Otro ret. bidireccional (HRM13)

Total y parcial opuesto (HRM14)

Pieza fracturada “corta” o fragmento s.s. (HRM15)

---

<sup>3</sup> Criterios de clasificación de hojas con retoque marginal según la tipología de Juan-Cabanilles (2008:98)

**Hojas y hojitas con retoque plano o sobreelevado (HRP): sistemática de clasificación y siglas tipológicas<sup>4</sup>**

Retoque plano o sobreelevado exclusivo  
Pieza no apuntada y sin frente de raspador  
Completa o fracturada “larga”  
Retoque unilateral  
No bifacial  
Total (HRP1)  
Parcial (HRP2)  
Bifacial (HRP3)  
Retoque bilateral  
No bifacial  
Total (HRP4)  
Parcial (HRP5)  
Total + parcial opuesto (HRP6)  
Bifacial (HRP7)  
Fracturada corta o fragmento s.s. (HRP8)  
Pieza apuntada (HRP9)  
Pieza con frente de raspador (HRP10)  
Retoque plano o sobreelevado y oblicuo marginal  
Pieza completa o fracturada “larga” (HRP11)  
Pieza fracturada “corta” o fragmento s.s. (HRP12)

---

<sup>4</sup> Criterios de clasificación de hojas con retoque plano o sobreelevado según la tipología de Juan-Cabanilles (2008:118)



UNIVERSITAT DE  
BARCELONA

FACULTAD DE GEOGRAFÍA E HISTORIA  
ARQUEOLOGÍA

Conjuntos de industria lítica tallada del Penedés  
durante el Neolítico Final-Calcolítico (III  
milenio a.C.) en contextos funerarios.

*Características, funciones y simbolismos*

ANEXO II: Base de datos

**Cynthia Belén González Olivares**

**NIUB 16260823**

**Tutor: Dr. Xavier Mangado Llach**

**Bloque temático: Prehistoria y Protohistoria**

**Trabajo Final de Grado**

N. Inventari

N. referència

1

GN/642

Jaciment

Cova de la Guineu

T. Sílex

Dist. color

Pàtina

% Pàtina

Continental

Bandejada

Sense

Transparència

Mida gra

Textura

Opaca

Fi

Heterogènia

Superfície

Aptitud de talla

 Mudstone

Llisa

Alta

 Wackestone

Obs.

 Packstone Grainstone

Anells de Liesegang

Mesures L - A - G

Pes

Taló

Secció

90

16

5

9.39

I

Triangular

Utilització

Còrtex

Tipo

Rodament

Litologia

Contacte

NC

Inclusions

- Óx. metàlics  
 Gr. hematites  
 Dend. pirolusita  
 Romboedros dolomita  
 Pseud. len. yeso  
 Cuarzo detrític  
 Recristalizaciones  
 Rel. micrita  
 Rel. inertita  
 Rel. ca  
 Mosaics de macroquars

Fossils

- Moluscos  
 Bivalbas  
 Braquiópodos  
 Gasterópodos  
 Poríferos  
 Equinoideos  
 Algas verdes  
 Algas rojas  
 Algas carofíceas  
 Ostrácodos  
 Foraminíferos  
 Briozoos
- Anélidos  
 Incertae Sedis  
 Rotalina  
 Bioclastos indet.  
 Espícules  
 Dinoflagelados

Alteracions tèrmiques

Fractures

Concreció

Llustre tèrmic

Sense fractures

No

Arxiu

Dibuix



Observacions

Textura heterogènia de tipus Wackestone amb elevada presència de possibles bioclastos indeterminats.  
 Posee anells de liesegang (Foto:GN642\_1)

N. Inventari

N. referència

2

GN/634 // C.G.4

Jaciment

Cova de la Guineu

T. Sílex

Dist. color

Pàtina

% Pàtina

Continental

Motejada

Blanca

Dominante

Transparència

Mida gra

Textura

Opaca

Fi

Heterogènia

Superfície

Aptitud de talla

Llisa

Alta

Obs.

- Mudstone  
 Wackestone  
 Packstone  
 Grainstone

Mesures L - A - G

Pes

Taló

Secció

77

26

4

11.04

D

Trapezoidal

Utilització

Còrtex

Tipo

Rodament

Litologia

Contacte

NC

Inclusions

- Óx. metàlics  
 Gr. hematites  
 Dend. pirolusita  
 Romboedros dolomita  
 Pseud. len. yeso  
 Cuarzo detrític  
 Recristalizaciones  
 Rel. micrita  
 Rel. inertita  
 Rel. ca  
 Mosaics de macroquars

Fossils

- Moluscos  
 Bivalbas  
 Braquiópodos  
 Gasterópodos  
 Poríferos  
 Equinoideos  
 Algas verdes  
 Algas rojas  
 Algas carofíceas  
 Ostrácodos  
 Foraminíferos  
 Briozoos
- Anélidos  
 Incertae Sedis  
 Rotalina  
 Bioclastos indet.  
 Espícules  
 Dinoflagelados

Alteracions tèrmiques

Fractures

Concreció

Llustre tèrmic

Sense fractures

Sí

Arxiu

Dibuix



Observacions

Textura heterogènia con presencia de gran cantidad de bioclastos indeterminados. Además, se observan elementos que podrían corresponder a posibles gasterópodos (Foto: GN634\_4) y ostrácodos.(Foto: GN634\_1). Por último, se distinguen posibles secciones de algas carofíceas (Fotos: GN634\_2; GN634\_3)

N. Inventari N. referència

3

GN/643

Jaciment

Cova de la Guineu

T. Sílex

Dist. color

Pàtina

% Pàtina

Continental

Llisa

Sense

Transparència

Mida gra

Textura

Opac/Transp

Molt fi

Heterogènia

Superfície

Aptitud de talla

Llisa

Alta

Obs.

- Mudstone
- Wackestone
- Packstone
- Grainstone

Mesures L - A - G

Pes

Taló

Secció

56

16

4

4.60

I

Mixta

Utilització

Còrtex

Tipo

Rodament

Litologia

Contacte

NC

Inclusions

- Óx. metàlics
- Gr. hematites
- Dend. pirolusita
- Romboedros dolomita
- Pseud. len. yeso
- Cuarzo detrític
- Recristalizaciones
- Rel. micrita
- Rel. inertita
- Rel. ca
- Mosaics de macroquars

Fossils

- Moluscos
- Bivalbas
- Braquiópodos
- Gasterópodos
- Poríferos
- Equinoideos
- Algas verdes
- Algas rojas
- Algas carofíceas
- Ostrácodos
- Foraminíferos
- Briozoos
- Anélidos
- Incertae Sedis
- Rotalina
- Bioclastos indet.
- Espícules
- Dinoflagelados

Alteracions tèrmiques

Fractures

Concreció

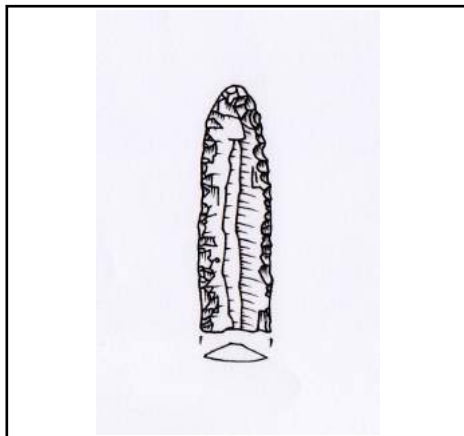
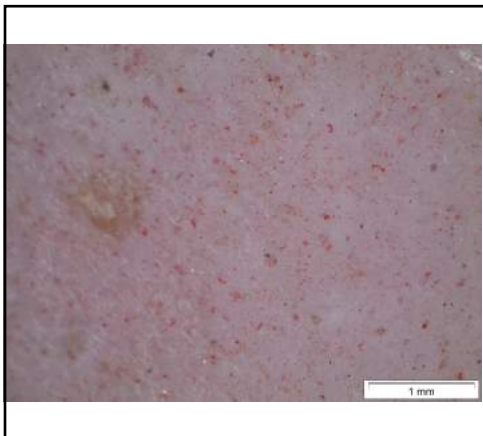
Sense

Sense fractures

Sí

Arxiu

Dibuix



Observacions

Posible materia orgánica (¿polen?) (Foto: GN643\_2). Además se observa sección de gasterópodo.

El alto contenido de hematites le da una coloración rojiza al sílex (Foto: GN643\_1)

N. Inventari

N. referència

4

GN/641

Jaciment

Cova de la Guineu

T. Sílex

Dist. color

Pàtina

% Pàtina

Indeterminabl

Irregular

Blanca

Dominante

Transparència

Mida gra

Textura

Opaca

Fi

Indeterminable

Superfície

Aptitud de talla

 Mudstone

Llisa

Alta

 Wackestone

Obs.

 Packstone Grainstone

Mesures L - A - G

Pes

Taló

Secció

65

19

6

9.69

I

Mixta

Utilització

Còrtex

Tipo

Rodament

Litologia

Contacte

NC

Inclusions

- Óx. metàlics  
 Gr. hematites  
 Dend. pirolusita  
 Romboedros dolomita  
 Pseud. len. yeso  
 Cuarzo detrític  
 Recristalizaciones  
 Rel. micrita  
 Rel. inertita  
 Rel. ca  
 Mosaics de macroquars

Fossils

- Moluscos  
 Bivalbas  
 Braquiópodos  
 Gasterópodos  
 Poríferos  
 Equinoideos  
 Algas verdes  
 Algas rojas  
 Algas carofíceas  
 Ostrácodos  
 Foraminíferos  
 Briozoos
- Anélidos  
 Incertae Sedis  
 Rotalina  
 Bioclastos indet.  
 Espícules  
 Dinoflagelados

Alteracions tèrmiques

Fractures

Concreció

Llustre tèrmic, cúpula i

Tèrmiques

No

Arxiu

Dibuix



Observacions

Presenta posibles secciones de bioclastos indeterminados. Sin embargo, las condiciones de la pieza impiden un análisis más claro, por lo que se le considera indeterminable.

<b>N. Inventari</b>	<b>N. referència</b>
5	GN/635// Dib.

<b>Jaciment</b>
Cova de la Guineu

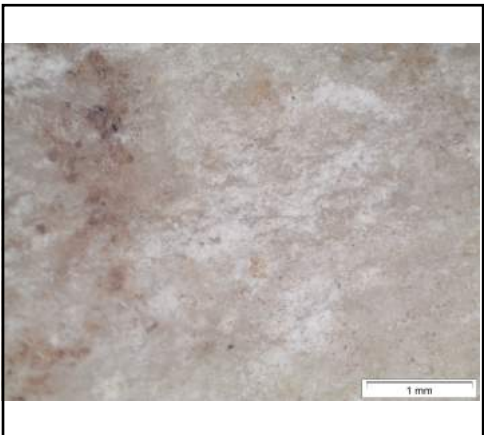
<b>T. Sílex</b>	<b>Dist. color</b>	<b>Pàtina</b>	<b>% Pàtina</b>
Indeterminabl	Llisa	Blanca	Dominante
<b>Transparència</b>	<b>Mida gra</b>	<b>Textura</b>	
Transparent	Fi	Heterogènia	
<b>Superfície</b>	<b>Aptitud de talla</b>	<input checked="" type="checkbox"/> Mudstone	
Llisa	Alta	<input type="checkbox"/> Wackestone	
<b>Obs.</b>		<input type="checkbox"/> Packstone	
		<input type="checkbox"/> Grainstone	

<b>Còrtex</b>	<b>Tipo</b>	<b>Rodament</b>	<b>Litologia</b>	<b>Contacte</b>
NC				
<b>Inclusions</b>		<b>Fossils</b>		
<input type="checkbox"/> Óx. metàlics <input type="checkbox"/> Gr. hematites <input type="checkbox"/> Dend. pirolusita <input type="checkbox"/> Romboedros dolomita <input checked="" type="checkbox"/> Pseud. len. yeso <input type="checkbox"/> Cuarzo detrític <input type="checkbox"/> Recristalizaciones <input type="checkbox"/> Rel. micrita <input type="checkbox"/> Rel. inertita <input type="checkbox"/> Rel. ca <input type="checkbox"/> Mosaics de macroquars		<input type="checkbox"/> Moluscos <input type="checkbox"/> Bivalbas <input type="checkbox"/> Braquiópodos <input type="checkbox"/> Gasterópodos <input type="checkbox"/> Poríferos <input type="checkbox"/> Equinoideos <input type="checkbox"/> Algas verdes <input type="checkbox"/> Algas rojas <input type="checkbox"/> Algas carofíceas <input type="checkbox"/> Ostrácodos <input type="checkbox"/> Foraminíferos <input type="checkbox"/> Briozoos		
<b>Alteracions tèrmiques</b>		<b>Fractures</b>	<b>Concreció</b>	
Sense		Sense fractures	No	

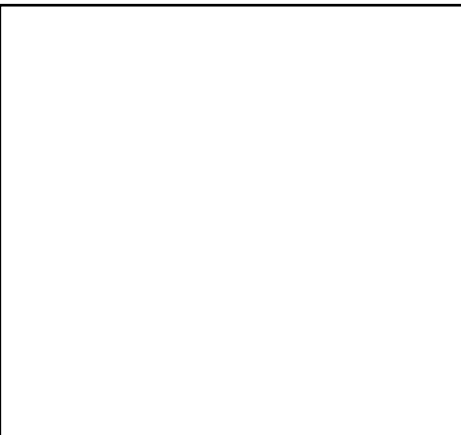
<b>Mesures L - A - G</b>	<b>Pes</b>	<b>Taló</b>	<b>Secció</b>
61 14 4	5.93	I	Trapezoidal

<b>Utilització</b>	
--------------------	--

Arxiu



Dibuix



Observacions

La pieza posee una pátina dominante que impide su análisis total, sin embargo, un porcentaje mínimo de ella carece de pátina, por lo que se ha hecho la descripción a partir de esa fracción. Se trata de un sílex translúcido con fragmentos de óxido de hierro y posibles pseudomorfos lenticulares de yeso. (Foto: GN635\_1)

**N. Inventari****N. referència**

6

GN/632a// Remonta con GN/632b

**Jaciment**

Cova de la Guineu

**T. Sílex****Dist. color****Pàtina****% Pàtina**

Continental

Bandejada

Sense

**Transparència****Mida gra****Textura**

Opac/Transp

Fi

Heterogènia

**Superfície****Aptitud de talla** Mudstone

Llisa

Alta

 Wackestone**Obs.** Packstone Grainstone

Anillos de Liesegang

**Mesures L - A - G****Pes****Taló****Secció**

105

24

6

19.60

I

Trapezoidal

**Utilització****Còrtex****Tipo****Rodament****Litologia****Contacte**

CM

P

ER

Calcàrica

Net

**Inclusions**

- Óx. metàlics  
 Gr. hematites  
 Dend. pirolusita  
 Romboedros dolomita  
 Pseud. len. yeso  
 Cuarzo detrític  
 Recristalizaciones  
 Rel. micrita  
 Rel. inertita  
 Rel. ca  
 Mosaics de macroquars

**Fossils**

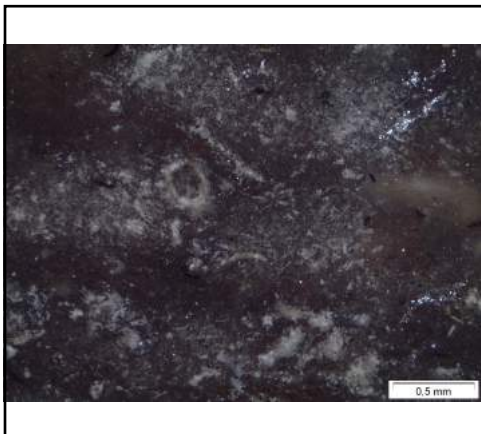
- Moluscos  
 Bivalbas  
 Braquiópodos  
 Gasterópodos  
 Poríferos  
 Equinoideos  
 Algas verdes  
 Algas rojas  
 Algas carofíceas  
 Ostrácodos  
 Foraminíferos  
 Briozoos
- Anélidos  
 Incertae Sedis  
 Rotalina  
 Bioclastos indet.  
 Espícules  
 Dinoflagelados

**Alteracions tèrmiques****Fractures****Concreció**

Sense

Sense fractures

No

**Arxiu****Dibuix****Observacions**

Sílex lacustre con anillos de Liesegang. Se compone de posibles bioclastos indeterminados y hay ausencia de óxidos de hierro.

Aparente tallo longitudinal (Foto: GN632a\_3) y posibles secciones transversales (Foto: GN632a\_1; GN632a\_2 ) de algas carofíceas.

N. Inventari

N. referència

7

GN/632b // Remonta con GN/632a

Jaciment

Cova de la Guineu

T. Sílex

Dist. color

Pàtina

% Pàtina

Continental

Bandejada

Sense

Transparència

Mida gra

Textura

Opac/Transp

Fi

Heterogènia

Superfície

Aptitud de talla

 Mudstone

Llisa

Alta

 Wackestone

Obs.

 Packstone Grainstone

Anillos de Liesegang

Mesures L - A - G

Pes

Taló

Secció

51

14

9

5.44

Sense

Mixta

Utilització

Còrtex

Tipo

Rodament

Litologia

Contacte

CM

P

ER

Calcàrica

Net

Inclusions

Fossils

- Óx. metàlics  
 Gr. hematites  
 Dend. pirolusita  
 Romboedros dolomita  
 Pseud. len. yeso  
 Cuarzo detrític  
 Recristalizaciones  
 Rel. micrita  
 Rel. inertita  
 Rel. ca  
 Mosaics de macroquars

- Moluscos  
 Bivalbas  
 Braquiópodos  
 Gasterópodos  
 Poríferos  
 Equinoideos  
 Algas verdes  
 Algas rojas  
 Algas carofíceas  
 Ostrácodos  
 Foraminíferos  
 Briozoos
- Anélidos  
 Incertae Sedis  
 Rotalina  
 Bioclastos indet.  
 Espículas  
 Dinoflagelados

Alteracions tèrmiques

Fractures

Concreció

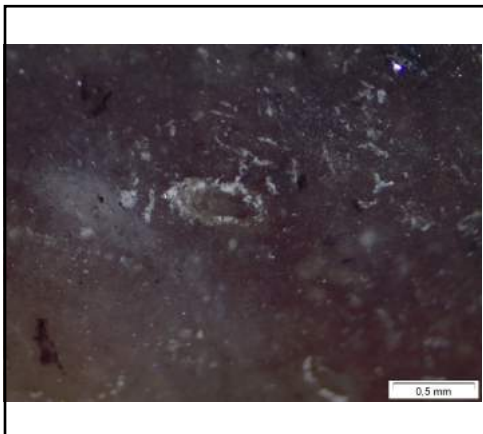
Sense

Sense fractures

No

Arxiu

Dibuix



Observacions

Sílex lacustre compuesto por posibles secciones de bioclastos (Foto: GN632b\_3), gasterópodos (Foto: GN632b\_1) y algas carofíceas (Foto: GN632b\_2).

Ausencia de óxidos de Hierro.

Remonta con el nº de inventario 6

**N. Inventari****N. referència**

8

GN/637a//C.G.3// Remonta con GN/637b

**Jaciment**

Cova de la Guineu

**T. Sílex****Dist. color****Pàtina****% Pàtina**

Indeterminado

Irregular

Sense

**Transparència****Mida gra****Textura**

Opac/Transp

Gruixut

Heterogènia

**Superfície****Aptitud de talla** Mudstone

Rugosa

Alta

 Wackestone**Obs.** Packstone Grainstone

¿Sílex Collorgues?

**Mesures L - A - G****Pes****Taló****Secció**

47

16

4

3.94

Sense

Triangular

**Utilització****Còrtex****Tipo****Rodament****Litologia****Contacte**

NC

**Inclusions**

- Óx. metàlics  
 Gr. hematites  
 Dend. pirolusita  
 Romboedros dolomita  
 Pseud. len. yeso  
 Cuarzo detrític  
 Recristalizaciones  
 Rel. micrita  
 Rel. inertita  
 Rel. ca  
 Mosaics de macroquars

**Fossils**

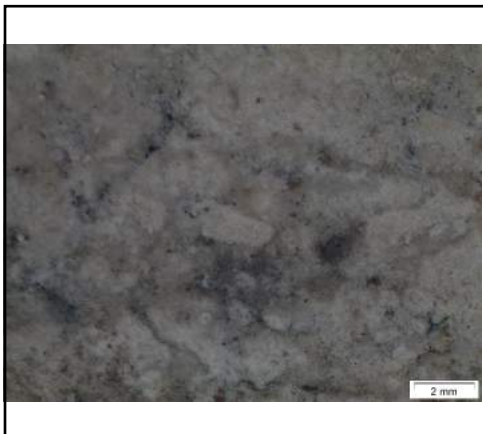
- Moluscos  
 Bivalbas  
 Braquiópodos  
 Gasterópodos  
 Poríferos  
 Equinoideos  
 Algas verdes  
 Algas rojas  
 Algas carofíceas  
 Ostrácodos  
 Foraminíferos  
 Briozoos
- Anélidos  
 Incertae Sedis  
 Rotalina  
 Bioclastos indet.  
 Espícules  
 Dinoflagelados

**Alteracions tèrmiques****Fractures****Concreció**

Sense

Sense fractures

No

**Arxiu****Dibuix****Observacions**

Puede tratarse de una pieza fabricada en un sílex Collorgues.  
 Se observan fragmentos de óxido de hierro (Foto: GN637a\_2).  
 Textura brechoide (Foto: GN637a\_1).

N. Inventari

N. referència

9

GN/637b//C.G.3// Remonta con GN/637a

Jaciment

Cova de la Guineu

T. Sílex

Dist. color

Pàtina

% Pàtina

Indeterminado

Irregular

Sense

Transparència

Mida gra

Textura

Opac/Transp

Gruixut

Heterogènia

Superfície

Aptitud de talla

 Mudstone

Rugosa

Alta

 Wackestone

Obs.

 Packstone Grainstone

Sílex Collorgues

Mesures L - A - G

Pes

Taló

Secció

62

15

4

5.14

L

Triangular

Utilització

Còrtex

Tipo

Rodament

Litologia

Contacte

NC

Inclusions

- Óx. metàlics  
 Gr. hematites  
 Dend. pirolusita  
 Romboedros dolomita  
 Pseud. len. yeso  
 Cuarzo detrític  
 Recristalizaciones  
 Rel. micrita  
 Rel. inertita  
 Rel. ca  
 Mosaics de macroquars

Fossils

- Moluscos  
 Bivalbas  
 Braquiópodos  
 Gasterópodos  
 Poríferos  
 Equinoideos  
 Algas verdes  
 Algas rojas  
 Algas carofíceas  
 Ostrácodos  
 Foraminíferos  
 Briozoos
- Anélidos  
 Incertae Sedis  
 Rotalina  
 Bioclastos indet.  
 Espícules  
 Dinoflagelados

Alteracions tèrmiques

Fractures

Concreció

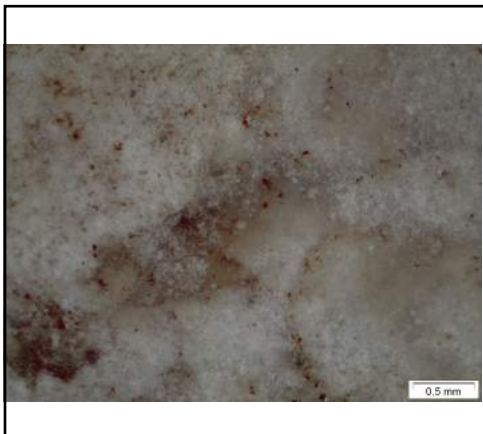
Sense

Sense fractures

No

Arxiu

Dibuix



Observacions

Puede tratarse de una pieza fabricada en un sílex COLLORGUES.  
 Se observan fragmentos de óxido de hierro.  
 Textura brechoide.

**N. Inventari**

10

**N. referència**

GN/633a// Remonta con GN/633b

**Jaciment**

Cova de la Guineu

**T. Sílex**

Indeterminado

**Dist. color**

Irregular

**Pàtina**

Sense

**% Pàtina****Transparència**

Opac/Transp

**Mida gra**

Fi

**Textura**

Heterogènia

**Superfície**

Rugosa

**Aptitud de talla**

Alta

**Obs.**

- Mudstone  
 Wackestone  
 Packstone  
 Grainstone

**Mesures L - A - G**

78

18

5

**Pes**

11.43

**Taló**

Sense

**Secció**

Trapezoidal

**Utilització****Còrtex**

NC

**Tipo****Rodament****Litologia****Contacte****Inclusions**

- Óx. metàlics  
 Gr. hematites  
 Dend. pirolusita  
 Romboedros dolomita  
 Pseud. len. yeso  
 Cuarzo detrític  
 Recristalizaciones  
 Rel. micrita  
 Rel. inertita  
 Rel. ca  
 Mosaics de macroquars

**Fossils**

- Moluscos  
 Bivalbas  
 Braquiópodos  
 Gasterópodos  
 Poríferos  
 Equinoideos  
 Algas verdes  
 Algas rojas  
 Algas carofíceas  
 Ostrácodos  
 Foraminíferos  
 Briozoos
- Anélidos  
 Incertae Sedis  
 Rotalina  
 Bioclastos indet.  
 Espícules  
 Dinoflagelados

**Alteracions tèrmiques**

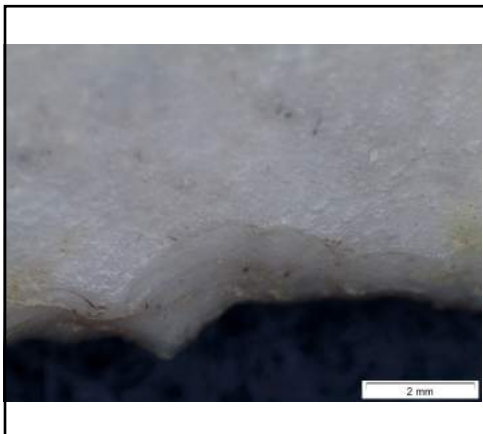
Sense

**Fractures**

Sense fractures

**Concreció**

No

**Arxiu****Dibuix****Observacions**

Se observan elementos que se asemejan a un posible ostrácodo (Fotos: GN633a\_1; GN633a\_2). Además, hay una leve presencia de óxidos de hierro.

Presenta características propias de haber sido pulida en su cara exterior.

**N. Inventari**

11

**N. referència**

GN/633b// Remonta con GN/633a

**Jaciment**

Cova de la Guineu

**T. Sílex**

Indeterminado

**Dist. color**

Irregular

**Pàtina**

Sense

**% Pàtina****Transparència**

Opac/Transp

**Mida gra**

Fi

**Textura**

Heterogènia

**Superfície**

Rugosa

**Aptitud de talla**

Alta

**Obs.**

- Mudstone  
 Wackestone  
 Packstone  
 Grainstone

**Mesures L - A - G**

99

17

7

17.04

**Pes****Taló**

L

**Secció**

Mixta

**Utilització****Arxiu****Dibuix****Còrtex**

NC

**Tipo****Rodament****Litologia****Contacte****Inclusions**

- Óx. metàlics  
 Gr. hematites  
 Dend. pirolusita  
 Romboedros dolomita  
 Pseud. len. yeso  
 Cuarzo detrític  
 Recristalizaciones  
 Rel. micrita  
 Rel. inertita  
 Rel. ca  
 Mosaics de macroquars

**Fossils**

- Moluscos  
 Bivalbas  
 Braquiópodos  
 Gasterópodos  
 Poríferos  
 Equinoideos  
 Algas verdes  
 Algas rojas  
 Algas carofíceas  
 Ostrácodos  
 Foraminíferos  
 Briozoos
- Anélidos  
 Incertae Sedis  
 Rotalina  
 Bioclastos indet.  
 Espículas  
 Dinoflagelados

**Alteracions tèrmiques**

Sense

**Fractures**

Sense fractures

**Concreció**

No

**Observacions**

Hay presencia de posibles elementos bioclásticos que no se pueden determinar (Foto GN633b\_1; GN633b\_2). Además, posee un leve contenido de óxidos de hierro que le brindan un color anaranjado a la pieza.

<b>N. Inventari</b>	<b>N. referència</b>
12	GN/638

<b>Jaciment</b>
Cova de la Guineu

<b>T. Sílex</b>	<b>Dist. color</b>	<b>Pàtina</b>	<b>% Pàtina</b>
Continental	Llisa	Sense	
<b>Transparència</b>	<b>Mida gra</b>	<b>Textura</b>	
Opac/Transp	Fi	Heterogènia	
<b>Superfície</b>	<b>Aptitud de talla</b>	<input checked="" type="checkbox"/> Mudstone <input type="checkbox"/> Wackestone <input type="checkbox"/> Packstone <input type="checkbox"/> Grainstone	
Llisa	Alta		
<b>Obs.</b>			

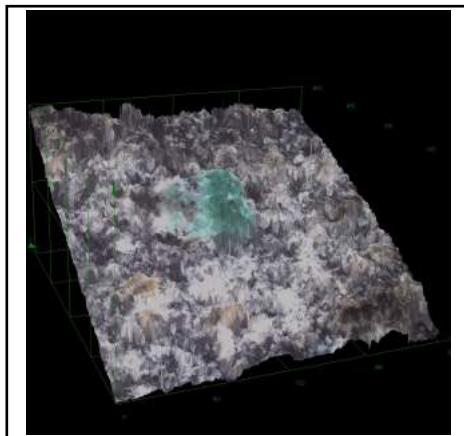
<b>Còrtex</b>	<b>Tipo</b>	<b>Rodament</b>	<b>Litologia</b>	<b>Contacte</b>
CM	P	ER	Calcàrica	Net
<b>Inclusions</b>			<b>Fossils</b>	
<input type="checkbox"/> Óx. metàlics <input type="checkbox"/> Gr. hematites <input type="checkbox"/> Dend. pirolusita <input type="checkbox"/> Romboedros dolomita <input type="checkbox"/> Pseud. len. yeso <input type="checkbox"/> Cuarzo detrític <input type="checkbox"/> Recristalizaciones <input type="checkbox"/> Rel. micrita <input type="checkbox"/> Rel. inertita <input type="checkbox"/> Rel. ca <input type="checkbox"/> Mosaics de macroquars			<input type="checkbox"/> Moluscos <input type="checkbox"/> Bivalbas <input type="checkbox"/> Braquiópodos <input checked="" type="checkbox"/> Gasterópodos <input type="checkbox"/> Poríferos <input type="checkbox"/> Equinoideos <input type="checkbox"/> Algas verdes <input type="checkbox"/> Algas rojas <input checked="" type="checkbox"/> Algas carofíceas <input type="checkbox"/> Ostrácodos <input type="checkbox"/> Foraminíferos <input type="checkbox"/> Briozoos	
<b>Alteracions tèrmiques</b>			<b>Fractures</b>	<b>Concreció</b>
Llustre tèrmic, cúpula i			Sense fractures	Sí

<b>Mesures L - A - G</b>	<b>Pes</b>	<b>Taló</b>	<b>Secció</b>
94 16 3	7.60	I	Trapezoidal

<b>Utilització</b>	
--------------------	--

Arxiu

Dibuix



Observacions

En el còrtex se observan posibles secciones de gasterópodo (Foto: GN638\_1), bioclastos (Foto: GN638\_4) y de algas carofíceas (Foto: GN638\_2).  
 Cara exterior pulimentada (Foto: GN638\_3)  
 En cuanto a la materia sílicea, no se distinguen elementos que destaquen. Sin embargo, posee un ligero componente de micrita (por lo que se le considera un Mudstone).  
 Se observa una traza de color verde del que se desconoce su origen (teñido por contacto con algún metal?) (Foto:GN638\_5)

N. Inventari

13

N. referència

GN/08/621

Jaciment

Cova de la Guineu

T. Sílex

Continental

Dist. color

Irregular

Pàtina

Blanca

% Pàtina

Total

Transparència

Opaca

Mida gra

Fi

Textura

Indeterminable

Superfície

Rugosa

Aptitud de talla

Alta

Obs.

¿Posible Wackestone?

 Mudstone Wackestone Packstone Grainstone

Mesures L - A - G

37

23

6

Pes

7.81

Taló

Sense

Secció

Trapezoidal

Utilització

Còrtex

NC

Tipo

Rodament

Litologia

Contacte

Inclusions

- Óx. metàlics  
 Gr. hematites  
 Dend. pirolusita  
 Romboedros dolomita  
 Pseud. len. yeso  
 Cuarzo detrític  
 Recristalizaciones  
 Rel. micrita  
 Rel. inertita  
 Rel. ca  
 Mosaics de macroquars

Fossils

- Moluscos  
 Bivalbas  
 Braquiópodos  
 Gasterópodos  
 Poríferos  
 Equinoideos  
 Algas verdes  
 Algas rojas  
 Algas carofíceas  
 Ostrácodos  
 Foraminíferos  
 Briozoos
- Anélidos  
 Incertae Sedis  
 Rotalina  
 Bioclastos indet.  
 Espícules  
 Dinoflagelados

Alteracions tèrmiques

Sense

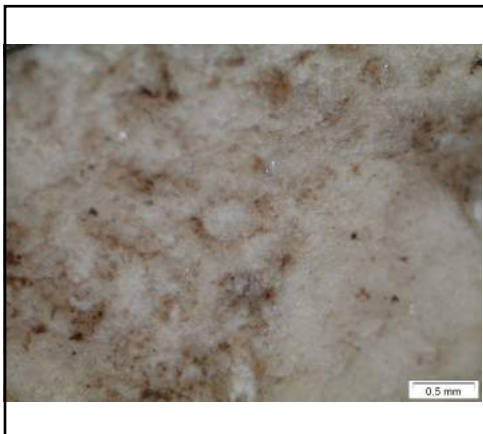
Fractures

Sense fractures

Concreció

Sí

Arxiu



Dibuix



Observacions

Fragmento de lámina de sílex lacustre de textura indeterminable. Se observan algas carofíceas (Foto: GN621\_3) y elementos que recuerdan a posibles ostrácodos (Foto: GN621\_1). Sin embargo, por las características de la pieza es imposible asegurarlo, por lo que son considerados como posibles bioclastos indeterminados (Foto: GN621\_3; GN621\_4).

N. Inventari

14

N. referència

GN/07/881

Jaciment

Cova de la Guineu

T. Sílex

Continental

Dist. color

Bandejada

Pàtina

Blanca

% Pàtina

Dominante

Transparència

Opaca

Mida gra

Fi

Textura

Heterogènia

Superfície

Llisa

Aptitud de talla

Alta

 Mudstone Wackestone Packstone Grainstone

Obs.

Anillos de Liesegang

Mesures L - A - G

61

23

5

Pes

6.99

Taló

Sense

Secció

Trapezoidal

Utilització

Còrtex

CM

Tipo

P

Rodament

ER

Litologia

Calcàrica

Contacte

Net

Inclusions

- Óx. metàlics  
 Gr. hematites  
 Dend. pirolusita  
 Romboedros dolomita  
 Pseud. len. yeso  
 Cuarzo detrític  
 Recristalizaciones  
 Rel. micrita  
 Rel. inertita  
 Rel. ca  
 Mosaics de macroquars

Fossils

- Moluscos  
 Bivalbas  
 Braquiópodos  
 Gasterópodos  
 Poríferos  
 Equinoideos  
 Algas verdes  
 Algas rojas  
 Algas carofíceas  
 Ostrácodos  
 Foraminíferos  
 Briozoos
- Anélidos  
 Incertae Sedis  
 Rotalina  
 Bioclastos indet.  
 Espícules  
 Dinoflagelados

Alteracions tèrmiques

Sense

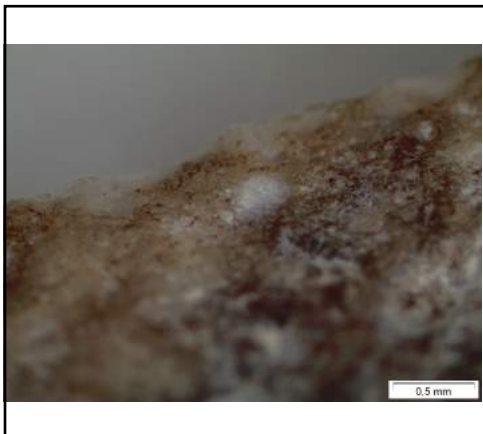
Fractures

Sense fractures

Concreció

No

Arxiu



Dibuix



Observacions

Lámina de sílex muy patinada y con gran cantidad de carófitos. Entre ellos es posible observar los tallos perfectamente redondeados (Foto: GN881\_2), algunas agrupaciones de posibles tallos deformados (Foto: GN881\_3) y un ogóneo (Foto: GN881\_5). Se observa también que la pieza posee un cierto pulimentado en su cara exterior.

Por último, sus características hacen recordar a un sílex FORCALQUIER

N. Inventari

15

N. referència

GN/07/741

Jaciment

Cova de la Guineu

T. Sílex

Continental

Dist. color

Bandejada

Pàtina

Blanca

% Pàtina

Total

Transparència

Opaca

Mida gra

Fi

Textura

Heterogènia

Superfície

Llisa

Aptitud de talla

Alta

Obs.

Anillos de Liesegang

 Mudstone Wackestone Packstone Grainstone

Mesures L - A - G

58

19

3

Pes

5.10

Taló

Sense

Secció

Trapezoidal

Utilització

Còrtex

NC

Tipo

Rodament

Litologia

Contacte

Inclusions

- Óx. metàlics  
 Gr. hematites  
 Dend. pirolusita  
 Romboedros dolomita  
 Pseud. len. yeso  
 Cuarzo detrític  
 Recristalizaciones  
 Rel. micrita  
 Rel. inertita  
 Rel. ca  
 Mosaics de macroquars

Fossils

- Moluscos  
 Bivalbas  
 Braquiópodos  
 Gasterópodos  
 Poríferos  
 Equinoideos  
 Algas verdes  
 Algas rojas  
 Algas carofíceas  
 Ostrácodos  
 Foraminíferos  
 Briozoos
- Anélidos  
 Incertae Sedis  
 Rotalina  
 Bioclastos indet.  
 Espícules  
 Dinoflagelados

Alteracions tèrmiques

Sense

Fractures

Sense fractures

Concreció

No

Arxiu



Dibuix



Observacions

Fragmento de lámina de sílex lacustre (presencia de anillos de Liesegang (Foto: GN741\_6)) con pátina blanca total profunda. A pesar de su condición, es posible observar algunos elementos que recuerdan a algas carofíceas (Foto: GN741\_4) y secciones de ostrácodos (Foto: GN741\_3). Además, se visualizan algunos óxidos ferrosos (Foto: GN741\_5).

En cuanto a su apariencia, llama la atención un leve brillo de su cara exterior, por lo que se cree que se trata de un pieza pulimentada (Foto: GN741\_1)

Podría tratarse de un SÍLEX FORCALQUIER

¿Relación con GN/07/874?

N. Inventari

16

N. referència

GN/07/874

Jaciment

Cova de la Guineu

T. Sílex

Continental

Dist. color

Bandejada

Pàtina

Blanca

% Pàtina

Total

Transparència

Opaca

Mida gra

Fi

Textura

Heterogènia

Superfície

Llisa

Aptitud de talla

Alta

Obs.

Anillos de Liesegang

 Mudstone Wackestone Packstone Grainstone

Mesures L - A - G

26

18

3

Pes

2.16

Taló

Sense

Secció

Trapezoidal

Utilització

Còrtex

NC

Tipo

Rodament

Litologia

Contacte

Inclusions

- Óx. metàlics  
 Gr. hematites  
 Dend. pirolusita  
 Romboedros dolomita  
 Pseud. len. yeso  
 Cuarzo detrític  
 Recristalizaciones  
 Rel. micrita  
 Rel. inertita  
 Rel. ca  
 Mosaics de macroquars

Fossils

- Moluscos  
 Bivalbas  
 Braquiópodos  
 Gasterópodos  
 Poríferos  
 Equinoideos  
 Algas verdes  
 Algas rojas  
 Algas carofíceas  
 Ostrácodos  
 Foraminíferos  
 Briozoos
- Anélidos  
 Incertae Sedis  
 Rotalina  
 Bioclastos indet.  
 Espícules  
 Dinoflagelados

Alteracions tèrmiques

Sense

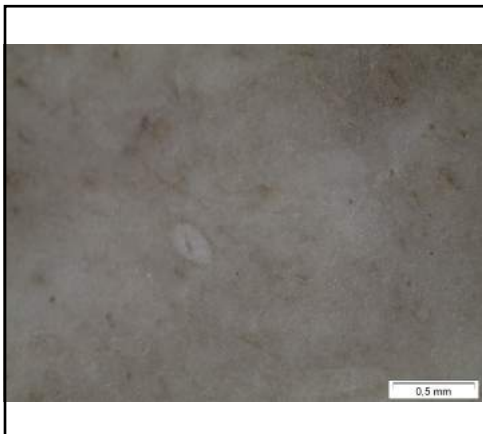
Fractures

Sense fractures

Concreció

Sí

Arxiu



Dibuix



Observacions

Fragmento medial de lámina de sílex lacustre (presencia de anillos de Liesegang (Foto:GN874\_1)) con pátina blanca total profunda. Sin embargo, a pesar de su condición, es posible presenciar algunos elementos que recuerdan a algas carofíceas (Foto: GN874\_3; GN874\_5) y elementos bioclásticos indeterminados (Foto: GN874\_2).

Por el brillo de su superficie, se cree que podría tratarse de una pieza pulimentada (Foto: GN874\_4). Por último, por sus características, se cree que podría tratarse de un SÍLEX FORCALQUIER

¿Relación con GN/07/741?

N. Inventari

17

N. referència

GN/91/335 // GN'91/20-VII/Nivel:IB/Q:F7/n.335

Jaciment

Cova de la Guineu

T. Sílex

Dist. color

Pàtina

% Pàtina

Indeterminado

Llisa

Sense

Transparència

Opaca

Mida gra

Fi

Textura

Heterogènia

Superfície

Llisa

Aptitud de talla

Alta

Obs.

- Mudstone  
 Wackestone  
 Packstone  
 Grainstone

Mesures L - A - G

Pes

Taló

Secció

61

27

6

8.04

Romboidal

Utilització

Còrtex

CM

Tipo

P

Rodament

ER

Litologia

Calcàrica

Contacte

Net

Inclusions

- Óx. metàlics  
 Gr. hematites  
 Dend. pirolusita  
 Romboedros dolomita  
 Pseud. len. yeso  
 Cuarzo detrític  
 Recristalizaciones  
 Rel. micrita  
 Rel. inertita  
 Rel. ca  
 Mosaics de macroquars

Fossils

- Moluscos  
 Bivalbas  
 Braquiòpodos  
 Gasteròpodos  
 Poríferos  
 Equinoideos  
 Algas verdes  
 Algas rojas  
 Algas carofíceas  
 Ostrácodos  
 Foraminíferos  
 Briozoos
- Anélidos  
 Incertae Sedis  
 Rotalina  
 Bioclastos indet.  
 Espícules  
 Dinoflagelados

Alteracions tèrmiques

Llustre tèrmic

Fractures

Sense fractures

Concreció

Sí

Arxiu

Dibuix



Observacions

Punta foliácea de sílex con presencia de posibles elementos bioclásticos (indet.) (Foto: GN335\_1) y elementos que parecen ser romboedros de dolomita (Foto: GN335\_7) Se observan también algunas trazas de óxidos de hierro (Foto: GN335\_5) y de un posible metal de color verde (Foto: GN335\_6)

<b>N. Inventari</b>	<b>N. referència</b>
18	GN/E6/167

<b>Jaciment</b>
Cova de la Guineu

<b>T. Sílex</b>	<b>Dist. color</b>	<b>Pàtina</b>	<b>% Pàtina</b>
Indeterminado	Llisa	Blanca	Dominante
<b>Transparència</b>	<b>Mida gra</b>	<b>Textura</b>	
Transparent	Molt fi	Heterogènia	
<b>Superfície</b>	<b>Aptitud de talla</b>	<input checked="" type="checkbox"/> Mudstone	
Llisa	Molt alta	<input type="checkbox"/> Wackestone	
<b>Obs.</b>		<input type="checkbox"/> Packstone	
Sílex de plaqueta			
		<input type="checkbox"/> Grainstone	

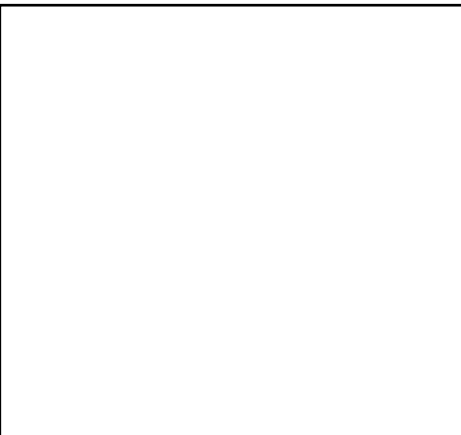
<b>Còrtex</b>	<b>Tipo</b>	<b>Rodament</b>	<b>Litologia</b>	<b>Contacte</b>
CD	P	NR	Calcària	Net
<b>Inclusions</b>		<b>Fossils</b>		
<input type="checkbox"/> Óx. metàlics <input type="checkbox"/> Gr. hematites <input type="checkbox"/> Dend. pirolusita <input type="checkbox"/> Romboedros dolomita <input type="checkbox"/> Pseud. len. yeso <input type="checkbox"/> Cuarzo detrític <input type="checkbox"/> Recristalizaciones <input type="checkbox"/> Rel. micrita <input type="checkbox"/> Rel. inertita <input type="checkbox"/> Rel. ca <input type="checkbox"/> Mosaics de macroquars		<input type="checkbox"/> Moluscos <input type="checkbox"/> Bivalbas <input type="checkbox"/> Braquiópodos <input type="checkbox"/> Gasterópodos <input type="checkbox"/> Poríferos <input type="checkbox"/> Equinoideos <input type="checkbox"/> Algas verdes <input type="checkbox"/> Algas rojas <input type="checkbox"/> Algas carofíceas <input type="checkbox"/> Ostrácodos <input type="checkbox"/> Foraminíferos <input type="checkbox"/> Briozoos		
<b>Alteracions tèrmiques</b>		<b>Fractures</b>	<b>Concreció</b>	
Sense		Sense fractures	Sí	

<b>Mesures L - A - G</b>	<b>Pes</b>	<b>Taló</b>	<b>Secció</b>
58 33 7	15.03	Sense	Plana

<b>Utilització</b>	
--------------------	--

Arxiu

Dibuix



Observacions

Sílex en plaqueta. Còrtex calizo dominante, con aspecto gresoso. La masa silíceas es de color grisácea y presenta elementos que podrían ser materiales orgánicos (Foto: GN167\_1; GN167\_3). Se observa también una traza de color roja cerca de uno de los filos de la pieza (GN167\_4) (¿Podría ser un óx. de hierro? DETERMINADO) Según artículo de Vaquer (L'utilisation du sílex en plaquette dans le Néolithique final et le Chalcolithique du sud du çMassif Central aux Pyrénées), la masa silíceas correspondería al sílex en plaqueta del Grupo A.

GRUPO A

N. Inventari

19

N. referència

GN/E6/171

Jaciment

Cova de la Guineu

T. Sílex

Dist. color

Pàtina

% Pàtina

Indeterminado

Llisa

Blanca

Dominante

Transparència

Mida gra

Textura

Transparent

Molt fi

Heterogènia

Superfície

Aptitud de talla

 Mudstone

Llisa

Alta

 Wackestone

Obs.

 Packstone Grainstone

Sílex en plaqueta

Mesures L - A - G

Pes

Taló

Secció

65

35

6

11.33

Sense

Plana

Utilització

Còrtex

Tipo

Rodament

Litologia

Contacte

CD

P

NR

Calcària

Net

Inclusions

Fossils

- Óx. metàlics  
 Gr. hematites  
 Dend. pirolusita  
 Romboedros dolomita  
 Pseud. len. yeso  
 Cuarzo detrític  
 Recristalizaciones  
 Rel. micrita  
 Rel. inertita  
 Rel. ca  
 Mosaics de macroquars

- Moluscos  
 Bivalbas  
 Braquiópodos  
 Gasterópodos  
 Poríferos  
 Equinoideos  
 Algas verdes  
 Algas rojas  
 Algas carofíceas  
 Ostrácodos  
 Foraminíferos  
 Briozoos
- Anélidos  
 Incertae Sedis  
 Rotalina  
 Bioclastos indet.  
 Espículas  
 Dinoflagelados

Alteracions tèrmiques

Fractures

Concreció

Sense

Sense fractures

Sí

Arxiu

Dibuix



Observacions

Sílex en plaqueta que coincide con la pieza GN167. El córtex es de caliza marronosa y gresosa, con mínimas concentraciones de materias orgánicas (carbón?) (Foto: GN171\_5), mientras que la masa silíceas es de grano fino, de color gris y posee un bajo porcentaje de materia orgánica. (Foto: GN171\_1; GN171\_4).

Además, la pieza cuenta con playas de óxidos ferrosos (Foto: GN171\_2) y óxidos de hierro aislados (Foto: GN171\_3).

Al igual que la pieza anterior, posee un cierto brillo en la superficie que podría ser el efecto de una alteración térmica.

GRUPO A

**N. Inventari**

20

**N. referència**

GN/663

**Jaciment**

Cova de la Guineu

**T. Sílex**

Continental

**Dist. color**

Llisa

**Pàtina**

Sense

**% Pàtina****Transparència**

Transparent

**Mida gra**

Molt fi

**Textura**

Heterogènia

**Superfície**

Llisa

**Aptitud de talla**

Molt alta

**Obs.**

- Mudstone  
 Wackestone  
 Packstone  
 Grainstone

**Mesures L - A - G**

26

22

6

**Pes**

2.87

**Taló**

Sense

**Secció**

Romboidal

**Utilització****Arxiu****Dibuix****Observacions**

Punta de pedúnculo y aleta de sílex.  
 Presenta inclusiones de óxido de hierro (Foto: GN663\_1; GN663\_3) y pseudomorfos lenticulares de yeso.  
 Se observa un lustre que podría deberse a un tratamiento térmico (Foto: GN663\_2)

**Còrtex**

NC

**Tipo****Rodament****Litologia****Contacte****Inclusions**

- Óx. metàlics  
 Gr. hematites  
 Dend. pirolusita  
 Romboedros dolomita  
 Pseud. len. yeso  
 Cuarzo detrític  
 Recristalizaciones  
 Rel. micrita  
 Rel. inertita  
 Rel. ca  
 Mosaics de macroquars

**Fossils**

- Moluscos  
 Bivalbas  
 Braquiópodos  
 Gasterópodos  
 Poríferos  
 Equinoideos  
 Algas verdes  
 Algas rojas  
 Algas carofíceas  
 Ostrácodos  
 Foraminíferos  
 Briozoos
- Anélidos  
 Incertae Sedis  
 Rotalina  
 Bioclastos indet.  
 Espícules  
 Dinoflagelados

**Alteracions tèrmiques**

Llustre tèrmic

**Fractures**

Sense fractures

**Concreció**

No

**N. Inventari**

21

**N. referència**

GN"1"//Rx'89, Fragment làmina, 23/VII

**Jaciment**

Cova de la Guineu

**T. Sílex**

Continental

**Dist. color**

Irregular

**Pàtina**

Blanca

**% Pàtina**

Marginal

**Transparència**

Transparent

**Mida gra**

Fi

**Textura**

Heterogènia

**Superfície**

Rugosa

**Aptitud de talla**

Alta

**Obs.**

- Mudstone  
 Wackestone  
 Packstone  
 Grainstone

**Mesures L - A - G**

29

11

5

**Pes**

2.01

**Taló**

Sense

**Secció**

Mixta

**Utilització****Arxiu****Dibuix****Observacions**

Fragmento de lámina de sílex evaporítico que presenta inclusiones de pseudomorfos lenticulares de yeso (Foto: GN1\_1) y agrupaciones de óxidos de hierro, dándole a la pieza un color rojizo.

**Còrtex**

NC

**Tipo****Rodament****Litologia****Contacte****Inclusions**

- Óx. metàlics  
 Gr. hematites  
 Dend. pirolusita  
 Romboedros dolomita  
 Pseud. len. yeso  
 Cuarzo detrític  
 Recristalizaciones  
 Rel. micrita  
 Rel. inertita  
 Rel. ca  
 Mosaics de macroquars

**Fossils**

- Moluscos  
 Bivalbas  
 Braquiópodos  
 Gasterópodos  
 Poríferos  
 Equinoideos  
 Algas verdes  
 Algas rojas  
 Algas carofíceas  
 Ostrácodos  
 Foraminíferos  
 Briozoos
- Anélidos  
 Incertae Sedis  
 Rotalina  
 Bioclastos indet.  
 Espícules  
 Dinoflagelados

**Alteracions tèrmiques**

Sense

**Fractures**

Sense fractures

**Concreció**

No

**N. Inventari**

22

**N. referència**

GN960//GN'13,21/IX, Nivell "Terres", Q:05

**Jaciment**

Cova de la Guineu

**T. Sílex**

Indeterminabl

**Dist. color**

Irregular

**Pàtina**

Blanca

**% Pàtina**

Total

**Transparència**

Opaca

**Mida gra**

Fi

**Textura**

Indeterminable

**Superfície**

Rugosa

**Aptitud de talla**

Baixa

**Obs.**

- Mudstone  
 Wackestone  
 Packstone  
 Grainstone

**Mesures L - A - G**

21

11

3

**Pes**

0.61

**Taló**

Sense

**Secció**

Triangular

**Utilització****Còrtex**

NC

**Tipo****Rodament****Litologia****Contacte****Inclusions**

- Óx. metàlics  
 Gr. hematites  
 Dend. pirolusita  
 Romboedros dolomita  
 Pseud. len. yeso  
 Cuarzo detrític  
 Recristalizaciones  
 Rel. micrita  
 Rel. inertita  
 Rel. ca  
 Mosaics de macroquars

**Fossils**

- Moluscos  
 Bivalbas  
 Braquiópodos  
 Gasterópodos  
 Poríferos  
 Equinoideos  
 Algas verdes  
 Algas rojas  
 Algas carofíceas  
 Ostrácodos  
 Foraminíferos  
 Briozoos
- Anélidos  
 Incertae Sedis  
 Rotalina  
 Bioclastos indet.  
 Espícules  
 Dinoflagelados

**Alteracions tèrmiques**

Cúpula i mosaic

**Fractures**

Sense fractures

**Concreció**

Sí

**Arxiu****Dibuix****Observacions**

Fragmento distal de lámina de sílex. Por su alto grado de alteración térmica (presencia de cúpulas, mosaico y pátina blanca total profunda), es imposible determinar el tipo de sílex y la textura del mismo.

**N. Inventari**

23

**N. referència**

GN"2"// GN'89, Rx, 22/VII

**Jaciment**

Cova de la Guineu

**T. Sílex**

Continental

**Dist. color**

Llisa

**Pàtina**

Sense

**% Pàtina****Transparència**

Opac/Transp

**Mida gra**

Fi

**Textura**

Heterogènia

**Superfície**

Llisa

**Aptitud de talla**

Alta

**Obs.**

- Mudstone  
 Wackestone  
 Packstone  
 Grainstone

**Mesures L - A - G**

35

17

3

**Pes**

2.48

**Taló**

Sense

**Secció**

Mixta

**Utilització****Còrtex**

NC

**Tipo****Rodament****Litologia****Contacte****Inclusions**

- Óx. metàlics  
 Gr. hematites  
 Dend. pirolusita  
 Romboedros dolomita  
 Pseud. len. yeso  
 Cuarzo detrític  
 Recristalizaciones  
 Rel. micrita  
 Rel. inertita  
 Rel. ca  
 Mosaics de macroquars

**Fossils**

- Moluscos  
 Bivalbas  
 Braquiópodos  
 Gasterópodos  
 Poríferos  
 Equinoideos  
 Algas verdes  
 Algas rojas  
 Algas carofíceas  
 Ostrácodos  
 Foraminíferos  
 Briozoos
- Anélidos  
 Incertae Sedis  
 Rotalina  
 Bioclastos indet.  
 Espículas  
 Dinoflagelados

**Alteracions tèrmiques**

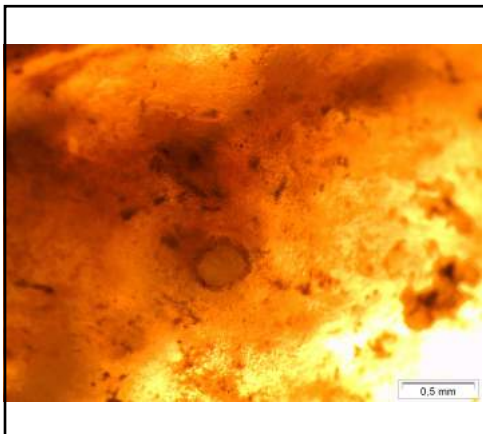
Sense

**Fractures**

Sense fractures

**Concreció**

Sí

**Arxiu****Dibuix****Observacions**

Fragmento de lámina de sílex.  
 Presenta inclusiones de posibles bioclastos indeterminados (Foto: GN2\_1;  
 GN2\_2; GN2\_3)

**N. Inventari**

24

**N. referència**

GN3//GN'89, Rx, 25/VII

**Jaciment**

Cova de la Guineu

**T. Sílex**

Indeterminabl

**Dist. color**

Irregular

**Pàtina**

Blanca

**% Pàtina**

Dominante

**Transparència**

Opac/Transp

**Mida gra**

Fi

**Textura**

Indeterminable

**Superfície**

Rugosa

**Aptitud de talla**

Mitja-baixa

- Mudstone  
 Wackestone  
 Packstone  
 Grainstone

**Obs.****Mesures L - A - G**

34

15

5

**Pes**

2.62

**Taló**

L

**Secció**

Triangular

**Utilització****Arxiu****Dibuix****Observacions**

Fragmento distal de lámina de sílex.  
 Presenta claras evidencias de haber sido alterada térmicamente, pues posee cúpulas y una pátina blanca dominante profunda que impide el correcto análisis de la pieza, razón por la cual es catalogada como sílex indeterminable.

**Còrtex**

CM

**Tipo****Rodament****Litologia****Contacte****Inclusions**

- Óx. metàlics  
 Gr. hematites  
 Dend. pirolusita  
 Romboedros dolomita  
 Pseud. len. yeso  
 Cuarzo detrític  
 Recristalizaciones  
 Rel. micrita  
 Rel. inertita  
 Rel. ca  
 Mosaics de macroquars

**Fossils**

- Moluscos  
 Bivalbas  
 Braquiópodos  
 Gasterópodos  
 Poríferos  
 Equinoideos  
 Algas verdes  
 Algas rojas  
 Algas carofíceas  
 Ostrácodos  
 Foraminíferos  
 Briozoos
- Anélidos  
 Incertae Sedis  
 Rotalina  
 Bioclastos indet.  
 Espículas  
 Dinoflagelados

**Alteracions tèrmiques**

Cúpula

**Fractures**

Sense fractures

**Concreció**

Sí

**N. Inventari**

27

**N. referència**

GN/Rx776

**Jaciment**

Cova de la Guineu

**T. Sílex**

Indeterminado

**Dist. color**

Motejada

**Pàtina**

Blanca

**% Pàtina**

Dominante

**Transparència**

Opac/Transp

**Mida gra**

Fi

**Textura**

Heterogènia

**Superfície**

Rugosa

**Aptitud de talla**

Alta

**Obs.** Mudstone Wackestone Packstone Grainstone**Mesures L - A - G**

79

13

6

**Pes**

8.37

**Taló**

Sense

**Secció**

Triangular

**Utilització****Còrtex**

NC

**Tipo****Rodament****Litologia****Contacte****Inclusions**

- Óx. metàlics  
 Gr. hematites  
 Dend. pirolusita  
 Romboedros dolomita  
 Pseud. len. yeso  
 Cuarzo detrític  
 Recristalizaciones  
 Rel. micrita  
 Rel. inertita  
 Rel. ca  
 Mosaics de macroquars

**Fossils**

- Moluscos  
 Bivalbas  
 Braquiópodos  
 Gasterópodos  
 Poríferos  
 Equinoideos  
 Algas verdes  
 Algas rojas  
 Algas carofíceas  
 Ostrácodos  
 Foraminíferos  
 Briozoos
- Anélidos  
 Incertae Sedis  
 Rotalina  
 Bioclastos indet.  
 Espícules  
 Dinoflagelados

**Alteracions tèrmiques**

Sense

**Fractures**

Sense fractures

**Concreció**

No

**Arxiu****Dibuix****Observacions**

Lámina de sílex indeterminado. Posee pátina blanca dominante profunda que le da a la pieza un aspecto pseudo brechoide.  
 Además, presenta inclusiones de óxidos de hierro (Foto: GN776\_1)

<b>N. Inventari</b>	<b>N. referència</b>
26	GN"4"// SIN REFERENCIA

<b>Jaciment</b>
Cova de la Guineu

<b>T. Sílex</b>	<b>Dist. color</b>	<b>Pàtina</b>	<b>% Pàtina</b>
Continental	Bandejada	Sense	
<b>Transparència</b>	<b>Mida gra</b>	<b>Textura</b>	
Opaca	Fi	Heterogènia	
<b>Superfície</b>	<b>Aptitud de talla</b>	<input checked="" type="checkbox"/> Mudstone	
Rugosa	Alta	<input type="checkbox"/> Wackestone	
<b>Obs.</b>		<input type="checkbox"/> Packstone	
Anillos de Liesegang			
		<input type="checkbox"/> Grainstone	

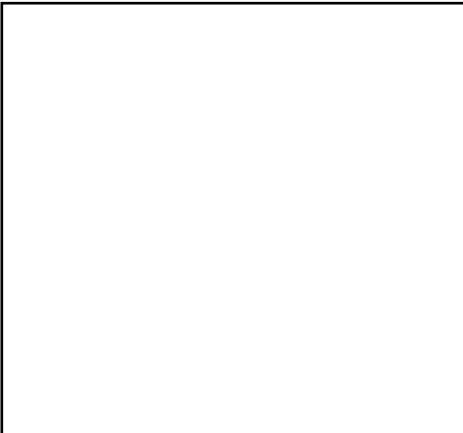
<b>Còrtex</b>	<b>Tipo</b>	<b>Rodament</b>	<b>Litologia</b>	<b>Contacte</b>
MC	P	ER	Calcàrica	Difús
<b>Inclusions</b>		<b>Fossils</b>		
<input type="checkbox"/> Óx. metàlics <input type="checkbox"/> Gr. hematites <input type="checkbox"/> Dend. pirolusita <input type="checkbox"/> Romboedros dolomita <input type="checkbox"/> Pseud. len. yeso <input type="checkbox"/> Cuarzo detrític <input type="checkbox"/> Recristalizaciones <input type="checkbox"/> Rel. micrita <input type="checkbox"/> Rel. inertita <input type="checkbox"/> Rel. ca <input type="checkbox"/> Mosaics de macroquars		<input type="checkbox"/> Moluscos <input type="checkbox"/> Bivalbas <input type="checkbox"/> Braquiópodos <input type="checkbox"/> Gasterópodos <input type="checkbox"/> Poríferos <input type="checkbox"/> Equinoideos <input type="checkbox"/> Algas verdes <input type="checkbox"/> Algas rojas <input checked="" type="checkbox"/> Algas carofíceas <input type="checkbox"/> Ostrácodos <input type="checkbox"/> Foraminíferos <input type="checkbox"/> Briozoos		
<b>Alteracions tèrmiques</b>		<b>Fractures</b>	<b>Concreció</b>	
Sense		Sense fractures	Sí	

<b>Mesures L - A - G</b>	<b>Pes</b>	<b>Taló</b>	<b>Secció</b>
31 14 3	1.06	Sense	Triangular

<b>Utilització</b>	
--------------------	--

Arxiu

Dibuix



Observacions

Fragmento de lámina distal de sílex lacustre (Posee anillos de Liesegang)  
 Se observan posibles secciones de algas carofíceas (secciones de tallo y ogóneo) (Foto: GN4\_2; GN4\_3)

LA PIEZA NO TENÍA INFORMACIÓN DE REFERENCIA, POR LO QUE SE LE ASIGNÓ EL NÚMERO "4", PERTENECIENTE AL NÚMERO 26 DE ESTE INVENTARIO.

N. Inventari

27

N. referència

MV1882// Caixa 4274//NS/Est 27/ Nivell 4

Jaciment

Cova del Pany

T. Sílex

Continental

Dist. color

Motejada

Pàtina

Sense

% Pàtina

Transparència

Opaca

Mida gra

Fi

Textura

Heterogènia

Superfície

Llisa/Rugosa

Aptitud de talla

Alta

 Mudstone Wackestone Packstone Grainstone

Obs.

Mudstone/wackestone// Anillos de

Mesures L - A - G

119

24

7

Pes

23,57

Taló

L

Secció

Trapezoidal

Utilització

Llustre funcional al extrem distal.

Arxiu



Dibuix



Observacions

Lámina apuntada ligeramente de talón liso. Secciones transversales de carófitos. Secciones de gasterópodos. Textura wackestone. Córtex marginal, escasamente rodado. No presenta pátina. Lustre funcional (en el extremo distal de la cara ventral). Sección de lámina trapezoidal. Retoque simple escaleriforme.  
Lámina completa.

Córtex

CM

Tipo

P

Rodament

ER

Litologia

Contacte

Inclusions

- Óx. metálicos  
 Gr. hematites  
 Dend. pirolusita  
 Romboedros dolomita  
 Pseud. len. yeso  
 Cuarzo detrítico  
 Recristalizaciones  
 Rel. micrita  
 Rel. inertita  
 Rel. ca  
 Mosaics de macroquars

Fossils

- Moluscos  
 Bivalbas  
 Braquiópodos  
 Gasterópodos  
 Poríferos  
 Equinoideos  
 Algas verdes  
 Algas rojas  
 Algas carofíceas  
 Ostrácodos  
 Foraminíferos  
 Briozoos
- Anélidos  
 Incertae Sedis  
 Rotalina  
 Bioclastos indet.  
 Espículas  
 Dinoflagelados

Alteracions tèrmiques

Sense

Fractures

Sense fractures

Concreció

No

N. Inventari

28

N. referència

MV1816// Caixa 4274

Jaciment

Cova del Pany

T. Sílex

Continental

Dist. color

Bandejada

Pàtina

Sense

% Pàtina

Transparència

Transparent

Mida gra

Molt fi

Textura

Homogènia

Superfície

Llisa

Aptitud de talla

Molt alta

Obs.

Estructura allisada (recorda fusta,

- Mudstone  
 Wackestone  
 Packstone  
 Grainstone

Mesures L - A - G

(100)

17

5

Pes

8,64

Taló

Sense

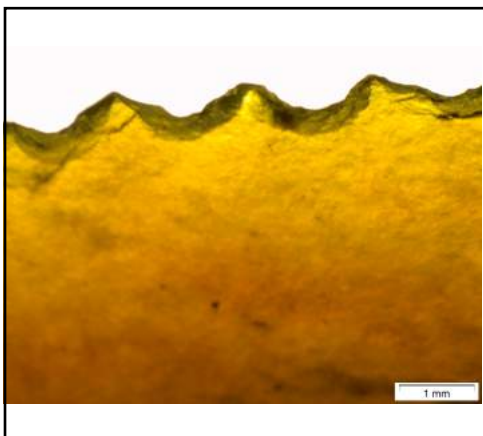
Secció

Triangular

Utilització

Làmina apuntada  
Pulimentada

Arxiu



Dibuix



Observacions

Làmina apuntada. Está fragmentada por la parte proximal. El retoque es simple, marginal y dentado en el filo derecho, de tendencia 'envahissant' en la parte más proximal de filo derecho. El filo izquierdo es simple, muy marginal directo distal y medial.

Sílex homogéneo, no cortical, translúcido sobre la luz de abajo. Textura mudstone. Relictos de óxidos de hierro.

Estructura alisada (recuerda madera, tiene aire FORCALQUIER)

Tiene una fractura. Está remontada.

Còrtex

NC

Tipo

Rodament

Litologia

Contacte

Inclusions

- Óx. metàlics  
 Gr. hematites  
 Dend. pirolusita  
 Romboedros dolomita  
 Pseud. len. yeso  
 Cuarzo detrític  
 Recristalizaciones  
 Rel. micrita  
 Rel. inertita  
 Rel. ca  
 Mosaics de macroquars

Fossils

- Moluscos  
 Bivalbas  
 Braquiópodos  
 Gasterópodos  
 Poríferos  
 Equinoideos  
 Algas verdes  
 Algas rojas  
 Algas carofíceas  
 Ostrácodos  
 Foraminíferos  
 Briozoos
- Anélidos  
 Incertae Sedis  
 Rotalina  
 Bioclastos indet.  
 Espícules  
 Dinoflagelados

Alteracions tèrmiques

Sense

Fractures

Sense fractures

Concreció

No

N. Inventari

29

N. referència

MV1846// Caixa 4274//NS/Est 27/

Jaciment

Molinot

T. Sílex

Marí

Dist. color

Motejada

Pàtina

Sense

% Pàtina

Transparència

Opac/Transp

Mida gra

Molt fi

Textura

Heterogènia

Superfície

Llisa

Aptitud de talla

Molt alta

 Mudstone Wackestone Packstone Grainstone

Obs.

Mesures L - A - G

225

19

10

Pes

33.95

Taló

F

Secció

Trapezoidal

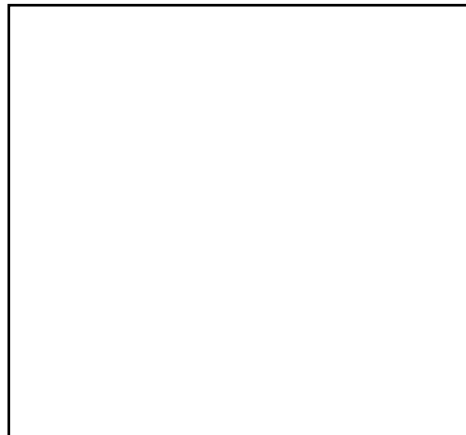
Utilització

Pulimentada. Lustre de cereal

Arxiu



Dibuix



Observacions

Gran lámina apuntada. Talón facetado. Lustre térmico (?). Retoque simple escaleriforme por los dos filos. Lámina trapezoidal. Textura mudstone, óxidos aislados de hematites, relictos de materia orgánica (inertita?). Aspecto butifarra blanca.

Ficha del museo: ganivet d'indústria lítica

Está pulimentada y tiene lustre de cereal.

Fractura antigua, remontada.

Es opaca y translúcida hacia los filos.

No hay elementos minerales que puedan indicar un origen evaporítico, Posiblemente se trata de un sílex marino (dinoflagelado)

Còrtex

NC

Tipo

Rodament

Litologia

Contacte

Inclusions

- Óx. metàlics  
 Gr. hematites  
 Dend. pirolusita  
 Romboedros dolomita  
 Pseud. len. yeso  
 Cuarzo detrític  
 Recristalizaciones  
 Rel. micrita  
 Rel. inertita  
 Rel. ca  
 Mosaics de macroquars

Fossils

- Moluscos  
 Bivalbas  
 Braquiópodos  
 Gasterópodos  
 Poríferos  
 Equinoideos  
 Algas verdes  
 Algas rojas  
 Algas carofíceas  
 Ostrácodos  
 Foraminíferos  
 Briozoos
- Anélidos  
 Incertae Sedis  
 Rotalina  
 Bioclastos indet.  
 Espícules  
 Dinoflagelados

Alteracions tèrmiques

Llustre tèrmic

Fractures

Sense fractures

Concreció

No

<b>N. Inventari</b>	<b>N. referència</b>
30	MV2462// Caixa 4274// M/6/131

<b>Jaciment</b>
Molinot

<b>T. Sílex</b>	<b>Dist. color</b>	<b>Pàtina</b>	<b>% Pàtina</b>
Continental	Zonal	Sense	
<b>Transparència</b>	<b>Mida gra</b>	<b>Textura</b>	
Transparent	Molt fi	Heterogènia	
<b>Superfície</b>	<b>Aptitud de talla</b>	<input checked="" type="checkbox"/> Mudstone	
Llisa	Molt alta	<input type="checkbox"/> Wackestone	
<b>Obs.</b>		<input type="checkbox"/> Packstone	
		<input type="checkbox"/> Grainstone	

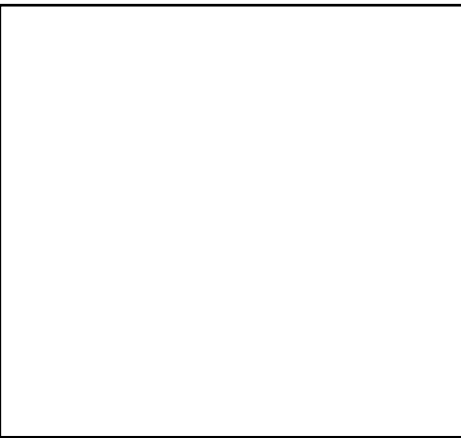
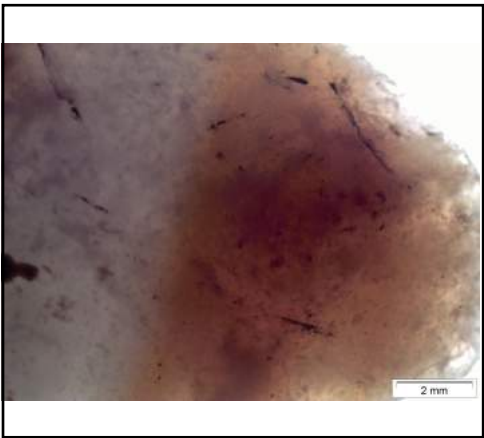
<b>Còrtex</b>	<b>Tipo</b>	<b>Rodament</b>	<b>Litologia</b>	<b>Contacte</b>
NC				
<b>Inclusions</b>		<b>Fossils</b>		
<input type="checkbox"/> Óx. metàlics <input checked="" type="checkbox"/> Gr. hematites <input type="checkbox"/> Dend. pirolusita <input type="checkbox"/> Romboedros dolomita <input checked="" type="checkbox"/> Pseud. len. yeso <input type="checkbox"/> Cuarzo detrític <input type="checkbox"/> Recristalizaciones <input type="checkbox"/> Rel. micrita <input type="checkbox"/> Rel. inertita <input type="checkbox"/> Rel. ca <input type="checkbox"/> Mosaics de macroquars		<input type="checkbox"/> Moluscos <input type="checkbox"/> Bivalbas <input type="checkbox"/> Braquiòpodos <input type="checkbox"/> Gasteròpodos <input type="checkbox"/> Poríferos <input type="checkbox"/> Equinoideos <input type="checkbox"/> Algas verdes <input type="checkbox"/> Algas rojas <input type="checkbox"/> Algas carofíceas <input type="checkbox"/> Ostrácodos <input type="checkbox"/> Foraminíferos <input type="checkbox"/> Briozoos <input type="checkbox"/> Anélidos <input type="checkbox"/> Incertae Sedis <input type="checkbox"/> Rotalina <input type="checkbox"/> Bioclastos indet. <input type="checkbox"/> Espícules <input type="checkbox"/> Dinoflagelados		
<b>Alteracions tèrmiques</b>		<b>Fractures</b>	<b>Concreció</b>	
Llustre tèrmic		Sense fractures	No	

<b>Mesures L - A - G</b>	<b>Pes</b>	<b>Taló</b>	<b>Secció</b>
39 17 5	3.35	Sense	Romboidal

<b>Utilització</b>	Posible lustre por enmangue
--------------------	-----------------------------

Arxiu

Dibuix



Observacions

Punta foliácea bifacial. Retoc plano couvrant. Fractura tèrmica. Óxidos de hematites y lenticulas de yeso.

Posee un lustre sólo en la zona proximal, lo que podría deberse a una adecuación de la pieza para ser enmangada. (Foto macro)

Posee desgaste en los filos cercanos a la punta, no así en la parte proximal.

Tiene una pequeña fractura en la punta. Puede deberse a fractura por impacto.

<b>N. Inventari</b>	<b>N. referència</b>
31	MV1850// M74/1/13

<b>Jaciment</b>
Molinot

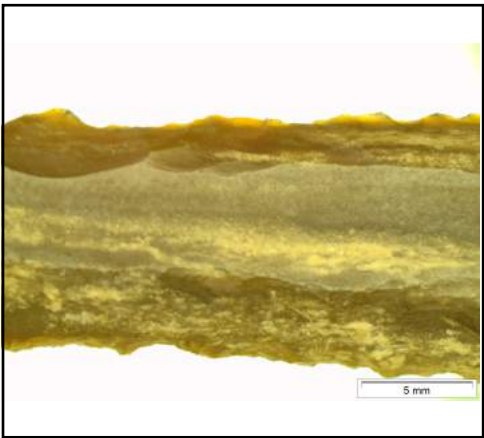
<b>T. Sílex</b>	<b>Dist. color</b>	<b>Pàtina</b>	<b>% Pàtina</b>
Continental	Bandejada	Sense	
<b>Transparència</b>	<b>Mida gra</b>	<b>Textura</b>	
Opac/Transp	Fi	Heterogènia	
<b>Superfície</b>	<b>Aptitud de talla</b>	<input type="checkbox"/> Mudstone <input checked="" type="checkbox"/> Wackestone <input type="checkbox"/> Packstone <input type="checkbox"/> Grainstone	
Llisa/Rugosa	Alta		
<b>Obs.</b>	Anillos de Liesegang		

<b>Còrtex</b>	<b>Tipo</b>	<b>Rodament</b>	<b>Litologia</b>	<b>Contacte</b>
NC				
<b>Inclusions</b>		<b>Fossils</b>		
<input type="checkbox"/> Óx. metàlics <input type="checkbox"/> Gr. hematites <input type="checkbox"/> Dend. pirolusita <input type="checkbox"/> Romboedros dolomita <input type="checkbox"/> Pseud. len. yeso <input type="checkbox"/> Cuarzo detrític <input type="checkbox"/> Recristalizaciones <input type="checkbox"/> Rel. micrita <input type="checkbox"/> Rel. inertita <input checked="" type="checkbox"/> Rel. ca <input type="checkbox"/> Mosaics de macroquars		<input type="checkbox"/> Moluscos <input type="checkbox"/> Bivalbas <input type="checkbox"/> Braquiópodos <input type="checkbox"/> Gasterópodos <input type="checkbox"/> Poríferos <input type="checkbox"/> Equinoideos <input type="checkbox"/> Algas verdes <input type="checkbox"/> Algas rojas <input checked="" type="checkbox"/> Algas carofíceas <input type="checkbox"/> Ostrácodos <input type="checkbox"/> Foraminíferos <input type="checkbox"/> Briozoos		
<b>Alteracions tèrmiques</b>		<b>Fractures</b>	<b>Concreció</b>	
Sense		Sense fractures	No	

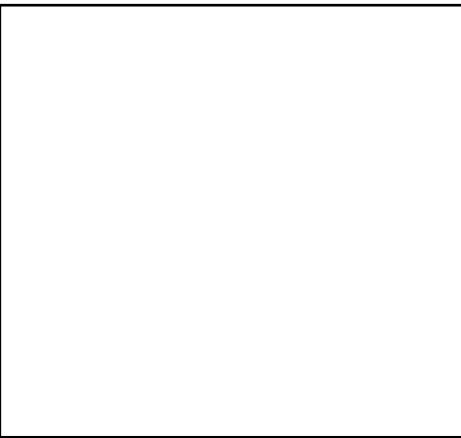
<b>Mesures L - A - G</b>	<b>Pes</b>	<b>Taló</b>	<b>Secció</b>
89 13 5	8,45	Sense	Mixta

<b>Utilització</b>	Pulimentada
--------------------	-------------

Arxiu



Dibuix



Observacions

Lámina fragmentada. Fragmento proximal de sílex FORCALQUIER rubané. Las partes translúcidas presentan una tonalidad y estructura alisada similar a la de la lámina apuntada que hemos visto anteriormente (n. inventario 28)

Lámina fragmentada: es una parte distal.

<b>N. Inventari</b>	<b>N. referència</b>
32	MV1849// M66/107

<b>Jaciment</b>
Molinot

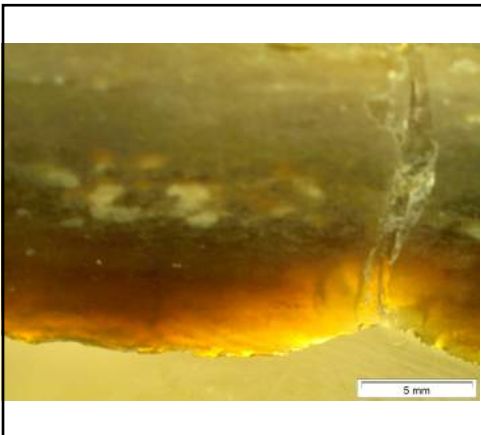
<b>T. Sílex</b>	<b>Dist. color</b>	<b>Pàtina</b>	<b>% Pàtina</b>
Continental	Bandejada	Sense	
<b>Transparència</b>	<b>Mida gra</b>	<b>Textura</b>	
Opac/Transp	Molt fi	Heterogènia	
<b>Superfície</b>	<b>Aptitud de talla</b>	<input checked="" type="checkbox"/> Mudstone	
Llisa	Molt alta	<input type="checkbox"/> Wackestone	
<b>Obs.</b>		<input type="checkbox"/> Packstone	
FORCALQUIER			
		<input type="checkbox"/> Grainstone	

<b>Còrtex</b>	<b>Tipo</b>	<b>Rodament</b>	<b>Litologia</b>	<b>Contacte</b>
NC				
<b>Inclusions</b>		<b>Fossils</b>		
<input type="checkbox"/> Óx. metàlics <input checked="" type="checkbox"/> Gr. hematites <input type="checkbox"/> Dend. pirolusita <input type="checkbox"/> Romboedros dolomita <input type="checkbox"/> Pseud. len. yeso <input type="checkbox"/> Cuarzo detrític <input type="checkbox"/> Recristalizaciones <input type="checkbox"/> Rel. micrita <input type="checkbox"/> Rel. inertita <input checked="" type="checkbox"/> Rel. ca <input type="checkbox"/> Mosaics de macroquars		<input type="checkbox"/> Moluscos <input type="checkbox"/> Bivalbas <input type="checkbox"/> Braquiópodos <input type="checkbox"/> Gasterópodos <input type="checkbox"/> Poríferos <input type="checkbox"/> Equinoideos <input type="checkbox"/> Algas verdes <input type="checkbox"/> Algas rojas <input type="checkbox"/> Algas carofíceas <input type="checkbox"/> Ostrácodos <input type="checkbox"/> Foraminíferos <input type="checkbox"/> Briozoos		
<b>Alteracions tèrmiques</b>		<b>Fractures</b>	<b>Concreció</b>	
Llustre tèrmic		Sense fractures	No	

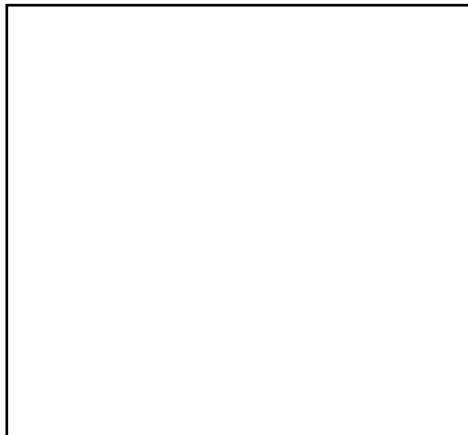
<b>Mesures L - A - G</b>	<b>Pes</b>	<b>Taló</b>	<b>Secció</b>
(74) 18 8	11,74	Sense	Trapezoidal

<b>Utilització</b>	Pulimentada Posibles trazas de utilización
--------------------	---

Arxiu



Dibuix



Observacions

Fragmento mesial de ge gran lámina.  
 Óxidos aislados de hematites. Textura wackestone (mudstone donde no hay ruban), al igual que la anterior.  
 La lámina presenta un cierto lustre a las partes no retocadas (tèrmico?).  
 Retoque S(a), escaleriforme.

Estructurada laminar (simula a la madera)  
 relictos de carbonato (probablemente micrítico)

Por el aspecto laminado, podemos hablar de FORCALQUIER

Fragmento mesial de lámina.  
 Fragmentada y remontada.

N. Inventari

33

N. referència

MV1848// M66/140//

Jaciment

Molinot

T. Sílex

Dist. color

Pàtina

% Pàtina

Indeterminado

Bandejada

Sense

Transparència

Opaca

Mida gra

Molt fi

Textura

Heterogènia

Superfície

Llisa

Aptitud de talla

Molt alta

 Mudstone Wackestone Packstone Grainstone

Obs.

Làmina andalusa?? turbidífrica??

Mesures L - A - G

Pes

Taló

Secció

(66)

25

9

19,75

I

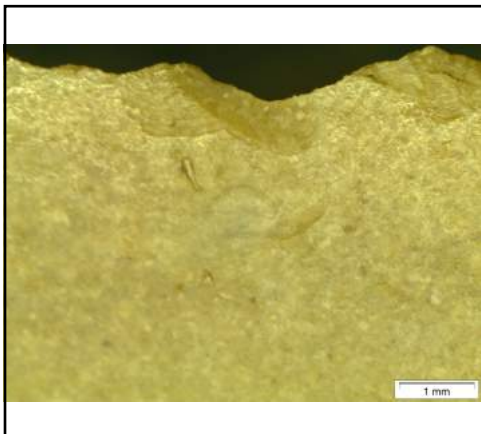
Trapezoidal

Utilització

Pulimentada  
Lustre de cereal

Arxiu

Dibuix



Observacions

Fragmento proximal de lámina trapezoidal. Grano muy fino, textura heterogénea "densa". Estructura laminada de tipos packstone, relictos carbonatados y fragmentos bioclásticos muy abundantes, posible sección gasterópodo (?), 'tipo desconocido' (lámina andalusa? turbidífrica?)

L:66, A:25, G:9

Retoque simple sobreelevado senestre y retoque simple semiabrupto proximal derecho, tendente a simple, denticulado en la parte distal.

DIBUJO EN LA LIBRETA

Pulimentado tecnológico, estructura laminar  
Determinar el tipo de talón (fotografía adjunta)

Còrtex

NC

Tipo

Rodament

Litologia

Contacte

Inclusions

- Óx. metàlics  
 Gr. hematites  
 Dend. pirolusita  
 Romboedros dolomita  
 Pseud. len. yeso  
 Cuarzo detrític  
 Recristalizaciones  
 Rel. micrita  
 Rel. inertita  
 Rel. ca  
 Mosaics de macroquars

Fossils

- Moluscos  
 Bivalbas  
 Braquiópodos  
 Gasterópodos  
 Poríferos  
 Equinoideos  
 Algas verdes  
 Algas rojas  
 Algas carofíceas  
 Ostrácodos  
 Foraminíferos  
 Briozoos
- Anélidos  
 Incertae Sedis  
 Rotalina  
 Bioclastos indet.  
 Espícules  
 Dinoflagelados

Alteracions tèrmiques

Sense

Fractures

Sense fractures

Concreció

No

**N. Inventari**

34

**N. referència**

MV1867/ P205

**Jaciment**

Cova del Pany

**T. Sílex**

Continental

**Dist. color**

Llisa

**Pàtina**

Sense

**% Pàtina****Transparència**

Transparent

**Mida gra**

Fi

**Textura**

Homogènia

**Superfície**

Llisa

**Aptitud de talla**

Alta

 Mudstone Wackestone Packstone Grainstone**Obs.**

Tipus priorat

**Mesures L - A - G**

70

34

10

**Pes**

26,65

**Taló**

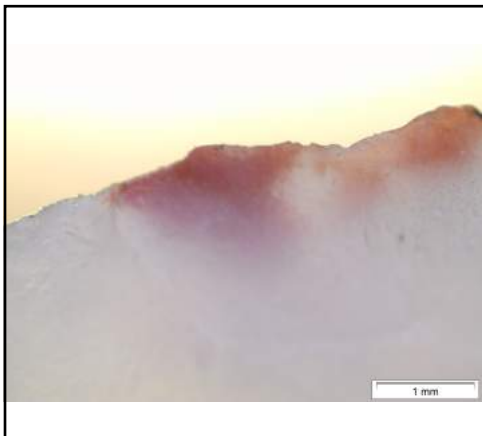
Sense

**Secció**

Romboidal

**Utilització**

pulimentado tecnológico

**Arxiu****Dibuix****Observacions**

Sílex homogéneo, mosaicos de macrocuarzo y manchas aisladas de hematites (Azoico). Tipo priorat (recuerda a)

Punta losángica bifacial de retoque plano (una cara couvrent y la otra en cambio parece envahissant)

**Còrtex**

NC

**Tipo****Rodament****Litologia****Contacte****Inclusions**

- Óx. metàlics
- Gr. hematites
- Dend. pirolusita
- Romboedros dolomita
- Pseud. len. yeso
- Cuarzo detrític
- Recristalizaciones
- Rel. micrita
- Rel. inertita
- Rel. ca
- Mosaics de macroquars

**Fossils**

- Moluscos
- Bivalbas
- Braquiópodos
- Gasterópodos
- Poríferos
- Equinoideos
- Algas verdes
- Algas rojas
- Algas carofíceas
- Ostrácodos
- Foraminíferos
- Briozoos
- Anélidos
- Incertae Sedis
- Rotalina
- Bioclastos indet.
- Espícules
- Dinoflagelados

**Alteracions tèrmiques**

Sense

**Fractures**

Sense fractures

**Concreció**

No

N. Inventari

35

N. referència

MV1843// M66/133

Jaciment

Molinot

T. Sílex

Continental

Dist. color

Irregular

Pàtina

Sense

% Pàtina

Transparència

Opac/Transp

Mida gra

Fi

Textura

Heterogènia

Superfície

Llisa

Aptitud de talla

Molt alta

 Mudstone Wackestone Packstone Grainstone

Obs.

Tipus Garumnià

Mesures L - A - G

32

21

4

Pes

2,28

Taló

Sense

Secció

Romboidal

Utilització

Còrtex

NC

Tipo

Rodament

Litologia

Contacte

Inclusions

- Óx. metàlics  
 Gr. hematites  
 Dend. pirolusita  
 Romboedros dolomita  
 Pseud. len. yeso  
 Cuarzo detrític  
 Recristalizaciones  
 Rel. micrita  
 Rel. inertita  
 Rel. ca  
 Mosaics de macroquars

Fossils

- Moluscos  
 Bivalbas  
 Braquiópodos  
 Gasterópodos  
 Poríferos  
 Equinoideos  
 Algas verdes  
 Algas rojas  
 Algas carofíceas  
 Ostrácodos  
 Foraminíferos  
 Briozoos
- Anélidos  
 Incertae Sedis  
 Rotalina  
 Bioclastos indet.  
 Espícules  
 Dinoflagelados

Alteracions tèrmiques

Sense

Fractures

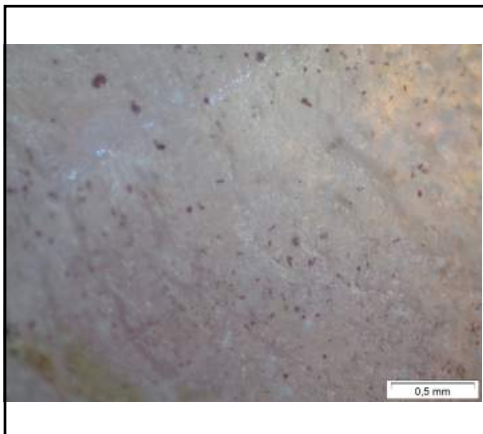
Sense fractures

Concreció

No

Arxiu

Dibuix



Observacions

Sílex heterogèneo. Textura wackestone de grànulos de hematites. Pseudomorfos romboédrics de dolomita?. Sin contenido micropaleontológico. Tipo Garumnià.

L:32, A:21, G:4

F323 [Plan couvrant bifacial]

ES UN FOLIACI AMB PEDUNCLE

N. Inventari N. referència

36

MV1879

Jaciment

Cova del Pany

T. Sílex

Dist. color

Pàtina

% Pàtina

Continental

Bandejada

Blanca

Dominante

Transparència

Mida gra

Textura

Opaca

Fi

Heterogènia

Superfície

Aptitud de talla

Mudstone

Llisa/Rugosa

Alta

Wackestone

Obs.

Packstone

Grainstone

Anillos de liesegang

Mesures L - A - G

Pes

Taló

Secció

68

15

4

6,27

I

Trapezoidal

Utilització

Còrtex

Tipo

Rodament

Litologia

Contacte

NC

Inclusions

- Óx. metàlics
- Gr. hematites
- Dend. pirolusita
- Romboedros dolomita
- Pseud. len. yeso
- Cuarzo detrític
- Recristalizaciones
- Rel. micrita
- Rel. inertita
- Rel. ca
- Mosaics de macroquars

Fossils

- Moluscos
- Anélidos
- Bivalbas
- Incertae Sedis
- Braquiópodos
- Rotalina
- Gasterópodos
- Bioclastos indet.
- Poríferos
- Espícules
- Equinoideos
- Dinoflagelados
- Algas verdes
- Algas rojas
- Algas carofíceas
- Ostrácodos
- Foraminíferos
- Briozoos

Alteracions tèrmiques

Fractures

Concreció

Sense

Sense fractures

No

Arxiu

Dibuix

Observacions

Lámina entera. Talón adelgazado en los dos costados. Sílex heterogéneo, textura wackestone. Posible romboedro calcita.  
 Sílex lacustre. Anillos de Liesegang.  
 Se trata de una lámina retocada por los 4 costados, de retoque simple tendente a sobreelevado.

N. Inventari

37

N. referència

MV1844

Jaciment

Cova del Pany

T. Sílex

Dist. color

Pàtina

% Pàtina

Indeterminado

Irregular

Sense

Transparència

Opac/Transp

Mida gra

Molt fi

Textura

Heterogènia

Superfície

Llisa

Aptitud de talla

Molt alta

Obs.

Sílex blond bedoulien

- Mudstone  
 Wackestone  
 Packstone  
 Grainstone

Mesures L - A - G

Pes

Taló

Secció

65

17

5

5,92

Sense

Trapezoidal

Utilització

Còrtex

NC

Tipo

Rodament

Litologia

Contacte

Inclusions

- Óx. metàlics  
 Gr. hematites  
 Dend. pirolusita  
 Romboedros dolomita  
 Pseud. len. yeso  
 Cuarzo detrític  
 Recristalizaciones  
 Rel. micrita  
 Rel. inertita  
 Rel. ca  
 Mosaics de macroquars

Fossils

- Moluscos  
 Bivalbas  
 Braquiópodos  
 Gasterópodos  
 Poríferos  
 Equinoideos  
 Algas verdes  
 Algas rojas  
 Algas carofíceas  
 Ostrácodos  
 Foraminíferos  
 Briozoos
- Anélidos  
 Incertae Sedis  
 Rotalina  
 Bioclastos indet.  
 Espícules  
 Dinoflagelados

Alteracions tèrmiques

Sense

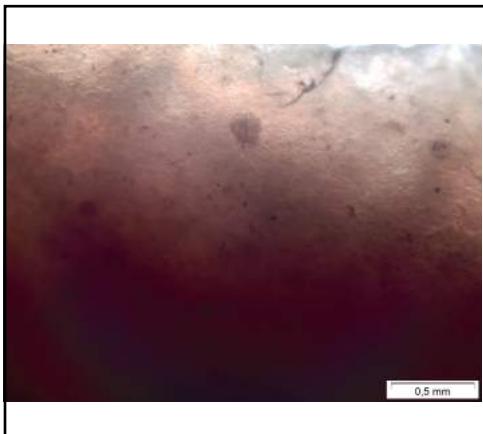
Fractures

Sense fractures

Concreció

No

Arxiu



Dibuix



Observacions

Lámina de sílex apuntada.

Textura heterogènia de tipo mudstone/wackestone.

Distribución de color irregular,  
Posible fragmento de foraminífero (foto).

Vaquer apunta en su inventario que se trata de sílex beduliense no calentado.

Talón eliminado

N. Inventari

38

N. referència

MV1883// P121

Jaciment

Cova del Pany

T. Sílex

Marí

Dist. color

Irregular

Pàtina

Blanca

% Pàtina

Marginal

Transparència

Opaca

Mida gra

Fi

Textura

Heterogènia

Superfície

Llisa/Rugosa

Aptitud de talla

Mitja-alta

 Mudstone Wackestone Packstone Grainstone

Obs.

Sílex amb microperforacions

Mesures L - A - G

107

20

7

Pes

19,99

Taló

P

Secció

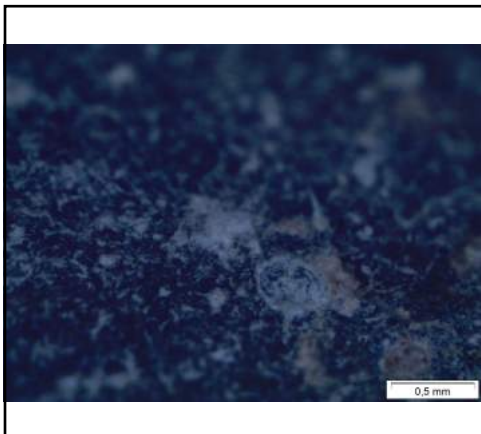
Triangular

Utilització

Retocs d'ús?

Arxiu

Dibuix



Observacions

Fragmento de gran lámina, Talón puntiforme (extracción con punzón metálico (?)) [L:107/A:20/G:7]

Textura wackestone/packstone; numerosos vestigios bioclásticos 'aplastados'. (FOTO)

Posibles foraminíferos (FOTO)

Posibles ostrácodos.

La lámina es de retoque simple marginal, sobreelevado en parte del costado izquierdo y simple marginal en el costado derecho, tiene retoques inversos aislados (uso?) al costat izquierdo.

Presenta algunas microperforaciones en la cara ventral.

Còrtex

NC

Tipo

Rodament

Litologia

Contacte

Inclusions

- Óx. metálicos  
 Gr. hematites  
 Dend. pirolusita  
 Romboedros dolomita  
 Pseud. len. yeso  
 Cuarzo detrítico  
 Recristalizaciones  
 Rel. micrita  
 Rel. inertita  
 Rel. ca  
 Mosaics de macroquars

Fossils

- Moluscos  
 Bivalbas  
 Braquiópodos  
 Gasterópodos  
 Poríferos  
 Equinoideos  
 Algas verdes  
 Algas rojas  
 Algas carofíceas  
 Ostrácodos  
 Foraminíferos  
 Briozoos
- Anélidos  
 Incertae Sedis  
 Rotalina  
 Bioclastos indet.  
 Espículas  
 Dinoflagelados

Alteracions tèrmiques

Sense

Fractures

Sense fractures

Concreció

No

**N. Inventari**

39

**N. referència**

MV1881// P149

**Jaciment**

Cova del Pany

**T. Sílex**

Indeterminabl

**Dist. color**

-

**Pàtina**

-

**% Pàtina**

-

**Transparència**

Opaca

**Mida gra**

Fi

**Textura**

Heterogènia

**Superfície**

Rugosa

**Aptitud de talla**

Alta

- Mudstone  
 Wackestone  
 Packstone  
 Grainstone

**Obs.**

CREMADA

**Mesures L - A - G**

113

19

6

**Pes**

19,48

**Taló**

L

**Secció**

Trapezoidal

**Utilització****Còrtex**

NC

**Tipo****Rodament****Litologia****Contacte****Inclusions**

- Óx. metàlics  
 Gr. hematites  
 Dend. pirolusita  
 Romboedros dolomita  
 Pseud. len. yeso  
 Cuarzo detrític  
 Recristalizaciones  
 Rel. micrita  
 Rel. inertita  
 Rel. ca  
 Mosaics de macroquars

**Fossils**

- Moluscos  
 Bivalbas  
 Braquiópodos  
 Gasterópodos  
 Poríferos  
 Equinoideos  
 Algas verdes  
 Algas rojas  
 Algas carofíceas  
 Ostrácodos  
 Foraminíferos  
 Briozoos
- Anélidos  
 Incertae Sedis  
 Rotalina  
 Bioclastos indet.  
 Espícules  
 Dinoflagelados

**Alteracions tèrmiques**

Llustre tèrmic, cúpula i

**Fractures**

Fissures

**Concreció**

No

**Arxiu****Dibuix****Observacions**

Fragmento proximal de lámina. Talón liso, no cortical. Sección trapezoidal. Está quemada (cúpulas). Lámina de retoque simple bilateral. Retoque tendente a sobreelevado. No se puede identificar.

Al estar quemada no podemos distinguir las características del sílex.

**N. Inventari**

40

**N. referència**

MV1880// P124

**Jaciment**

Cova del Pany

**T. Sílex**

Continental

**Dist. color**

Bandejada

**Pàtina**

Sense

**% Pàtina****Transparència**

Opaca

**Mida gra**

Molt fi

**Textura**

Heterogènia

**Superfície**

Llisa

**Aptitud de talla**

Molt alta

**Obs.**

recorda a Forcalquier

- Mudstone  
 Wackestone  
 Packstone  
 Grainstone

**Mesures L - A - G**

63

14

4

**Pes**

6,00

**Taló**

D

**Secció**

Mixta

**Utilització****Còrtex**

NC

**Tipo****Rodament****Litologia****Contacte****Inclusions**

- Óx. metàlics  
 Gr. hematites  
 Dend. pirolusita  
 Romboedros dolomita  
 Pseud. len. yeso  
 Cuarzo detrític  
 Recristalizaciones  
 Rel. micrita  
 Rel. inertita  
 Rel. ca  
 Mosaics de macroquars

**Fossils**

- Moluscos  
 Bivalbas  
 Braquiópodos  
 Gasterópodos  
 Poríferos  
 Equinoideos  
 Algas verdes  
 Algas rojas  
 Algas carofíceas  
 Ostrácodos  
 Foraminíferos  
 Briozoos
- Anélidos  
 Incertae Sedis  
 Rotalina  
 Bioclastos indet.  
 Espícules  
 Dinoflagelados

**Alteracions tèrmiques**

Sense

**Fractures**

Sense fractures

**Concreció**

No

**Arxiu****Dibuix****Observacions**

Sílex bandeado.  
 Fragmento de lámina proximal. Talón puntiforme diedro.  
 [L:63/A:14/G:4].  
 Sección mixta. Retoque simple escaleriformes bilaterales. Textura wackestone/packstone heterogénea. Relictos carbonatados.  
 Abundantes secciones de tallos de carofíceas.

N. Inventari

41

N. referència

M66/161

Jaciment

Molinot

T. Sílex

Continental

Dist. color

Bandejada

Pàtina

Sense

% Pàtina

Transparència

Opac/Transp

Mida gra

Fi

Textura

Heterogènia

Superfície

Llisa

Aptitud de talla

Alta

Obs.

Anillos de Liesegang

- Mudstone  
 Wackestone  
 Packstone  
 Grainstone

Mesures L - A - G

116

31

10

Pes

34.73

Taló

Sense

Secció

Triangular

Utilització

Pàtina de cereal (dist. der)

Arxiu



Dibuix



Observacions

Fragmento distal de lámina (ápice i pase rota). Retoques marginales ligeramente dentados en todo el perímetro.  
 Sílex gris bandeado. Textura mudstone con secciones transversales de carofíceas.

En la cara superior conserva concreción con vestigios de carbón.  
 Gránulos aislados de OFe muy escasos o relictos escasos también de probable frag. micrítico.

La cara inferior presenta también concreción.

No está pulimentada

\*Podría ser del valle del Ebro

Còrtex

NC

Tipo

Rodament

Litologia

Contacte

Inclusions

- Óx. metàlics  
 Gr. hematites  
 Dend. pirolusita  
 Romboedros dolomita  
 Pseud. len. yeso  
 Cuarzo detrític  
 Recristalizaciones  
 Rel. micrita  
 Rel. inertita  
 Rel. ca  
 Mosaics de macroquars

Fossils

- Moluscos  
 Bivalbas  
 Braquiópodos  
 Gasterópodos  
 Poríferos  
 Equinoideos  
 Algas verdes  
 Algas rojas  
 Algas carofíceas  
 Ostrácodos  
 Foraminíferos  
 Briozoos
- Anélidos  
 Incertae Sedis  
 Rotalina  
 Bioclastos indet.  
 Espícules  
 Dinoflagelados

Alteracions tèrmiques

Sense

Fractures

Sense fractures

Concreció

Sí

N. Inventari

42

N. referència

M/66/114// Relació amb M/66/118 (n. inv.43)

Jaciment

Molinot

T. Sílex

Marí

Dist. color

Llisa

Pàtina

Sense

% Pàtina

Transparència

Opac/Transp

Mida gra

Molt fi

Textura

Heterogènia

Superfície

Llisa

Aptitud de talla

Molt alta

Obs.

Tipus melat (Bedulià?)

- Mudstone  
 Wackestone  
 Packstone  
 Grainstone

Mesures L - A - G

44

10

3

Pes

1.76

Taló

L

Secció

Mixta

Utilització

Còrtex

NC

Tipo

Rodament

Litologia

Contacte

Inclusions

- Óx. metàlics  
 Gr. hematites  
 Dend. pirolusita  
 Romboedros dolomita  
 Pseud. len. yeso  
 Cuarzo detrític  
 Recristalizaciones  
 Rel. micrita  
 Rel. inertita  
 Rel. ca  
 Mosaics de macroquars

Fossils

- Moluscos  
 Bivalbas  
 Braquiópodos  
 Gasterópodos  
 Poríferos  
 Equinoideos  
 Algas verdes  
 Algas rojas  
 Algas carofíceas  
 Ostrácodos  
 Foraminíferos  
 Briozoos
- Anélidos  
 Incertae Sedis  
 Rotalina  
 Bioclastos indet.  
 Espícules  
 Dinoflagelados

Alteracions tèrmiques

Llustre tèrmic

Fractures

Sense fractures

Concreció

No

Arxiu



Dibuix



Observacions

Están dentro de una bolsa con una etiqueta: "Neolítico mitjà"

La primera es una lámina mixta fragmentada en la parte distal.  
 Talón liso donde se observa un contrabulbo.

Es un soporte de tipo melado (beduliense?) con lustre térmico. Textura wackestone, elementos relictos indeterminables sólo donde se observan algunos gránulos aislados de OFe y una probable cista de dinoflagelado o un foraminífero (foto)

Presenta retoque plano/simple invasor en todo el filo izquierdo [S/P env sen . Smd dext] que se oponen a un retoque simple muy marginal directo (retoques de uso en todo el filo derecho).

**N. Inventari**

43

**N. referència**

M/66/118// Relació amb M/66/144 (n. inv.42)

**Jaciment**

Molinot

**T. Sílex**

Marí

**Dist. color**

Llisa

**Pàtina**

Sense

**% Pàtina****Transparència**

Transparent

**Mida gra**

Molt fi

**Textura**

Heterogènia

**Superfície**

Llisa

**Aptitud de talla**

Molt alta

**Obs.**

Sílex "melat"

 Mudstone Wackestone Packstone Grainstone**Mesures L - A - G**

23

11

2

**Pes**

0,72

**Taló**

Sense

**Secció**

Triangular

**Utilització****Còrtex****Tipo****Rodament****Litologia****Contacte****Inclusions**

- Óx. metàlics  
 Gr. hematites  
 Dend. pirolusita  
 Romboedros dolomita  
 Pseud. len. yeso  
 Cuarzo detrític  
 Recristalizaciones  
 Rel. micrita  
 Rel. inertita  
 Rel. ca  
 Mosaics de macroquars

**Fossils**

- Moluscos  
 Bivalbas  
 Braquiópodos  
 Gasterópodos  
 Poríferos  
 Equinoideos  
 Algas verdes  
 Algas rojas  
 Algas carofíceas  
 Ostrácodos  
 Foraminíferos  
 Briozoos
- Anélidos  
 Incertae Sedis  
 Rotalina  
 Bioclastos indet.  
 Espícules  
 Dinoflagelados

**Alteracions tèrmiques**

Llustre tèrmic

**Fractures**

Sense fractures

**Concreció**

No

**Arxiu****Dibuix****Observacions**

Están dentro de una bolsa con una etiqueta: "Neolítico mitjà"

La segunda es un fragmento distal de lámina de sección triangular que mide 23x11x2. También en sílex melado en este caso translúcido (la otra es opaca). De textura mudstone, los relictos observables son indeterminables (micrita?), tan sólo se puede identificar algún gránulo aislado de hematites. Como en el caso anterior presenta tratamiento térmico. La lámina está retocada en los dos filos laterales con retoque simple marginal.

<b>N. Inventari</b>	<b>N. referència</b>
44	M/66/102

<b>Jaciment</b>
Molinot

<b>T. Sílex</b>	<b>Dist. color</b>	<b>Pàtina</b>	<b>% Pàtina</b>
Marí	Motejada	Sense	
<b>Transparència</b>	<b>Mida gra</b>	<b>Textura</b>	
Transparent	Molt fi		
<b>Superfície</b>	<b>Aptitud de talla</b>	<input checked="" type="checkbox"/> Mudstone <input type="checkbox"/> Wackestone <input type="checkbox"/> Packstone <input type="checkbox"/> Grainstone	
Llisa	Molt alta		
<b>Obs.</b>	Origen francès?		

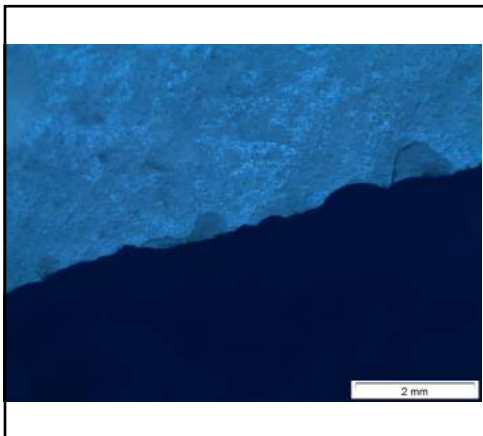
<b>Còrtex</b>	<b>Tipo</b>	<b>Rodament</b>	<b>Litologia</b>	<b>Contacte</b>
NC				
<b>Inclusions</b>		<b>Fossils</b>		
<input type="checkbox"/> Óx. metàlics <input type="checkbox"/> Gr. hematites <input type="checkbox"/> Dend. pirolusita <input type="checkbox"/> Romboedros dolomita <input type="checkbox"/> Pseud. len. yeso <input type="checkbox"/> Cuarzo detrític <input type="checkbox"/> Recristalizaciones <input type="checkbox"/> Rel. micrita <input type="checkbox"/> Rel. inertita <input type="checkbox"/> Rel. ca <input type="checkbox"/> Mosaics de macroquars		<input type="checkbox"/> Moluscos <input type="checkbox"/> Bivalbas <input type="checkbox"/> Braquiópodos <input type="checkbox"/> Gasterópodos <input type="checkbox"/> Poríferos <input type="checkbox"/> Equinoideos <input type="checkbox"/> Algas verdes <input type="checkbox"/> Algas rojas <input type="checkbox"/> Algas carofíceas <input type="checkbox"/> Ostrácodos <input type="checkbox"/> Foraminíferos <input type="checkbox"/> Briozoos <input type="checkbox"/> Anélidos <input type="checkbox"/> Incertae Sedis <input type="checkbox"/> Rotalina <input type="checkbox"/> Bioclastos indet. <input checked="" type="checkbox"/> Espícules <input checked="" type="checkbox"/> Dinoflagelados		
<b>Alteracions tèrmiques</b>		<b>Fractures</b>	<b>Concreció</b>	
Llustre tèrmic		Sense fractures	No	

<b>Mesures L - A - G</b>	<b>Pes</b>	<b>Taló</b>	<b>Secció</b>
64 16 6	7,84	Sense	Triangular

<b>Utilització</b>	Pulimentada previ al retoc pla
--------------------	--------------------------------

Arxiu

Dibuix



Observacions

2 fragments que pegan (fractura moderna?) de una lámina fragmentada de secció triangular (conservan la parte proximal-mesial) el talón ha estado eliminado por retoque plano bifacial envahissant en la zona talonar. El sílex presenta aspecto de tratamiento térmico. El soporte es observable con luz transversa por debajo en la parte proximal porque es translúcido. Muestra una matriz mudstone, con muy pocos vestigios, sólo se reconocen espículas monaxónicas. La materia prima es geológicamente de origen marino (probablemente francès?). La parte más gruesa del soporte no permite ver ningún elemento arqueopetrológico, en cambio presenta evidencias del pulimento del soporte previo al retoque plano. El retoque es simple tendente a plano en el costado izquierdo, mientras que es sobreelevado escaleriforme en el costado derecho, en ambos costados es invasor. La parte basal presenta retoque plano tendente a simple, en este caso couvrent, al igual que la cara ventral donde el talón ha desaparecido al igual que el bulbo por un retoque plano envahissant.

<b>N. Inventari</b>	<b>N. referència</b>
45	PO135

<b>Jaciment</b>
Cova del Pany

<b>T. Sílex</b>	<b>Dist. color</b>	<b>Pàtina</b>	<b>% Pàtina</b>
Indeterminabl	Irregular	Sense	
<b>Transparència</b>	<b>Mida gra</b>	<b>Textura</b>	
Opaca	Fi	Indeterminable	
<b>Superfície</b>	<b>Aptitud de talla</b>	<input type="checkbox"/> Mudstone <input type="checkbox"/> Wackestone <input type="checkbox"/> Packstone <input type="checkbox"/> Grainstone	
Rugosa	Mitja		
<b>Obs.</b>			
cremat			

<b>Còrtex</b>	<b>Tipo</b>	<b>Rodament</b>	<b>Litologia</b>	<b>Contacte</b>
CD	P	ER	Calcària	Net
<b>Inclusions</b>		<b>Fossils</b>		
<input type="checkbox"/> Óx. metàlics <input type="checkbox"/> Gr. hematites <input type="checkbox"/> Dend. pirolusita <input type="checkbox"/> Romboedros dolomita <input type="checkbox"/> Pseud. len. yeso <input type="checkbox"/> Cuarzo detrític <input type="checkbox"/> Recristalizaciones <input type="checkbox"/> Rel. micrita <input type="checkbox"/> Rel. inertita <input type="checkbox"/> Rel. ca <input type="checkbox"/> Mosaics de macroquars		<input type="checkbox"/> Moluscos <input type="checkbox"/> Bivalbas <input type="checkbox"/> Braquiópodos <input type="checkbox"/> Gasterópodos <input type="checkbox"/> Poríferos <input type="checkbox"/> Equinoideos <input type="checkbox"/> Algas verdes <input type="checkbox"/> Algas rojas <input type="checkbox"/> Algas carofíceas <input type="checkbox"/> Ostrácodos <input type="checkbox"/> Foraminíferos <input type="checkbox"/> Briozoos		
<b>Alteracions tèrmiques</b>		<b>Fractures</b>	<b>Concreció</b>	
Cúpula i mosaic		Sense fractures	No	

<b>Mesures L - A - G</b>	<b>Pes</b>	<b>Taló</b>	<b>Secció</b>
59 27 10	17,02	I	Triangular

<b>Utilització</b>	
--------------------	--

<b>Arxiu</b>	<b>Dibuix</b>

**Observacions**

Fragmento de lámina. Còrtex dominante de tipo calizo gresoso, escasamente rodado. El soporte está quemado. Se observan cúpulas y mosaico. El sílex se muestra opaco, no se observan elementos reconocibles en el còrtex. En cuanto a la masa silíceas, por la fuerte alteración no se aprecia nada.

NO DETERMINABLE ARQUEOPETROGRÁFICAMENTE.

Miedidas: 59x27x10.

Los retoques de los fillos laterales y transversal distal se ven desdibujados por la acción térmica.

<b>N. Inventari</b>	<b>N. referència</b>
46	P129

<b>Jaciment</b>
Cova del Pany

<b>T. Sílex</b>	<b>Dist. color</b>	<b>Pàtina</b>	<b>% Pàtina</b>
Continental	Zonal	Blanca	Marginal
<b>Transparència</b>	<b>Mida gra</b>	<b>Textura</b>	
Opac/Transp	Fi	Heterogènia	
<b>Superfície</b>	<b>Aptitud de talla</b>	<input checked="" type="checkbox"/> Mudstone <input type="checkbox"/> Wackestone <input type="checkbox"/> Packstone <input type="checkbox"/> Grainstone	
Llisa	Alta		
<b>Obs.</b>			

<b>Còrtex</b>	<b>Tipo</b>	<b>Rodament</b>	<b>Litologia</b>	<b>Contacte</b>
MC	P	ER	Calcària	Net
<b>Inclusions</b>		<b>Fossils</b>		
<input type="checkbox"/> Óx. metàlics <input type="checkbox"/> Gr. hematites <input type="checkbox"/> Dend. pirolusita <input type="checkbox"/> Romboedros dolomita <input type="checkbox"/> Pseud. len. yeso <input type="checkbox"/> Cuarzo detrítico <input type="checkbox"/> Recristalizaciones <input type="checkbox"/> Rel. micrita <input type="checkbox"/> Rel. inertita <input type="checkbox"/> Rel. ca <input checked="" type="checkbox"/> Mosaics de macroquars		<input type="checkbox"/> Moluscos <input type="checkbox"/> Bivalbas <input type="checkbox"/> Braquiópodos <input type="checkbox"/> Gasterópodos <input type="checkbox"/> Poríferos <input type="checkbox"/> Equinoideos <input type="checkbox"/> Algas verdes <input type="checkbox"/> Algas rojas <input type="checkbox"/> Algas carofíceas <input type="checkbox"/> Ostrácodos <input type="checkbox"/> Foraminíferos <input type="checkbox"/> Briozoos		
<b>Alteracions tèrmiques</b>		<b>Fractures</b>	<b>Concreció</b>	
Canvi de coloració		Sense fractures	No	

<b>Mesures L - A - G</b>	<b>Pes</b>	<b>Taló</b>	<b>Secció</b>
52 17 5	4,60	Sense	Triangular

<b>Utilització</b>	pàtina de cereal
--------------------	------------------

**Arxiu**

**Dibuix**

**Observacions**

Fragmento distal de secció triangular. Medianamente cortical. Còrtex calizo gresoso, escasamente rodado, contacto evidente con la masa sílicea, grosor pelicular, coloración rojiza probablemente por alteración.

El soporte presenta una ligera pátina blanca superficial. Con luz transmitida en los fillos son translúcidos y muestran una textura mudstone azoica (recuerda un sílex de tipo evaporítico).

El soporte presenta un retoque plano envahissant en la parte distal del filo izquierdo.

La cara ventral del soporte en la parte proximal está roto, se observa un golpe lateral que ha elevado una parte de la materia. El golpe se inicia desde la izquierda de la cara ventral y está dibujado en la libreta. Se observan unos pequeños retoques discontinuos en el filo resultante de esta acción que seguramente se han de interpretar como pequeñas muescas

N. Inventari

47

N. referència

Fo'13 n.1818// 14-XII-13/ Nivell Ib QF9

Jaciment

Foradada

T. Sílex

Indeterminabl

Dist. color

Irregular

Pàtina

Blanca

% Pàtina

Total

Transparència

Opaca

Mida gra

Fi

Textura

Indeterminable

Superfície

Llisa

Aptitud de talla

Alta

Obs.

- Mudstone  
 Wackestone  
 Packstone  
 Grainstone

Mesures L - A - G

29

13

4

Pes

1.01

Taló

P

Secció

Romboidal

Utilització

Còrtex

NC

Tipo

Rodament

Litologia

Contacte

Inclusions

- Óx. metàlics  
 Gr. hematites  
 Dend. pirolusita  
 Romboedros dolomita  
 Pseud. len. yeso  
 Cuarzo detrític  
 Recristalizaciones  
 Rel. micrita  
 Rel. inertita  
 Rel. ca  
 Mosaics de macroquars

Fossils

- Moluscos  
 Bivalbas  
 Braquiópodos  
 Gasterópodos  
 Poríferos  
 Equinoideos  
 Algas verdes  
 Algas rojas  
 Algas carofíceas  
 Ostrácodos  
 Foraminíferos  
 Briozoos
- Anélidos  
 Incertae Sedis  
 Rotalina  
 Bioclastos indet.  
 Espícules  
 Dinoflagelados

Alteracions tèrmiques

Llustre tèrmic

Fractures

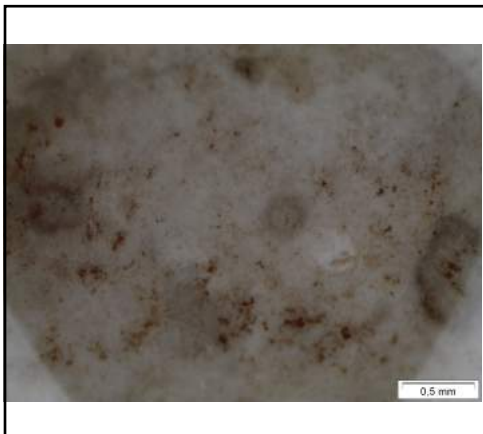
Sense fractures

Concreció

No

Arxiu

Dibuix



Observacions

Pieza completa

Punta de retoque plano completamente patinada. El estado de la pieza impide la determinación del tipo de sílex, por lo que no se ha podido observar la existencia de algún fósil o inclusión. Sin embargo, al tratarse de una pátina blanca bastante superficial, se ha podido realizar una fotografía en la que se observa un elemento que podría tratarse de un bioclasto indeterminado (se trata de una fotografía poco clara, por lo que se trataría sólo de una suposición)

Pedúnculo y aleta

Foto: FO1818

N. Inventari

48

N. referència

Fo'06 n.415 // 18-XI-06/Nivell Ib-la/ Q.F7

Jaciment

Foradada

T. Sílex

Marí

Dist. color

Irregular

Pàtina

Blanca

% Pàtina

Dominante

Transparència

Transparent

Mida gra

Molt fi

Textura

Heterogènia

Superfície

Llisa

Aptitud de talla

Molt alta

Obs.

Sílex BEDULIENSE?

 Mudstone Wackestone Packstone Grainstone

Mesures L - A - G

(31)

14

2

Pes

1.33

Taló

Sense

Secció

Trapezoidal

Utilització

Còrtex

NC

Tipo

Rodament

Litologia

Contacte

Inclusions

- Óx. metàlics  
 Gr. hematites  
 Dend. pirolusita  
 Romboedros dolomita  
 Pseud. len. yeso  
 Cuarzo detrític  
 Recristalizaciones  
 Rel. micrita  
 Rel. inertita  
 Rel. ca  
 Mosaics de macroquars

Fossils

- Moluscos  
 Bivalbas  
 Braquiópodos  
 Gasterópodos  
 Poríferos  
 Equinoideos  
 Algas verdes  
 Algas rojas  
 Algas carofíceas  
 Ostrácodos  
 Foraminíferos  
 Briozoos
- Anélidos  
 Incertae Sedis  
 Rotalina  
 Bioclastos indet.  
 Espícules  
 Dinoflagelados

Alteracions tèrmiques

Llustre tèrmic

Fractures

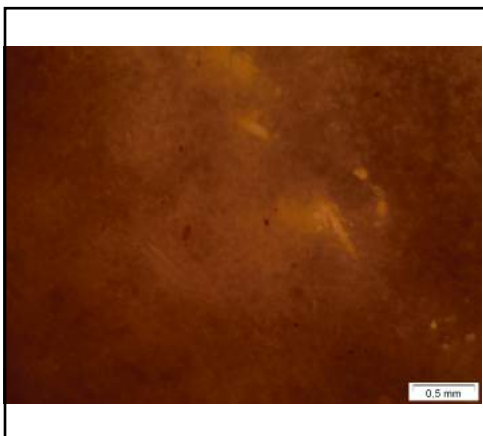
Sense fractures

Concreció

No

Arxiu

Dibuix



Observacions

Pieza fragmentada en los extremos distales  
 Fragmento de lámina de sílex con pátina dominante profunda. En los sectores donde la pátina es más delgada, ha sido posible hallar concentraciones de espículas. Además, se ha podido determinar la existencia de óxidos de hierro.

Fotografías: FO415\_1; FO415\_2; FO415\_3 y FO 415\_4

**N. Inventari**

49

**N. referència**

Fo'13 n.23// 14-XII-13 / Nivel la Q.G10

**Jaciment**

Foradada

**T. Sílex**

Indeterminabl

**Dist. color**

Irregular

**Pàtina**

Blanca

**% Pàtina**

Total

**Transparència**

Opaca

**Mida gra**

Fi

**Textura**

Indeterminable

**Superfície**

Llisa/Rugosa

**Aptitud de talla**

Alta

**Obs.**

- Mudstone  
 Wackestone  
 Packstone  
 Grainstone

**Mesures L - A - G**

(47)

19

5

**Pes**

4.02

**Taló**

Sense

**Secció**

Romboidal

**Utilització**

Fractura por utilización

**Arxiu****Dibuix****Observacions**

Punta fracturada por ambos extremos distales (fracturas por uso)  
 Pieza de sílex con pátina total profunda que impide determinar el litotipo.  
 Presenta señales de haber sido sometida al calor, puesto que encontramos craquelado en la mayoría de su superficie.

Foto FO23\_1

**Còrtex**

NC

**Tipo****Rodament****Litologia****Contacte****Inclusions**

- Óx. metàlics  
 Gr. hematites  
 Dend. pirolusita  
 Romboedros dolomita  
 Pseud. len. yeso  
 Cuarzo detrític  
 Recristalizaciones  
 Rel. micrita  
 Rel. inertita  
 Rel. ca  
 Mosaics de macroquars

**Fossils**

- Moluscos  
 Bivalbas  
 Braquiópodos  
 Gasterópodos  
 Poríferos  
 Equinoideos  
 Algas verdes  
 Algas rojas  
 Algas carofíceas  
 Ostrácodos  
 Foraminíferos  
 Briozoos
- Anélidos  
 Incertae Sedis  
 Rotalina  
 Bioclastos indet.  
 Espícules  
 Dinoflagelados

**Alteracions tèrmiques**

Craquelat

**Fractures**

Sense fractures

**Concreció**

No

**N. Inventari**

50

**N. referència**

Fo'06 n.1230// 14-XI-06/ Nivell Ia-Ib Q.E8

**Jaciment**

Foradada

**T. Sílex**

Continental

**Dist. color**

Llisa

**Pàtina**

Blanca

**% Pàtina**

Marginal

**Transparència**

Transparent

**Mida gra**

Fi

**Textura**

Heterogènia

**Superfície**

Llisa

**Aptitud de talla**

Alta

**Obs.**

- Mudstone  
 Wackestone  
 Packstone  
 Grainstone

**Mesures L - A - G**

(43)

16

3

**Pes**

2.66

**Taló**

Sense

**Secció**

Romboidal

**Utilització****Arxiu****Dibuix****Observacions**

Pieza fracturada en su extremo proximal.  
 Punta de sílex evaporítico transparente. Presenta pátina marginal superficial y no se observan fósiles ni inclusiones.

**Còrtex**

NC

**Tipo****Rodament****Litologia****Contacte****Inclusions**

- Óx. metàlics  
 Gr. hematites  
 Dend. pirolusita  
 Romboedros dolomita  
 Pseud. len. yeso  
 Cuarzo detrític  
 Recristalizaciones  
 Rel. micrita  
 Rel. inertita  
 Rel. ca  
 Mosaics de macroquars

**Fossils**

- Moluscos  
 Bivalbas  
 Braquiópodos  
 Gasterópodos  
 Poríferos  
 Equinoideos  
 Algas verdes  
 Algas rojas  
 Algas carofíceas  
 Ostrácodos  
 Foraminíferos  
 Briozoos
- Anélidos  
 Incertae Sedis  
 Rotalina  
 Bioclastos indet.  
 Espícules  
 Dinoflagelados

**Alteracions tèrmiques**

Llustre tèrmic i craquelat

**Fractures**

Sense fractures

**Concreció**

No

**N. Inventari**

51

**N. referència**

Fo'06 n.1229 // Nivell Ia-Ib Q.E8

**Jaciment**

Foradada

**T. Sílex**

Continental

**Dist. color**

Bandejada

**Pàtina**

Blanca

**% Pàtina**

Dominante

**Transparència**

Transparent

**Mida gra**

Fi

**Textura**

Heterogènia

**Superfície**

Llisa

**Aptitud de talla**

Alta

**Obs.**

- Mudstone  
 Wackestone  
 Packstone  
 Grainstone

**Mesures L - A - G**

33

17

5

**Pes**

2.24

**Taló**

Sense

**Secció**

Romboidal

**Utilització****Còrtex**

NC

**Tipo****Rodament****Litologia****Contacte****Inclusions**

- Óx. metàlics  
 Gr. hematites  
 Dend. pirolusita  
 Romboedros dolomita  
 Pseud. len. yeso  
 Cuarzo detrític  
 Recristalizaciones  
 Rel. micrita  
 Rel. inertita  
 Rel. ca  
 Mosaics de macroquars

**Fossils**

- Moluscos  
 Bivalbas  
 Braquiópodos  
 Gasterópodos  
 Poríferos  
 Equinoideos  
 Algas verdes  
 Algas rojas  
 Algas carofíceas  
 Ostrácodos  
 Foraminíferos  
 Briozoos
- Anélidos  
 Incertae Sedis  
 Rotalina  
 Bioclastos indet.  
 Espícules  
 Dinoflagelados

**Alteracions tèrmiques**

Llustre tèrmic i craquelat

**Fractures**

Sense fractures

**Concreció**

No

**Arxiu****Dibuix****Observacions**

Pieza completa

Punta de sílex evaporític con pátina blanca dominante superficial y pátina rosada dominante profunda. Es una pieza translúcida en la que no se observa la presencia de fósiles.

Foto: FO1229\_1

N. Inventari

52

N. referència

Fo'06 n.520// 22.XII/ Nivell Ib Q.E9

Jaciment

Foradada

T. Sílex

Continental

Dist. color

Llisa

Pàtina

Blanca

% Pàtina

Marginal

Transparència

Transparent

Mida gra

Fi

Textura

Homogènia

Superfície

Llisa

Aptitud de talla

Mitja-alta

 Mudstone Wackestone Packstone Grainstone

Obs.

Còrtex

NC

Tipo

Rodament

Litologia

Contacte

Inclusions

- Óx. metàlics  
 Gr. hematites  
 Dend. pirolusita  
 Romboedros dolomita  
 Pseud. len. yeso  
 Cuarzo detrític  
 Recristalizaciones  
 Rel. micrita  
 Rel. inertita  
 Rel. ca  
 Mosaics de macroquars

Fossils

- Moluscos  
 Bivalbas  
 Braquiópodos  
 Gasterópodos  
 Poríferos  
 Equinoideos  
 Algas verdes  
 Algas rojas  
 Algas carofíceas  
 Ostrácodos  
 Foraminíferos  
 Briozoos
- Anélidos  
 Incertae Sedis  
 Rotalina  
 Bioclastos indet.  
 Espícules  
 Dinoflagelados

Alteracions tèrmiques

Llustre tèrmic

Fractures

Geodes

Concreció

No

Mesures L - A - G

38

15

4

Pes

1.79

Taló

Sense

Secció

Romboidal

Utilització

Arxiu

Dibuix

Observacions



Pieza completa.

Punta de sílex con termoalteración (lustre térmico) y pátina blanca marginal superficial.

No se observan rastros de fósiles ni de inclusiones.

Presenta geodas recristalizadas que bajan la aptitud de talla del sílex.

Foto: FO520\_1

<b>N. Inventari</b>	<b>N. referència</b>
53	Fo n.1230b// Q.E8

<b>Jaciment</b>
Foradada

<b>T. Sílex</b>	<b>Dist. color</b>	<b>Pàtina</b>	<b>% Pàtina</b>
Continental	Llisa	Blanca	Dominante
<b>Transparència</b>	<b>Mida gra</b>	<b>Textura</b>	
Opaca	Fi	Heterogènia	
<b>Superfície</b>	<b>Aptitud de talla</b>	<input checked="" type="checkbox"/> Mudstone	
Llisa	Alta	<input type="checkbox"/> Wackestone	
<b>Obs.</b>		<input type="checkbox"/> Packstone	
		<input type="checkbox"/> Grainstone	

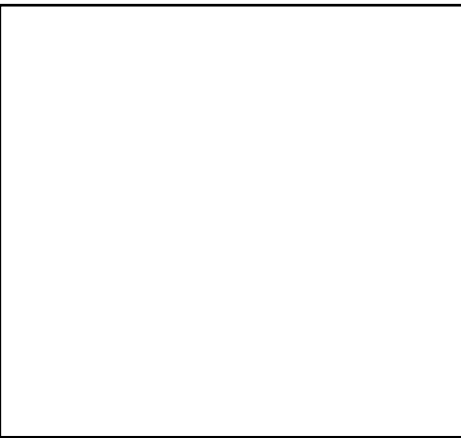
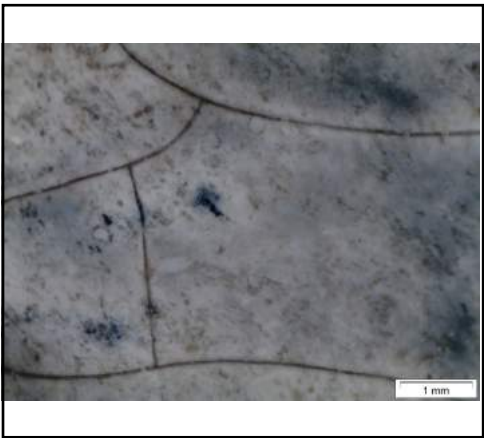
<b>Còrtex</b>	<b>Tipo</b>	<b>Rodament</b>	<b>Litologia</b>	<b>Contacte</b>
NC				
<b>Inclusions</b>		<b>Fossils</b>		
<input type="checkbox"/> Óx. metàlics <input type="checkbox"/> Gr. hematites <input type="checkbox"/> Dend. pirolusita <input type="checkbox"/> Romboedros dolomita <input type="checkbox"/> Pseud. len. yeso <input type="checkbox"/> Cuarzo detrític <input type="checkbox"/> Recristalizaciones <input type="checkbox"/> Rel. micrita <input type="checkbox"/> Rel. inertita <input type="checkbox"/> Rel. ca <input type="checkbox"/> Mosaics de macroquars		<input type="checkbox"/> Moluscos <input type="checkbox"/> Bivalbas <input type="checkbox"/> Braquiópodos <input type="checkbox"/> Gasterópodos <input type="checkbox"/> Poríferos <input type="checkbox"/> Equinoideos <input type="checkbox"/> Algas verdes <input type="checkbox"/> Algas rojas <input checked="" type="checkbox"/> Algas carofíceas <input type="checkbox"/> Ostrácodos <input type="checkbox"/> Foraminíferos <input type="checkbox"/> Briozoos		
<b>Alteracions tèrmiques</b>		<b>Fractures</b>	<b>Concreció</b>	
Llustre tèrmic i craquelat		Sense fractures	No	

<b>Mesures L - A - G</b>	<b>Pes</b>	<b>Taló</b>	<b>Secció</b>
(26) 16 3	1.73	Sense	Trapezoidal

<b>Utilització</b>	
--------------------	--

Arxiu

Dibuix



Observacions

Pieza fragmentada en la parte proximal.

Fragmento distal de lámina de sílex lacustre con pátina blanca dominante profunda.

La pieza ha sido termoalterada, pues presenta craquelado en toda su superficie.

Se observan posibles fragmentos de materia orgánica y algas carofíceas.

Foto: FO1230b\_1; FO1230b\_2

**N. Inventari**

54

**N. referència**

Fo'97 n.813// Q.C7

**Jaciment**

Foradada

**T. Sílex**

Indeterminado

**Dist. color**

Zonal

**Pàtina**

Blanca

**% Pàtina**

Marginal

**Transparència**

Opaca

**Mida gra**

Molt fi

**Textura**

Heterogènia

**Superfície**

Llisa

**Aptitud de talla**

Molt alta

**Obs.**

- Mudstone  
 Wackestone  
 Packstone  
 Grainstone

**Mesures L - A - G**

50

20

5

4.48

**Pes****Taló**

Sense

**Secció**

Romboidal

**Utilització****Arxiu****Dibuix****Còrtex**

NC

**Tipo****Rodament****Litologia****Contacte****Inclusions**

- Óx. metàlics  
 Gr. hematites  
 Dend. pirolusita  
 Romboedros dolomita  
 Pseud. len. yeso  
 Cuarzo detrític  
 Recristalizaciones  
 Rel. micrita  
 Rel. inertita  
 Rel. ca  
 Mosaics de macroquars

**Fossils**

- Moluscos  
 Bivalbas  
 Braquiópodos  
 Gasterópodos  
 Poríferos  
 Equinoideos  
 Algas verdes  
 Algas rojas  
 Algas carofíceas  
 Ostrácodos  
 Foraminíferos  
 Briozoos
- Anélidos  
 Incertae Sedis  
 Rotalina  
 Bioclastos indet.  
 Espícules  
 Dinoflagelados

**Alteracions tèrmiques**

Llustre tèrmic i craquelat

**Fractures**

Sense fractures

**Concreció**

No

**Observacions**

Punta de sílex indeterminado con visible termoalteración (craquelado y lustre térmico).  
 No ha sido posible observar la existencia de inclusiones y/o fósiles, por lo que sería necesario volver a analizar la pieza. (relictos carbonatados)

N. Inventari

55

N. referència

Fo'99 n.57// 19-V/ Nivell la Q.E7

Jaciment

Foradada

T. Sílex

Dist. color

Pàtina

% Pàtina

Indeterminado

Llisa

Blanca

Marginal

Transparència

Mida gra

Textura

Opaca

Fi

Heterogènia

Superfície

Aptitud de talla

 Mudstone

Llisa

Alta

 Wackestone

Obs.

 Packstone Grainstone

Mesures L - A - G

Pes

Taló

Secció

(16)

(14)

4

0.51

Sense

Romboidal

Utilització

Fractura por utilización

Còrtex

Tipo

Rodament

Litologia

Contacte

NC

Inclusions

- Óx. metàlics  
 Gr. hematites  
 Dend. pirolusita  
 Romboedros dolomita  
 Pseud. len. yeso  
 Cuarzo detrític  
 Recristalizaciones  
 Rel. micrita  
 Rel. inertita  
 Rel. ca  
 Mosaics de macroquars

Fossils

- Moluscos  
 Bivalbas  
 Braquiópodos  
 Gasterópodos  
 Poríferos  
 Equinoideos  
 Algas verdes  
 Algas rojas  
 Algas carofíceas  
 Ostrácodos  
 Foraminíferos  
 Briozoos
- Anélidos  
 Incertae Sedis  
 Rotalina  
 Bioclastos indet.  
 Espícules  
 Dinoflagelados

Alteracions tèrmiques

Fractures

Concreció

Llustre tèrmic i craquelat

Sense fractures

No

Arxiu

Dibuix



Observacions

Pieza fracturada.

Punta con aleta y zona de emmangue fracturadas (quizá por uso).

Por el estado de la pieza, se dificulta la observación de elementos inclusivos y fósiles, sin embargo, en su parte proximal presenta trazas metálicas (posiblemente debidas al emmangue de la punta).

Foto: FO57\_1; FO57\_2

<b>N. Inventari</b>	<b>N. referència</b>
56	P146

<b>Jaciment</b>
Cova del Pany

<b>T. Sílex</b>	<b>Dist. color</b>	<b>Pàtina</b>	<b>% Pàtina</b>
Continental	Bandejada	Sense	
<b>Transparència</b>	<b>Mida gra</b>	<b>Textura</b>	
Opaca	Fi	Heterogènia	
<b>Superfície</b>	<b>Aptitud de talla</b>	<input type="checkbox"/> Mudstone <input type="checkbox"/> Wackestone <input checked="" type="checkbox"/> Packstone <input type="checkbox"/> Grainstone	
Llisa/Rugosa	Alta		
<b>Obs.</b>	FORCALQUIER		

<b>Còrtex</b>	<b>Tipo</b>	<b>Rodament</b>	<b>Litologia</b>	<b>Contacte</b>
NC				
<b>Inclusions</b>		<b>Fossils</b>		
<input type="checkbox"/> Óx. metàlics <input type="checkbox"/> Gr. hematites <input type="checkbox"/> Dend. pirolusita <input type="checkbox"/> Romboedros dolomita <input type="checkbox"/> Pseud. len. yeso <input type="checkbox"/> Cuarzo detrític <input type="checkbox"/> Recristalizaciones <input checked="" type="checkbox"/> Rel. micrita <input type="checkbox"/> Rel. inertita <input type="checkbox"/> Rel. ca <input type="checkbox"/> Mosaics de macroquars		<input type="checkbox"/> Moluscos <input type="checkbox"/> Bivalbas <input type="checkbox"/> Braquiópodos <input type="checkbox"/> Gasterópodos <input type="checkbox"/> Poríferos <input type="checkbox"/> Equinoideos <input type="checkbox"/> Algas verdes <input type="checkbox"/> Algas rojas <input checked="" type="checkbox"/> Algas carofíceas <input checked="" type="checkbox"/> Ostrácodos <input type="checkbox"/> Foraminíferos <input type="checkbox"/> Briozoos		
<b>Alteracions tèrmiques</b>		<b>Fractures</b>	<b>Concreció</b>	
Sense		Sense fractures	Sí	

<b>Mesures L - A - G</b>	<b>Pes</b>	<b>Taló</b>	<b>Secció</b>
(45) 15 4	3,55	Sense	Triangular

<b>Utilització</b>	patina de cereal
--------------------	------------------

<b>Arxiu</b>	<b>Dibuix</b>

<b>Observacions</b>
<p>Fragmento medial de lámina de sección triangular, de sílex tipo FORCALQUIER.</p> <p>Aspecto 'chiloide benadeado', córtex marrón oscuro con abundantes fragmentos de elementos de relicto (textura packstone). Alguna microperforación. Presenta concreción en la superficie. La lámina presenta retoque plano envahissant en el filo dextre.</p>

**N. Inventari**

57

**N. referència**

P294

**Jaciment**

Cova del Pany

**T. Sílex**

Continental

**Dist. color**

Motejada

**Pàtina**

Sense

**% Pàtina****Transparència**

Opac/Transp

**Mida gra**

Fi

**Textura**

Heterogènia

**Superfície**

Llisa/Rugosa

**Aptitud de talla**

Mitja-alta

 Mudstone Wackestone Packstone Grainstone**Obs.****Mesures L - A - G**

(57)

19

5

**Pes**

7,64

**Taló**

Sense

**Secció**

Trapezoidal

**Utilització**

Pàtina de cereal

**Arxiu****Dibuix****Còrtex**

NC

**Tipo****Rodament****Litologia****Contacte****Inclusions**

- Óx. metàlics  
 Gr. hematites  
 Dend. pirolusita  
 Romboedros dolomita  
 Pseud. len. yeso  
 Cuarzo detrític  
 Recristalizaciones  
 Rel. micrita  
 Rel. inertita  
 Rel. ca  
 Mosaics de macroquars

**Fossils**

- Moluscos  
 Bivalbas  
 Braquiópodos  
 Gasterópodos  
 Poríferos  
 Equinoideos  
 Algas verdes  
 Algas rojas  
 Algas carofíceas  
 Ostrácodos  
 Foraminíferos  
 Briozoos
- Anélidos  
 Incertae Sedis  
 Rotalina  
 Bioclastos indet.  
 Espículas  
 Dinoflagelados

**Alteracions tèrmiques**

Sense

**Fractures**

Sense fractures

**Concreció**

No

**Observacions**

Lámina fragmentada de sección trapezoidal, el talón ha desaparecido por retoque. Presenta retoque simple profundo y pátina 'de cereal' en el filo derecho, en cambio el filo izquierdo presenta retoques planos inversos en la zona distal. Petrográficamente es un sílex opaco/translúcido beige. Les textura es mudstone, azoica con gránulos aislados de hematites. Parece un sílex evaporítico.

Medidas: 57x19x5

<b>N. Inventari</b>	<b>N. referència</b>
58	P123

<b>Jaciment</b>
Cova del Pany

<b>T. Sílex</b>	<b>Dist. color</b>	<b>Pàtina</b>	<b>% Pàtina</b>
Indeterminabl	Llisa	Sense	
<b>Transparència</b>	<b>Mida gra</b>	<b>Textura</b>	
Transparent	Molt fi	Homogènia	
<b>Superfície</b>	<b>Aptitud de talla</b>	<input checked="" type="checkbox"/> Mudstone <input type="checkbox"/> Wackestone <input type="checkbox"/> Packstone <input type="checkbox"/> Grainstone	
Llisa	Alta		
<b>Obs.</b>			

<b>Còrtex</b>	<b>Tipo</b>	<b>Rodament</b>	<b>Litologia</b>	<b>Contacte</b>
NC				
<b>Inclusions</b>		<b>Fossils</b>		
<input type="checkbox"/> Óx. metàlics <input checked="" type="checkbox"/> Gr. hematites <input type="checkbox"/> Dend. pirolusita <input type="checkbox"/> Romboedros dolomita <input type="checkbox"/> Pseud. len. yeso <input type="checkbox"/> Cuarzo detrític <input type="checkbox"/> Recristalizaciones <input type="checkbox"/> Rel. micrita <input type="checkbox"/> Rel. inertita <input type="checkbox"/> Rel. ca <input checked="" type="checkbox"/> Mosaics de macroquars		<input type="checkbox"/> Moluscos <input type="checkbox"/> Bivalbas <input type="checkbox"/> Braquiópodos <input type="checkbox"/> Gasterópodos <input type="checkbox"/> Poríferos <input type="checkbox"/> Equinoideos <input type="checkbox"/> Algas verdes <input type="checkbox"/> Algas rojas <input type="checkbox"/> Algas carofíceas <input type="checkbox"/> Ostrácodos <input type="checkbox"/> Foraminíferos <input type="checkbox"/> Briozoos <input type="checkbox"/> Anélidos <input type="checkbox"/> Incertae Sedis <input type="checkbox"/> Rotalina <input type="checkbox"/> Bioclastos indet. <input type="checkbox"/> Espícules <input type="checkbox"/> Dinoflagelados		
<b>Alteracions tèrmiques</b>		<b>Fractures</b>	<b>Concreció</b>	
Sense		Sense fractures	No	

<b>Mesures L - A - G</b>	<b>Pes</b>	<b>Taló</b>	<b>Secció</b>
(59) 16 3	5,22	Sense	Trapezoidal

<b>Utilització</b>	
--------------------	--

**Arxiu**

**Dibuix**

**Observacions**

Fragmento medial de lámina de sección trapezoidal. Textura homogénea mudstone azoica (blanca). Sílex sin inclusiones observables en la lupa binocular.  
 Medidas: 59x16x3.  
 Presenta retoque simple profundo directo distal senestre, opuesto a un retoque simple marginal directo distal medial dextre.  
 (No se observa pátina de cereal)

<b>N. Inventari</b>	<b>N. referència</b>
59	P140

<b>Jaciment</b>
Cova del Pany

<b>T. Sílex</b>	<b>Dist. color</b>	<b>Pàtina</b>	<b>% Pàtina</b>
Indeterminabl	Llisa	Sense	
<b>Transparència</b>	<b>Mida gra</b>	<b>Textura</b>	
Transparent	Molt fi	Homogènia	
<b>Superfície</b>	<b>Aptitud de talla</b>	<input checked="" type="checkbox"/> Mudstone <input type="checkbox"/> Wackestone <input type="checkbox"/> Packstone <input type="checkbox"/> Grainstone	
Llisa	Alta		
<b>Obs.</b>			

<b>Còrtex</b>	<b>Tipo</b>	<b>Rodament</b>	<b>Litologia</b>	<b>Contacte</b>
NC				
<b>Inclusions</b>		<b>Fossils</b>		
<input type="checkbox"/> Óx. metàlics <input type="checkbox"/> Gr. hematites <input type="checkbox"/> Dend. pirolusita <input type="checkbox"/> Romboedros dolomita <input type="checkbox"/> Pseud. len. yeso <input type="checkbox"/> Cuarzo detrític <input type="checkbox"/> Recristalizaciones <input type="checkbox"/> Rel. micrita <input type="checkbox"/> Rel. inertita <input type="checkbox"/> Rel. ca <input checked="" type="checkbox"/> Mosaics de macroquars		<input type="checkbox"/> Moluscos <input type="checkbox"/> Bivalbas <input type="checkbox"/> Braquiópodos <input type="checkbox"/> Gasterópodos <input type="checkbox"/> Poríferos <input type="checkbox"/> Equinoideos <input type="checkbox"/> Algas verdes <input type="checkbox"/> Algas rojas <input type="checkbox"/> Algas carofíceas <input type="checkbox"/> Ostrácodos <input type="checkbox"/> Foraminíferos <input type="checkbox"/> Briozoos <input type="checkbox"/> Anélidos <input type="checkbox"/> Incertae Sedis <input type="checkbox"/> Rotalina <input type="checkbox"/> Bioclastos indet. <input type="checkbox"/> Espícules <input type="checkbox"/> Dinoflagelados		
<b>Alteracions tèrmiques</b>		<b>Fractures</b>	<b>Concreció</b>	
Sense		Sense fractures	No	

<b>Mesures L - A - G</b>	<b>Pes</b>	<b>Taló</b>	<b>Secció</b>
39	17	7	4,44
		Sense	Romboidal

<b>Utilització</b>	
--------------------	--

**Arxiu**

**Dibuix**

**Observacions**

Punta losángica con retoque plano couvrant bifacial en el mismo tipo de sílex que la lámina anterior, por lo tanto, no se observa absolutamente nada!  
 Medidas: 39x17x7  
 Tiene la punta fracturada (impacto? antiguo?)

No hay fotografías

N. Inventari N. referència

60

ASA'13-Cunit// Nivell superfície/ Q:031/Data 14.

Jaciment

Abric de Sant Antoni

T. Sílex Dist. color Pàtina % Pàtina  
Continental Bandejada Blanca Marginal

Transparència

Opaca

Mida gra

Textura

Heterogènia

Superfície

Aptitud de talla

- Mudstone  
 Wackestone  
 Packstone  
 Grainstone

Obs.

FORCALQUIER

Mesures L - A - G

Pes

Taló

Secció

61

18

4

Trapezoidal

Utilització

Pulida

Còrtex Tipo Rodament Litologia Contacte  
NC

Inclusions

- Óx. metàlics  
 Gr. hematites  
 Dend. pirolusita  
 Romboedros dolomita  
 Pseud. len. yeso  
 Cuarzo detrític  
 Recristalizaciones  
 Rel. micrita  
 Rel. inertita  
 Rel. ca  
 Mosaics de macroquars

Fossils

- Moluscos  
 Bivalbas  
 Braquiópodos  
 Gasterópodos  
 Poríferos  
 Equinoideos  
 Algas verdes  
 Algas rojas  
 Algas carofíceas  
 Ostrácodos  
 Foraminíferos  
 Briozoos
- Anélidos  
 Incertae Sedis  
 Rotalina  
 Bioclastos indet.  
 Espícules  
 Dinoflagelados

Alteracions tèrmiques

Sense

Fractures

Sense fractures

Concreció

No

Arxiu

Dibuix



Observacions

Fragmento distal de lámina retocada de sección trapezoidal.

Medidas: 61x18x4

Lámina de sílex FORCALQUIER, en la part patinada de la cara dorsal se observan en la lupa binocular secciones de tallos de algas carofíceas.

Textura de tipo wackestone con relictos carbonatados, opaco/translucido.

Pátina blanca marginal y superficial.

Tipológicamente corresponde a G12:

G12[S(P)pd sen + S(P)d trav dist cvx(rect) + S(P)pd dext] /-Smd prox oblic

Superficie superior interior pulida previamente (?)

**N. Inventari**

61

**N. referència**

ASA'13-Cunit// Q: L37/nivell remenat/num

**Jaciment**

Abric de Sant Antoni

**T. Sílex****Dist. color****Pàtina****% Pàtina**

Indeterminado

**Transparència****Mida gra****Textura****Superfície****Aptitud de talla****Obs.**

- Mudstone  
 Wackestone  
 Packstone  
 Grainstone

Indeterminable

**Mesures L - A - G****Pes****Taló****Secció**

(51)

16

6

Sense

Mixta

**Utilització**

Ganivet

**Arxiu****Dibuix****Còrtex****Tipo****Rodament****Litologia****Contacte**

MC

P

ER

Net

**Inclusions**

- Óx. metàlics  
 Gr. hematites  
 Dend. pirolusita  
 Romboedros dolomita  
 Pseud. len. yeso  
 Cuarzo detrític  
 Recristalizaciones  
 Rel. micrita  
 Rel. inertita  
 Rel. ca  
 Mosaics de macroquars

**Fossils**

- Moluscos  
 Bivalbas  
 Braquiópodos  
 Gasterópodos  
 Poríferos  
 Equinoideos  
 Algas verdes  
 Algas rojas  
 Algas carofíceas  
 Ostrácodos  
 Foraminíferos  
 Briozoos
- Anélidos  
 Incertae Sedis  
 Rotalina  
 Bioclastos indet.  
 Espícules  
 Dinoflagelados

**Alteracions tèrmiques**

Sense

**Fractures**

Sense fractures

**Concreció**

No

**Observacions**

Fragmento mesial de lámina de sección triangular/trapezoidal  
 Medidas: 51x16x6  
 Còrtex pelicular cara dorsal costado derecho con vestigios carbonatados residuales blanquinosos.  
 No se observa contenido micropaleontológico. Porosidad rellena con cuarzo fibroso blanquinoso y mosaico de macrocuarzo.  
 Tipológicament R11  
 R11[Sma sen /- Smd dext]  
 "cuchillo"

N. Inventari

62

N. referència

ASA'13-Cunit // Q: L37/ Nivell remenat/ num.

Jaciment

Abric de Sant Antoni

T. Sílex

Dist. color

Pàtina

% Pàtina

Indeterminado

Motejada

Sense

Transparència

Mida gra

Textura

Heterogènia

Superfície

Aptitud de talla

 Mudstone Wackestone Packstone Grainstone

Obs.

Mesures L - A - G

Pes

Taló

Secció

13

23

4

Trapezoidal

Utilització

Ganivet

Arxiu

Dibuix

Observacions

Sección mesial de lámina de sección trapezoidal, medidas: 13x23x4.

Fractura proximal en lengüeta. Concreción superficial dominante. Coloración beige con moteado oscuro marginal sen. Posibles secciones bioclásticas. Probable sílex con caròfits. En la cara ventral costado derecho se conserva restos de tejido vegetal ferruginizante (Dibujo "###"). PÁTINA BRILLANTE (Dibujo: "////"). Tipológicamente R11 [Smd sen] "Ganivet"

Anotaciones de la libreta\*

Còrtex

Tipo

Rodament

Litologia

Contacte

NC

Inclusions

- Óx. metálicos  
 Gr. hematites  
 Dend. pirolusita  
 Romboedros dolomita  
 Pseud. len. yeso  
 Cuarzo detrítico  
 Recristalizaciones  
 Rel. micrita  
 Rel. inertita  
 Rel. ca  
 Mosaics de macroquars

Fossils

- Moluscos  
 Bivalbas  
 Braquiópodos  
 Gasterópodos  
 Poríferos  
 Equinoideos  
 Algas verdes  
 Algas rojas  
 Algas caròficeas  
 Ostrácodos  
 Foraminíferos  
 Briozoos
- Anélidos  
 Incertae Sedis  
 Rotalina  
 Bioclastos indet.  
 Espículas  
 Dinoflagelados

Alteracions tèrmiques

Fractures

Concreció

Sense

Sense fractures

Sí

N. Inventari

N. referència

63

6157(84)

Jaciment

Pantà de Foix

T. Sílex

Dist. color

Pàtina

% Pàtina

Indeterminado

Motejada

Sense

Transparència

Mida gra

Textura

Opac/Transp

Fi

Heterogènia

Superfície

Aptitud de talla

Mudstone

Llisa/Rugosa

Alta

Wackestone

Obs.

Packstone

Grainstone

Posiblement lacustre

Mesures L - A - G

Pes

Taló

Secció

(42)

14

4

2,48

I

Romboidal

Utilització

Còrtex

Tipo

Rodament

Litologia

Contacte

NC

Inclusions

- Óx. metàlics
- Gr. hematites
- Dend. pirolusita
- Romboedros dolomita
- Pseud. len. yeso
- Cuarzo detrític
- Recristalizaciones
- Rel. micrita
- Rel. inertita
- Rel. ca
- Mosaics de macroquars

Fossils

- Moluscos
- Anélidos
- Bivalbas
- Incertae Sedis
- Braquiópodos
- Rotalina
- Gasterópodos
- Bioclastos indet.
- Poríferos
- Espícules
- Equinoideos
- Dinoflagelados
- Algas verdes
- Algas rojas
- Algas carofíceas
- Ostrácodos
- Foraminíferos
- Briozoos

Alteracions tèrmiques

Fractures

Concreció

Sense

Sense fractures

No

Arxiu

Dibuix

Observacions

Con depòsit superficial de pátina ferruginosa.

Foliáceo de retoque plano  
F311 (Retoque plano bifacial)

Retoque:  
P(couvrant)b

Tiene fracturas en la punta y en el talón (es indet. porque aunque se ve plano no está)

**Para esta pieza, no se deben tomar en cuenta las fotografías del análisis del 2011**

<b>N. Inventari</b>	<b>N. referència</b>
64	3138

<b>Jaciment</b>
Pantà de Foix

<b>T. Sílex</b>	<b>Dist. color</b>	<b>Pàtina</b>	<b>% Pàtina</b>
Marí	Zonal	Sense	
<b>Transparència</b>	<b>Mida gra</b>	<b>Textura</b>	
Opac/Transp	Molt fi	Heterogènia	
<b>Superfície</b>	<b>Aptitud de talla</b>	<input checked="" type="checkbox"/> Mudstone <input type="checkbox"/> Wackestone <input type="checkbox"/> Packstone <input type="checkbox"/> Grainstone	
Llisa	Alta		
<b>Obs.</b>			

<b>Còrtex</b>	<b>Tipo</b>	<b>Rodament</b>	<b>Litologia</b>	<b>Contacte</b>
NC				
<b>Inclusions</b>		<b>Fossils</b>		
<input checked="" type="checkbox"/> Óx. metàlics <input checked="" type="checkbox"/> Gr. hematites <input type="checkbox"/> Dend. pirolusita <input type="checkbox"/> Romboedros dolomita <input type="checkbox"/> Pseud. len. yeso <input type="checkbox"/> Cuarzo detrític <input type="checkbox"/> Recristalizaciones <input type="checkbox"/> Rel. micrita <input checked="" type="checkbox"/> Rel. inertita <input type="checkbox"/> Rel. ca <input type="checkbox"/> Mosaics de macroquars		<input type="checkbox"/> Moluscos <input type="checkbox"/> Bivalbas <input type="checkbox"/> Braquiòpodos <input type="checkbox"/> Gasteròpodos <input type="checkbox"/> Poríferos <input type="checkbox"/> Equinoideos <input type="checkbox"/> Algas verdes <input type="checkbox"/> Algas rojas <input type="checkbox"/> Algas carofíceas <input type="checkbox"/> Ostrácodos <input checked="" type="checkbox"/> Foraminíferos <input type="checkbox"/> Briozoos		
<b>Alteracions tèrmiques</b>		<b>Fractures</b>	<b>Concreció</b>	
Sense		Sense fractures	No	

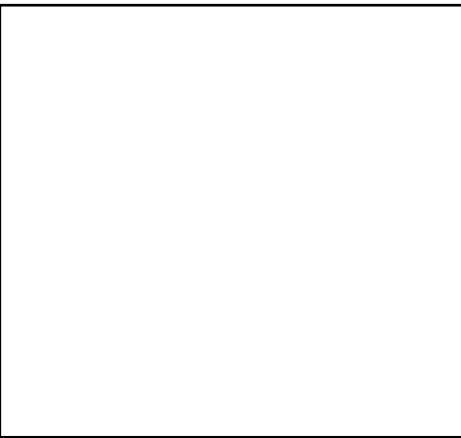
<b>Mesures L - A - G</b>	<b>Pes</b>	<b>Taló</b>	<b>Secció</b>
152 16 3	13.33	D	Trapezoidal

<b>Utilització</b>	Pátina de cereal
--------------------	------------------

Arxiu

Dibuix

Observacions



Fragmentada en 4  
 Restos de inertitas?  
 formainífero?

Lámina de sección trapezoidal. Retoque S(escaleriformepd sen) · S (escaleriforme)pd dist med dex + S(P)pd dex

Tiene contrabulbo y retoque en la zona proximal ventral y dorsal.

<b>N. Inventari</b>	<b>N. referència</b>
65	6152 (86)

<b>Jaciment</b>
Pantà de Foix

<b>T. Sílex</b>	<b>Dist. color</b>	<b>Pàtina</b>	<b>% Pàtina</b>
Continental	Irregular	Sense	
<b>Transparència</b>	<b>Mida gra</b>	<b>Textura</b>	
Opac/Transp	Molt fi	Heterogènia	
<b>Superfície</b>	<b>Aptitud de talla</b>	<input checked="" type="checkbox"/> Mudstone <input type="checkbox"/> Wackestone <input type="checkbox"/> Packstone <input type="checkbox"/> Grainstone	
Llisa	Alta		
<b>Obs.</b>			

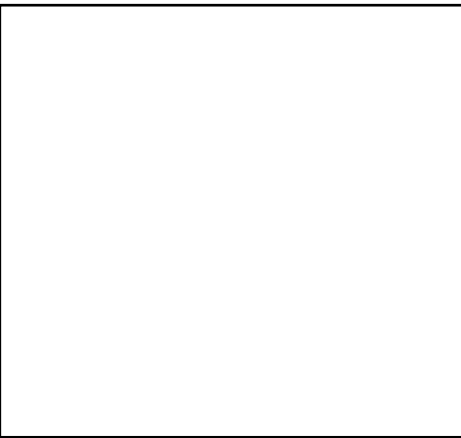
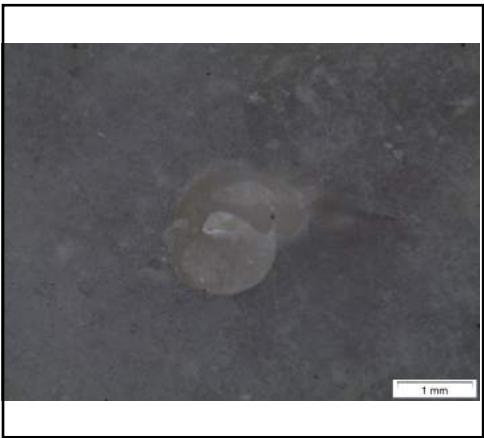
<b>Còrtex</b>	<b>Tipo</b>	<b>Rodament</b>	<b>Litologia</b>	<b>Contacte</b>
NC				
<b>Inclusions</b>		<b>Fossils</b>		
<input checked="" type="checkbox"/> Óx. metàlics <input checked="" type="checkbox"/> Gr. hematites <input type="checkbox"/> Dend. pirolusita <input type="checkbox"/> Romboedros dolomita <input type="checkbox"/> Pseud. len. yeso <input type="checkbox"/> Cuarzo detrític <input type="checkbox"/> Recristalizaciones <input type="checkbox"/> Rel. micrita <input type="checkbox"/> Rel. inertita <input type="checkbox"/> Rel. ca <input checked="" type="checkbox"/> Mosaics de macroquars		<input type="checkbox"/> Moluscos <input type="checkbox"/> Bivalbas <input type="checkbox"/> Braquiópodos <input checked="" type="checkbox"/> Gasterópodos <input type="checkbox"/> Poríferos <input type="checkbox"/> Equinoideos <input type="checkbox"/> Algas verdes <input type="checkbox"/> Algas rojas <input type="checkbox"/> Algas carofíceas <input type="checkbox"/> Ostrácodos <input type="checkbox"/> Foraminíferos <input type="checkbox"/> Briozoos		
<b>Alteracions tèrmiques</b>		<b>Fractures</b>	<b>Concreció</b>	
Sense		Sense fractures	No	

<b>Mesures L - A - G</b>	<b>Pes</b>	<b>Taló</b>	<b>Secció</b>
129 15 6	13.35	L	Mixta

<b>Utilització</b>	Pátina de cereal
--------------------	------------------

Arxiu

Dibuix



Observacions

Fragmentada en 3  
 Es el mismo tipo de sílex con gasterópodos que hemos visto antes en varias piezas de este mismo conjunto, aunque en este caso no observo carofitos y el porcentaje de elementos figurados es mucho menor.

Retoque: S(Escaleriforme)p d sen · Smd dist med dext - Spd - P env prox dext En la zona ventral de l parte proximal, tiene algun retoque (ademas tiene un contrabulbo)

<b>N. Inventari</b>	<b>N. referència</b>
66	6155(90)

<b>Jaciment</b>
Pantà de Foix

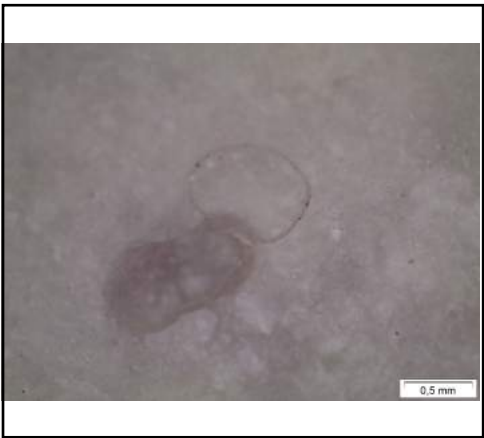
<b>T. Sílex</b>	<b>Dist. color</b>	<b>Pàtina</b>	<b>% Pàtina</b>
Continental	Zonal	Blanca	Marginal
<b>Transparència</b>	<b>Mida gra</b>	<b>Textura</b>	
Opaca	Fi	Heterogènia	
<b>Superfície</b>	<b>Aptitud de talla</b>	<input type="checkbox"/> Mudstone <input checked="" type="checkbox"/> Wackestone <input checked="" type="checkbox"/> Packstone <input type="checkbox"/> Grainstone	
Llisa/Rugosa	Alta		
<b>Obs.</b>			

<b>Còrtex</b>	<b>Tipo</b>	<b>Rodament</b>	<b>Litologia</b>	<b>Contacte</b>
NC				
<b>Inclusions</b>		<b>Fossils</b>		
<input type="checkbox"/> Óx. metàlics <input checked="" type="checkbox"/> Gr. hematites <input type="checkbox"/> Dend. pirolusita <input type="checkbox"/> Romboedros dolomita <input type="checkbox"/> Pseud. len. yeso <input type="checkbox"/> Cuarzo detrític <input type="checkbox"/> Recristalizaciones <input type="checkbox"/> Rel. micrita <input type="checkbox"/> Rel. inertita <input type="checkbox"/> Rel. ca <input checked="" type="checkbox"/> Mosaics de macroquars		<input type="checkbox"/> Moluscos <input type="checkbox"/> Bivalbas <input type="checkbox"/> Braquiópodos <input checked="" type="checkbox"/> Gasterópodos <input type="checkbox"/> Poríferos <input type="checkbox"/> Equinoideos <input type="checkbox"/> Algas verdes <input type="checkbox"/> Algas rojas <input type="checkbox"/> Algas carofíceas <input type="checkbox"/> Ostrácodos <input type="checkbox"/> Foraminíferos <input type="checkbox"/> Briozoos		
<b>Alteracions tèrmiques</b>		<b>Fractures</b>	<b>Concreció</b>	
Sense		Sense fractures	No	

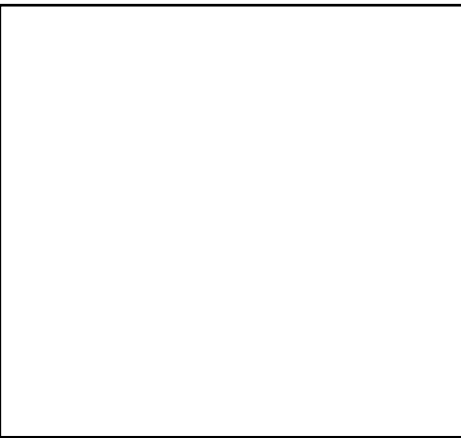
<b>Mesures L - A - G</b>	<b>Pes</b>	<b>Taló</b>	<b>Secció</b>
(50) 20 4	7.16	Sense	Trapezoidal

<b>Utilització</b>	ESTUDIO TRACEOLÓGICO DISPONIBLE
--------------------	---------------------------------

Arxiu



Dibuix



Observacions

Fragmento mesial de lámina.  
 Buscar si son collorgues (tienen o no gasterópodos?): Tanto las piezas 6155(90), 6154, 6153 corresponden al mismo tipo de sílex.

RETOQUE:

Smd dex

Del lado izquierdo solo tiene un tipo de retoque, posiblemente de uso, de tipo inverso.

N. Inventari

67

N. referència

6156 (89)

Jaciment

Pantà de Foix

T. Sílex

Dist. color

Pàtina

% Pàtina

Indeterminabl

Bandejada

Blanca

Total

Transparència

Opaca

Mida gra

Molt fi

Textura

Heterogènia

Superfície

Llisa

Aptitud de talla

Molt alta

 Mudstone Wackestone Packstone Grainstone

Obs.

FORCALQUIER

Mesures L - A - G

Pes

Taló

Secció

(60)

22

5

7.39

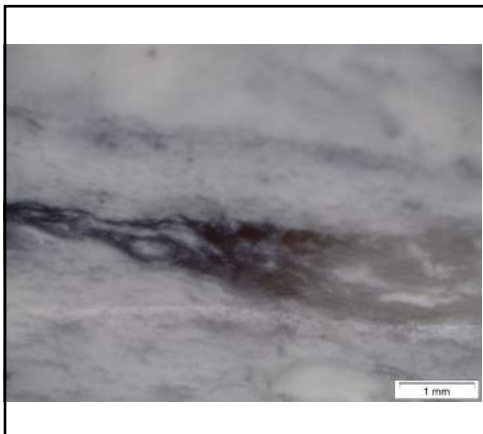
Li

Trapezoidal

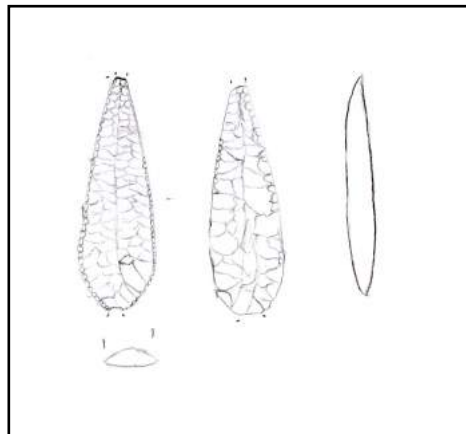
Utilització

Informe de traceologia disponible

Arxiu



Dibuix



Observacions

Sílex FORCALQUIER (Alta provenca, Francia)

Fragmento proximal de lámina

**Retoque:**

Smd sen · Smd dex

Talón con retoques por presión.

Existe una fotografía de posible gasterópodo, pero no estamos seguros. Podría tratarse de la puntita del caracol o a uno muy pequeño.,

<b>N. Inventari</b>	<b>N. referència</b>
68	6154(88)

<b>Jaciment</b>
Pantà de Foix

<b>T. Sílex</b>	<b>Dist. color</b>	<b>Pàtina</b>	<b>% Pàtina</b>
Continental	Zonal	Blanca	Total
<b>Transparència</b>	<b>Mida gra</b>	<b>Textura</b>	
Opaca	Fi	Heterogènia	
<b>Superfície</b>	<b>Aptitud de talla</b>	<input type="checkbox"/> Mudstone <input checked="" type="checkbox"/> Wackestone <input checked="" type="checkbox"/> Packstone <input type="checkbox"/> Grainstone	
Llisa	Alta		
<b>Obs.</b>	Textura brochoide		

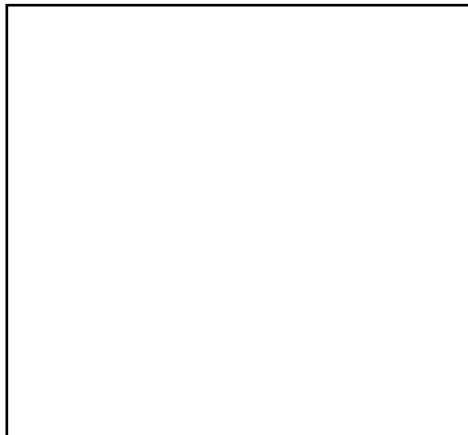
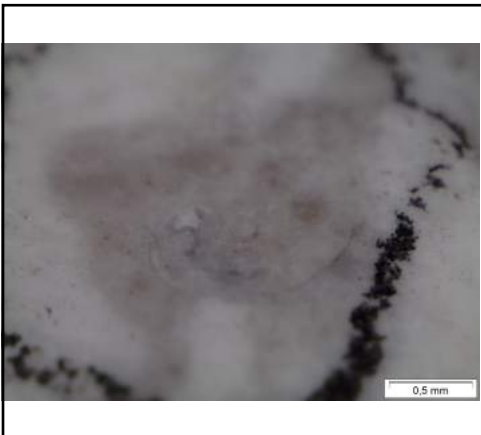
<b>Còrtex</b>	<b>Tipo</b>	<b>Rodament</b>	<b>Litologia</b>	<b>Contacte</b>
NC				
<b>Inclusions</b>		<b>Fossils</b>		
<input checked="" type="checkbox"/> Óx. metàlics <input checked="" type="checkbox"/> Gr. hematites <input type="checkbox"/> Dend. pirolusita <input type="checkbox"/> Romboedros dolomita <input type="checkbox"/> Pseud. len. yeso <input type="checkbox"/> Cuarzo detrític <input type="checkbox"/> Recristalizaciones <input type="checkbox"/> Rel. micrita <input type="checkbox"/> Rel. inertita <input type="checkbox"/> Rel. ca <input type="checkbox"/> Mosaics de macroquars		<input type="checkbox"/> Moluscos <input type="checkbox"/> Bivalbas <input type="checkbox"/> Braquiòpodos <input checked="" type="checkbox"/> Gasteròpodos <input type="checkbox"/> Poríferos <input type="checkbox"/> Equinoideos <input type="checkbox"/> Algas verdes <input type="checkbox"/> Algas rojas <input type="checkbox"/> Algas carofíceas <input type="checkbox"/> Ostrácodos <input type="checkbox"/> Foraminíferos <input type="checkbox"/> Briozoos		
<b>Alteracions tèrmiques</b>		<b>Fractures</b>	<b>Concreció</b>	
Sense		Sense fractures	No	

<b>Mesures L - A - G</b>	<b>Pes</b>	<b>Taló</b>	<b>Secció</b>
(82) 15 5	10,74	L	Trapezoidal

<b>Utilització</b>	MIRAR TRACEOLOGÍA
--------------------	-------------------

Arxiu

Dibuix



Observacions

Fragmentada. Solo tenemos prox. med.

Retoque:  
 S(escaleriforme)pd sen · S(escaleriforme)pd med dex - S(A)pd prox dex

SÍLEX COLLORGUES

<b>N. Inventari</b>	<b>N. referència</b>
69	6153 (85)

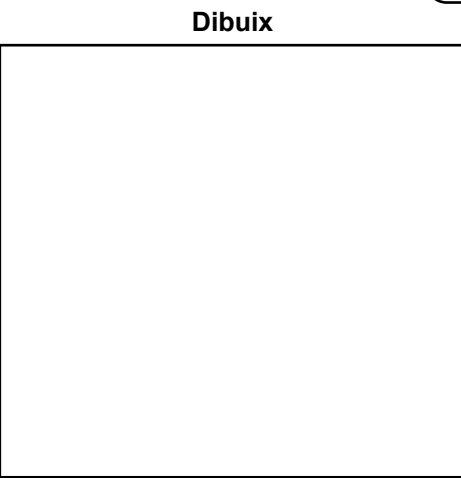
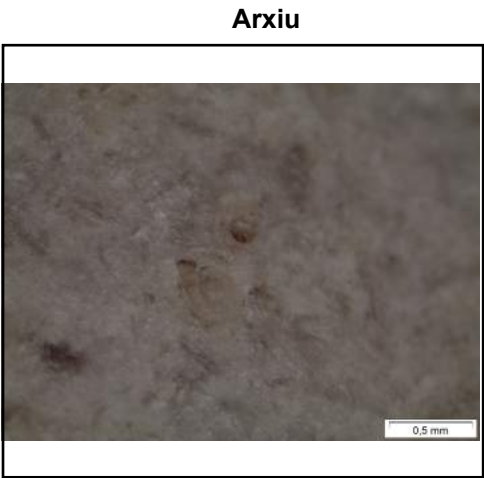
<b>Jaciment</b>
Pantà de Foix

<b>T. Sílex</b>	<b>Dist. color</b>	<b>Pàtina</b>	<b>% Pàtina</b>
Continental	Irregular	Sense	
<b>Transparència</b>	<b>Mida gra</b>	<b>Textura</b>	
Opac/Transp	Fi	Heterogènia	
<b>Superfície</b>	<b>Aptitud de talla</b>	<input type="checkbox"/> Mudstone <input type="checkbox"/> Wackestone <input checked="" type="checkbox"/> Packstone <input type="checkbox"/> Grainstone	
Llisa	Alta		
<b>Obs.</b>	Textura brechoide. Pos. collorgues		

<b>Còrtex</b>	<b>Tipo</b>	<b>Rodament</b>	<b>Litologia</b>	<b>Contacte</b>
NC				
<b>Inclusions</b>		<b>Fossils</b>		
<input type="checkbox"/> Óx. metàlics <input type="checkbox"/> Gr. hematites <input type="checkbox"/> Dend. pirolusita <input checked="" type="checkbox"/> Romboedros dolomita <input type="checkbox"/> Pseud. len. yeso <input type="checkbox"/> Cuarzo detrític <input type="checkbox"/> Recristalizaciones <input checked="" type="checkbox"/> Rel. micrita <input type="checkbox"/> Rel. inertita <input type="checkbox"/> Rel. ca <input type="checkbox"/> Mosaics de macroquars		<input type="checkbox"/> Moluscos <input type="checkbox"/> Bivalbas <input type="checkbox"/> Braquiòpodos <input checked="" type="checkbox"/> Gasteròpodos <input type="checkbox"/> Poríferos <input type="checkbox"/> Equinoideos <input type="checkbox"/> Algas verdes <input type="checkbox"/> Algas rojas <input checked="" type="checkbox"/> Algas carofíceas <input checked="" type="checkbox"/> Ostrácodos <input type="checkbox"/> Foraminíferos <input type="checkbox"/> Briozoos		
<b>Alteracions tèrmiques</b>		<b>Fractures</b>	<b>Concreció</b>	
Sense		Sense fractures	No	

<b>Mesures L - A - G</b>	<b>Pes</b>	<b>Taló</b>	<b>Secció</b>
? 19 4	27,01	D	Trapezoidal

<b>Utilització</b>	Estudio de traceología
--------------------	------------------------



**Observacions**

SÍLEX COLLORGUES

Tallos y ogóneos de algas carófitas + Pseudomorfos calcita/dolomita ?

Fragmentada por la parte distal.

Retoque:  
S(escaleriforme)pd sen · S(escaleriforme)pd dex

En la zona ventral no hay retoques

<b>N. Inventari</b>	<b>N. referència</b>
70	MV1842//punta

<b>Jaciment</b>
Molinot

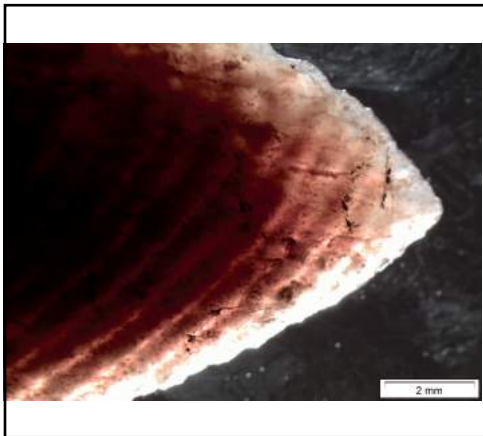
<b>T. Sílex</b>	<b>Dist. color</b>	<b>Pàtina</b>	<b>% Pàtina</b>
Continental	Bandejada	Sense	
<b>Transparència</b>	<b>Mida gra</b>	<b>Textura</b>	
Opac/Transp	Molt fi	Heterogènia	
<b>Superfície</b>	<b>Aptitud de talla</b>	<input type="checkbox"/> Mudstone <input checked="" type="checkbox"/> Wackestone <input type="checkbox"/> Packstone <input type="checkbox"/> Grainstone	
Llisa	Molt alta		
<b>Obs.</b>	Anillos de Liesegang		

<b>Còrtex</b>	<b>Tipo</b>	<b>Rodament</b>	<b>Litologia</b>	<b>Contacte</b>
CM	P	ER	Calcàrica	Net
<b>Inclusions</b>		<b>Fossils</b>		
<input type="checkbox"/> Óx. metàlics <input type="checkbox"/> Gr. hematites <input type="checkbox"/> Dend. pirolusita <input type="checkbox"/> Romboedros dolomita <input type="checkbox"/> Pseud. len. yeso <input type="checkbox"/> Cuarzo detrític <input type="checkbox"/> Recristalizaciones <input type="checkbox"/> Rel. micrita <input type="checkbox"/> Rel. inertita <input type="checkbox"/> Rel. ca <input type="checkbox"/> Mosaics de macroquars		<input type="checkbox"/> Moluscos <input type="checkbox"/> Bivalbas <input type="checkbox"/> Braquiópodos <input type="checkbox"/> Gasterópodos <input type="checkbox"/> Poríferos <input type="checkbox"/> Equinoideos <input type="checkbox"/> Algas verdes <input type="checkbox"/> Algas rojas <input checked="" type="checkbox"/> Algas carofíceas <input type="checkbox"/> Ostrácodos <input type="checkbox"/> Foraminíferos <input type="checkbox"/> Briozoos		
<b>Alteracions tèrmiques</b>		<b>Fractures</b>	<b>Concreció</b>	
Llustre tèrmic		Sense fractures	No	

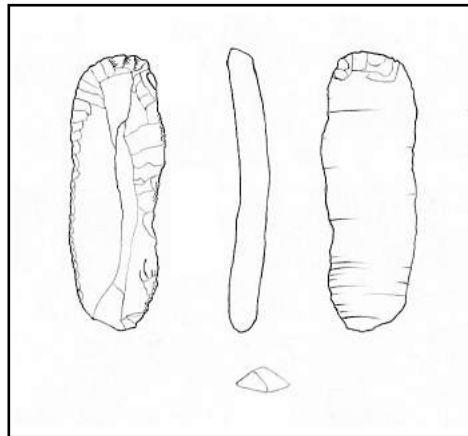
<b>Mesures L - A - G</b>	<b>Pes</b>	<b>Taló</b>	<b>Secció</b>
46 16 5	3.33	Sense	Romboidal

<b>Utilització</b>

Arxiu



Dibuix



Observacions

Punta foliáea con lustre térmico. Posee anillos de liesegang (foto)  
 Presenta un pequeña fractura en la punta, posiblemente debido al impacto.  
 La pieza tiene retoque plano couvrant escaleriforme.

Presenta un pequeño desgaste del filo en la parte distal derecha y uno menos marcado en el lado izquierdo.  
 Además presenta un retoque marginal en buenas condiciones en la zona proximal (ambos lados) (Enmangue?)

FORCALQUIER

N. Inventari

71

N. referència

MV1868//

Jaciment

Cova del Pany

T. Sílex

Continental

Dist. color

Bandejada

Pàtina

Sense

% Pàtina

Transparència

Opaca

Mida gra

Fi

Textura

Heterogènia

Superfície

Llisa

Aptitud de talla

Alta

Obs.

Anillos de Liesegang

 Mudstone Wackestone Packstone Grainstone

Mesures L - A - G

31

15

4

Pes

2.28

Taló

Sense

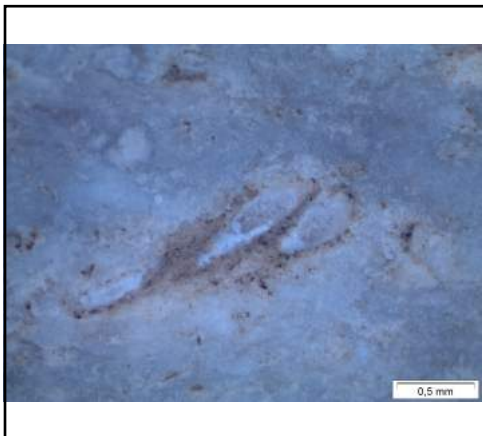
Secció

Trapezoidal

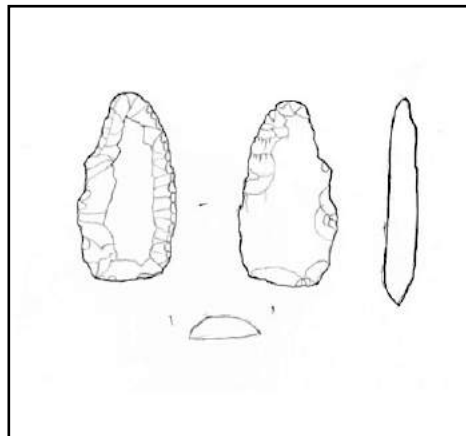
Utilització

Pàtina de cereal

Arxiu



Dibuix



Observacions

Lámina apuntada.

Posee pátina de cereal en los fillos

Está pulimentada

Retoque plano (env) en los bordes de la cara dorsal. En la zona distal der. tiene un retoque simple (a)

Còrtex

NC

Tipo

Rodament

Litologia

Contacte

Inclusions

- Óx. metálicos
- Gr. hematites
- Dend. pirolusita
- Romboedros dolomita
- Pseud. len. yeso
- Cuarzo detrítico
- Recristalizaciones
- Rel. micrita
- Rel. inertita
- Rel. ca
- Mosaics de macroquars

Fossils

- Moluscos
- Bivalbas
- Braquiópodos
- Gasterópodos
- Poríferos
- Equinoideos
- Algas verdes
- Algas rojas
- Algas carofíceas
- Ostrácodos
- Foraminíferos
- Briozoos
- Anélidos
- Incertae Sedis
- Rotalina
- Bioclastos indet.
- Espículas
- Dinoflagelados

Alteracions tèrmiques

Llustre tèrmic

Fractures

Sense fractures

Concreció

No

N. Inventari

72

N. referència

MV1841//M66\_125

Jaciment

Molinot

T. Sílex

Continental

Dist. color

Llisa

Pàtina

Sense

% Pàtina

Transparència

Opac/Transp

Mida gra

Molt fi

Textura

Heterogènia

Superfície

Llisa

Aptitud de talla

Molt alta

- Mudstone  
 Wackestone  
 Packstone  
 Grainstone

Obs.

Còrtex

CM

Tipo

P

Rodament

ER

Litologia

Calcàrica

Contacte

Net

Inclusions

- Óx. metàlics  
 Gr. hematites  
 Dend. pirolusita  
 Romboedros dolomita  
 Pseud. len. yeso  
 Cuarzo detrític  
 Recristalitzacions  
 Rel. micrita  
 Rel. inertita  
 Rel. ca  
 Mosaics de macroquars

Fossils

- Moluscos  
 Bivalbas  
 Braquiòpodos  
 Gasteròpodos  
 Poríferos  
 Equinoideos  
 Algas verdes  
 Algas rojas  
 Algas carofíceas  
 Ostrácodos  
 Foraminíferos  
 Briozoos
- Anélidos  
 Incertae Sedis  
 Rotalina  
 Bioclastos indet.  
 Espícules  
 Dinoflagelados

Alteracions tèrmiques

Llustre tèrmic

Fractures

Sense fractures

Concreció

No

Mesures L - A - G

41

15

4

Pes

2.53

Taló

Sense

Secció

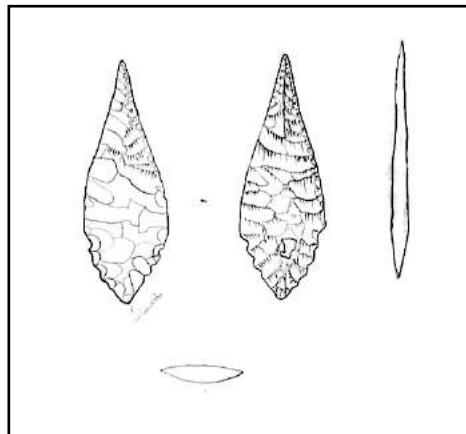
Romboidal

Utilització

Arxiu



Dibuix



Observacions

Punta de retoque plano bifacial.

En la zona principal presenta tres muescas por lado, probablemente para ayudar al empuje de la pieza.

Llustre tèrmic

N. Inventari

73

N. referència

MV1869

Jaciment

Cova del Pany

T. Sílex

Continental

Dist. color

Motejada

Pàtina

Blanca

% Pàtina

Marginal

Transparència

Opac/Transp

Mida gra

Fi

Textura

Homogènia

Superfície

Llisa

Aptitud de talla

Alta

Obs.

 Mudstone Wackestone Packstone Grainstone

Mesures L - A - G

44

14

4

Pes

2.69

Taló

I

Secció

Romboidal

Utilització

Desgaste en la zona distal (gratador)

Còrtex

NC

Tipo

Rodament

Litologia

Contacte

Inclusions

- Óx. metàlics  
 Gr. hematites  
 Dend. pirolusita  
 Romboedros dolomita  
 Pseud. len. yeso  
 Cuarzo detrític  
 Recristalizaciones  
 Rel. micrita  
 Rel. inertita  
 Rel. ca  
 Mosaics de macroquars

Fossils

- Moluscos  
 Bivalbas  
 Braquiópodos  
 Gasterópodos  
 Poríferos  
 Equinoideos  
 Algas verdes  
 Algas rojas  
 Algas carofíceas  
 Ostrácodos  
 Foraminíferos  
 Briozoos
- Anélidos  
 Incertae Sedis  
 Rotalina  
 Bioclastos indet.  
 Espícules  
 Dinoflagelados

Alteracions tèrmiques

Llustre tèrmic

Fractures

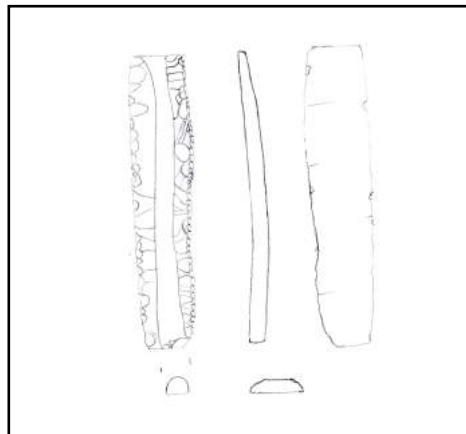
Geodes

Concreció

Arxiu



Dibuix



Observacions

Lámina de sílex de retoca plano couvrant escaleriforme.  
 Está termoalterado  
 Tiene geodas  
 La parte distal recuerda a un gratador y posee desgaste

N. Inventari

74

N. referència

MV1845

Jaciment

Molinot

T. Sílex

Continental

Dist. color

Motejada

Pàtina

Sense

% Pàtina

Transparència

Opaca

Mida gra

Fi

Textura

Heterogènia

Superfície

Llisa/Rugosa

Aptitud de talla

Mitja-alta

- Mudstone  
 Wackestone  
 Packstone  
 Grainstone

Obs.

Mesures L - A - G

68

23

7

Pes

14.92

Taló

L

Secció

Trapezoidal

Utilització

Pulimentado tecnológico

Còrtex

NC

Tipo

Rodament

Litologia

Contacte

Inclusions

- Óx. metàlics  
 Gr. hematites  
 Dend. pirolusita  
 Romboedros dolomita  
 Pseud. len. yeso  
 Cuarzo detrític  
 Recristalizaciones  
 Rel. micrita  
 Rel. inertita  
 Rel. ca  
 Mosaics de macroquars

Fossils

- Moluscos  
 Bivalbas  
 Braquiópodos  
 Gasterópodos  
 Poríferos  
 Equinoideos  
 Algas verdes  
 Algas rojas  
 Algas carofíceas  
 Ostrácodos  
 Foraminíferos  
 Briozoos
- Anélidos  
 Incertae Sedis  
 Rotalina  
 Bioclastos indet.  
 Espícules  
 Dinoflagelados

Alteracions tèrmiques

Sense

Fractures

Sense fractures

Concreció

No

Arxiu

Dibuix



Observacions

Raspador en soporte laminar de talón liso. Además, tiene retoque simple en izq y S(P) profundo en med dist der.

Pulimentada

Presenta desgaste de uso en la zona frontal (gratador) (indicado en el dibujo) y en el lado derecho (indicado en el dibujo)

<b>N. Inventari</b>	<b>N. referència</b>
75	MV1815//MB1

<b>Jaciment</b>
Molinot

<b>T. Sílex</b>	<b>Dist. color</b>	<b>Pàtina</b>	<b>% Pàtina</b>
Marí	Llisa	Sense	
<b>Transparència</b>	<b>Mida gra</b>	<b>Textura</b>	
Opac/Transp	Molt fi	Heterogènia	
<b>Superfície</b>	<b>Aptitud de talla</b>	<input type="checkbox"/> Mudstone <input type="checkbox"/> Wackestone <input checked="" type="checkbox"/> Packstone <input type="checkbox"/> Grainstone	
Llisa	Molt alta		
<b>Obs.</b>			

<b>Còrtex</b>	<b>Tipo</b>	<b>Rodament</b>	<b>Litologia</b>	<b>Contacte</b>
NC				
<b>Inclusions</b>		<b>Fossils</b>		
<input type="checkbox"/> Óx. metàlics <input checked="" type="checkbox"/> Gr. hematites <input type="checkbox"/> Dend. pirolusita <input type="checkbox"/> Romboedros dolomita <input type="checkbox"/> Pseud. len. yeso <input type="checkbox"/> Cuarzo detrític <input type="checkbox"/> Recristalizaciones <input checked="" type="checkbox"/> Rel. micrita <input type="checkbox"/> Rel. inertita <input type="checkbox"/> Rel. ca <input type="checkbox"/> Mosaics de macroquars		<input type="checkbox"/> Moluscos <input type="checkbox"/> Bivalbas <input type="checkbox"/> Braquiòpodos <input type="checkbox"/> Gasteròpodos <input type="checkbox"/> Poríferos <input type="checkbox"/> Equinoideos <input type="checkbox"/> Algas verdes <input type="checkbox"/> Algas rojas <input type="checkbox"/> Algas carofíceas <input type="checkbox"/> Ostrácodos <input checked="" type="checkbox"/> Foraminíferos <input type="checkbox"/> Briozoos		
<b>Alteracions tèrmiques</b>		<b>Fractures</b>	<b>Concreció</b>	
		Sense fractures	No	

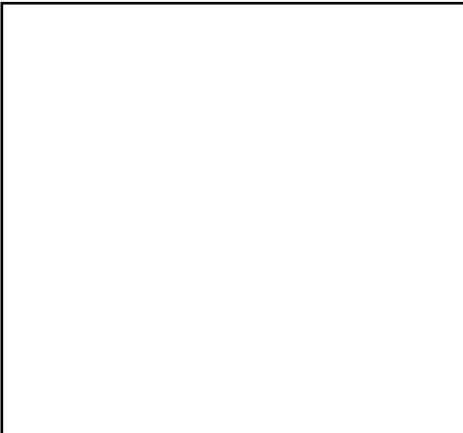
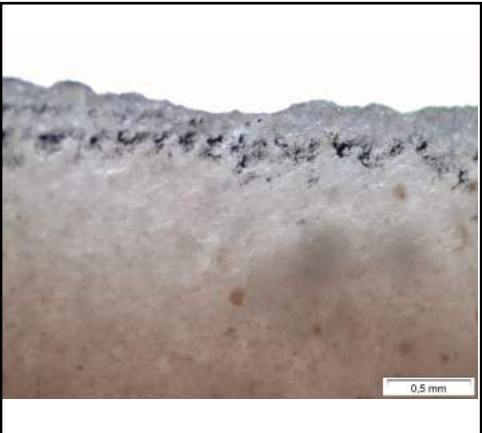
<b>Mesures L - A - G</b>	<b>Pes</b>	<b>Taló</b>	<b>Secció</b>
80 20 3	3,49	I	Mixta

<b>Utilització</b>	
--------------------	--

Arxiu

Dibuix

Observacions



Sílex melado.  
 Hacemos foto de un microforaminífero. Los dos fillos presenten microretoques probablemente de uso.

N. Inventari

76

N. referència

M66/103

Jaciment

Molinot

T. Sílex

Continental

Dist. color

Bandejada

Pàtina

Sense

% Pàtina

Transparència

Opaca

Mida gra

Fi

Textura

Heterogènia

Superfície

Llisa

Aptitud de talla

Molt alta

 Mudstone Wackestone Packstone Grainstone

Obs.

Sistema Los Monegros

Mesures L - A - G

57

19

7

Pes

6,83

Taló

Sense

Secció

Utilització

Còrtex

NC

Tipo

Rodament

Litologia

Contacte

Inclusions

- Óx. metàlics  
 Gr. hematites  
 Dend. pirolusita  
 Romboedros dolomita  
 Pseud. len. yeso  
 Cuarzo detrític  
 Recristalizaciones  
 Rel. micrita  
 Rel. inertita  
 Rel. ca  
 Mosaics de macroquars

Fossils

- Moluscos  
 Bivalbas  
 Braquiópodos  
 Gasterópodos  
 Poríferos  
 Equinoideos  
 Algas verdes  
 Algas rojas  
 Algas carofíceas  
 Ostrácodos  
 Foraminíferos  
 Briozoos
- Anélidos  
 Incertae Sedis  
 Rotalina  
 Bioclastos indet.  
 Espícules  
 Dinoflagelados

Alteracions tèrmiques

Sense

Fractures

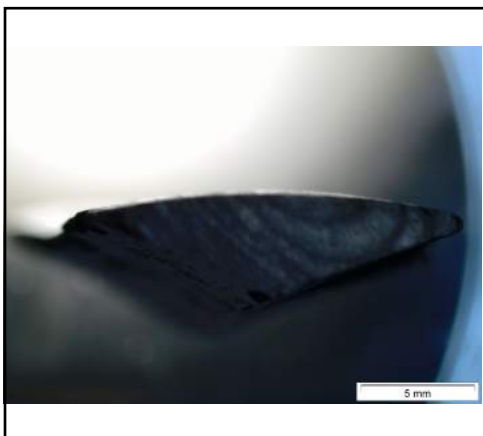
Sense fractures

Concreció

No

Arxiu

Dibuix



Observacions

Fragmento mesial de lámina de sección triangular.  
 Presenta anillos de Liesegang.  
 Abundantes secciones de bioclastos indeterminados. Sección de gasterópodo. secciones transversales de tallos de caroficias.  
 Ambos fillos retocados de retoque simple sinuoso, en parte probablemente, por el uso

N. Inventari

77

N. referència

M66/163

Jaciment

Molinot

T. Sílex

Continental

Dist. color

Bandejada

Pàtina

Sense

% Pàtina

Transparència

Opaca

Mida gra

Gruixut

Textura

Superfície

Llisa/Rugosa

Aptitud de talla

Alta

Obs.

Sistema Los Monegros

- Mudstone  
 Wackestone  
 Packstone  
 Grainstone

Mesures L - A - G

75

31

6

Pes

19,78

Taló

F

Secció

Trapezoidal

Utilització

Còrtex

NC

Tipo

Rodament

Litologia

Contacte

Inclusions

- Óx. metàlics  
 Gr. hematites  
 Dend. pirolusita  
 Romboedros dolomita  
 Pseud. len. yeso  
 Cuarzo detrític  
 Recristalizaciones  
 Rel. micrita  
 Rel. inertita  
 Rel. ca  
 Mosaics de macroquars

Fossils

- Moluscos  
 Bivalbas  
 Braquiòpodos  
 Gasteròpodos  
 Poríferos  
 Equinoideos  
 Algas verdes  
 Algas rojas  
 Algas carofíceas  
 Ostrácodos  
 Foraminíferos  
 Briozoos
- Anélidos  
 Incertae Sedis  
 Rotalina  
 Bioclastos indet.  
 Espícules  
 Dinoflagelados

Alteracions tèrmiques

Sense

Fractures

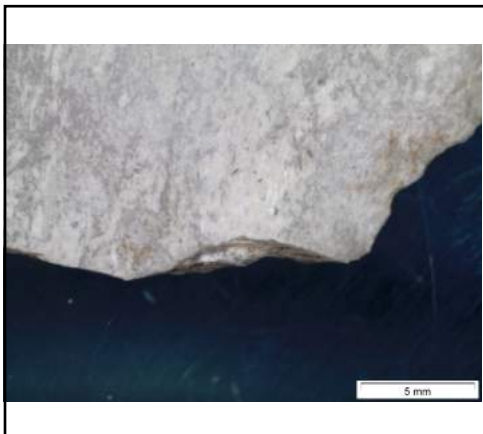
Fissures

Concreció

No

Arxiu

Dibuix



Observacions

Fragmento proximal de gran lámina.

Abundantes secciones transversales de tallos de algas de carofitas.

Secciones de probables ostrácodos

Secciones de bioclastos indeterminados.

No parece un soporte Forcalquier, técnicamente se encuentra muy alejada de esa producción

**N. Inventari**

78

**N. referència**

M14/2/190

**Jaciment**

Molinot

**T. Sílex**

Marí

**Dist. color**

Irregular

**Pàtina**

Sense

**% Pàtina****Transparència**

Opac/Transp

**Mida gra**

Molt fi

**Textura**

Heterogènia

**Superfície**

Llisa

**Aptitud de talla**

Molt alta

 Mudstone Wackestone Packstone Grainstone**Obs.****Còrtex**

CM

**Tipo**

P

**Rodament**

ER

**Litologia**

Calcària

**Contacte**

Net

**Inclusions**

- Óx. metàlics  
 Gr. hematites  
 Dend. pirolusita  
 Romboedros dolomita  
 Pseud. len. yeso  
 Cuarzo detrític  
 Recristalizaciones  
 Rel. micrita  
 Rel. inertita  
 Rel. ca  
 Mosaics de macroquars

**Fossils**

- Moluscos  
 Bivalbas  
 Braquiópodos  
 Gasterópodos  
 Poríferos  
 Equinoideos  
 Algas verdes  
 Algas rojas  
 Algas carofíceas  
 Ostrácodos  
 Foraminíferos  
 Briozoos
- Anélidos  
 Incertae Sedis  
 Rotalina  
 Bioclastos indet.  
 Espícules  
 Dinoflagelados

**Alteracions tèrmiques**

Sense

**Fractures**

Sense fractures

**Concreció**

No

**Mesures L - A - G**

42

17

5

**Pes**

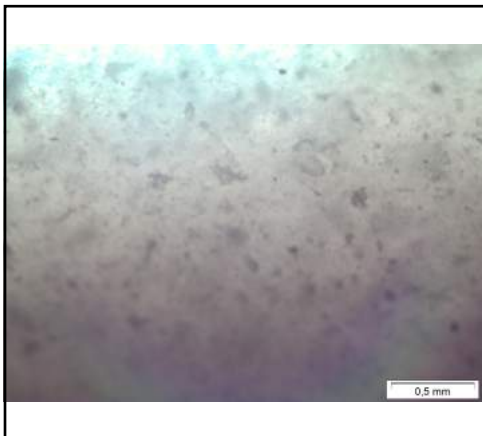
4,63

**Taló**

F

**Secció**

Trapezoidal

**Utilització****Arxiu****Dibuix****Observacions**

Fragmento proximal de lámina. Sección trapezoidal. Secciones de posibles ostrácodos en el córtex.

Textura wackestone con secciones de ostrácodos y microforaminíferos. Posible dinoflagelado (foto)

Retocado el filo derecho. Retoques marginales y sinuosos (uso?)

<b>N. Inventari</b>	<b>N. referència</b>
79	M66_126

<b>Jaciment</b>
Molinot

<b>T. Sílex</b>	<b>Dist. color</b>	<b>Pàtina</b>	<b>% Pàtina</b>
Continental	Llisa	Sense	
<b>Transparència</b>	<b>Mida gra</b>	<b>Textura</b>	
Opac/Transp	Fi	Homogènia	
<b>Superfície</b>	<b>Aptitud de talla</b>	<input checked="" type="checkbox"/> Mudstone	
Llisa/Rugosa	Alta	<input type="checkbox"/> Wackestone	
<b>Obs.</b>		<input type="checkbox"/> Packstone	
		<input type="checkbox"/> Grainstone	

<b>Còrtex</b>	<b>Tipo</b>	<b>Rodament</b>	<b>Litologia</b>	<b>Contacte</b>
NC				
<b>Inclusions</b>		<b>Fossils</b>		
<input type="checkbox"/> Óx. metàlics <input checked="" type="checkbox"/> Gr. hematites <input type="checkbox"/> Dend. pirolusita <input type="checkbox"/> Romboedros dolomita <input type="checkbox"/> Pseud. len. yeso <input type="checkbox"/> Cuarzo detrític <input type="checkbox"/> Recristalizaciones <input type="checkbox"/> Rel. micrita <input type="checkbox"/> Rel. inertita <input type="checkbox"/> Rel. ca <input checked="" type="checkbox"/> Mosaics de macroquars		<input type="checkbox"/> Moluscos <input type="checkbox"/> Bivalbas <input type="checkbox"/> Braquiòpodos <input type="checkbox"/> Gasteròpodos <input type="checkbox"/> Poríferos <input type="checkbox"/> Equinoideos <input type="checkbox"/> Algas verdes <input type="checkbox"/> Algas rojas <input type="checkbox"/> Algas carofíceas <input type="checkbox"/> Ostrácodos <input type="checkbox"/> Foraminíferos <input type="checkbox"/> Briozoos <input type="checkbox"/> Anélidos <input type="checkbox"/> Incertae Sedis <input type="checkbox"/> Rotalina <input type="checkbox"/> Bioclastos indet. <input type="checkbox"/> Espícules <input type="checkbox"/> Dinoflagelados		
<b>Alteracions tèrmiques</b>		<b>Fractures</b>	<b>Concreció</b>	
Llustre tèrmic		Geodes	No	

<b>Mesures L - A - G</b>	<b>Pes</b>	<b>Taló</b>	<b>Secció</b>
25	15	4	1,23
		Sense	Romboidal

<b>Utilització</b>	
--------------------	--

**Arxiu**

**Dibuix**

**Observacions**

Escassos granuls aïllats d'òxids (hematites). Mosaics de macroquars en el reompliment de porositats (geoda).

F311. Retoque plano bifacial envahissant

<b>N. Inventari</b>	<b>N. referència</b>
80	M66_127

<b>Jaciment</b>
Molinot

<b>T. Sílex</b>	<b>Dist. color</b>	<b>Pàtina</b>	<b>% Pàtina</b>
Indeterminado	Llisa	Sense	
<b>Transparència</b>	<b>Mida gra</b>	<b>Textura</b>	
Opac/Transp	Molt fi	Heterogènia	
<b>Superfície</b>	<b>Aptitud de talla</b>	<input type="checkbox"/> Mudstone <input type="checkbox"/> Wackestone <input type="checkbox"/> Packstone <input type="checkbox"/> Grainstone	
Llisa	Molt alta		
<b>Obs.</b>			

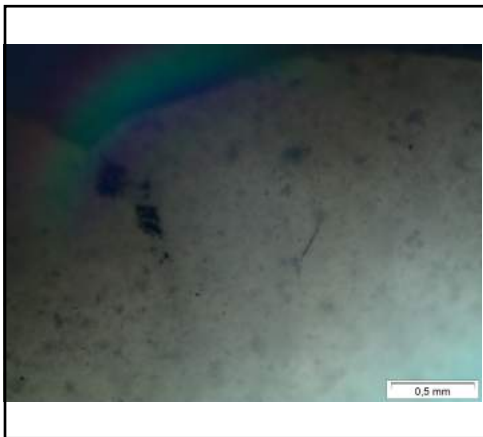
<b>Còrtex</b>	<b>Tipo</b>	<b>Rodament</b>	<b>Litologia</b>	<b>Contacte</b>
MC	P	NR	Calcària	Net
<b>Inclusions</b>		<b>Fossils</b>		
<input type="checkbox"/> Óx. metàlics <input type="checkbox"/> Gr. hematites <input type="checkbox"/> Dend. pirolusita <input type="checkbox"/> Romboedros dolomita <input type="checkbox"/> Pseud. len. yeso <input type="checkbox"/> Cuarzo detrític <input type="checkbox"/> Recristalizaciones <input type="checkbox"/> Rel. micrita <input type="checkbox"/> Rel. inertita <input type="checkbox"/> Rel. ca <input type="checkbox"/> Mosaics de macroquars		<input type="checkbox"/> Moluscos <input type="checkbox"/> Bivalbas <input type="checkbox"/> Braquiópodos <input type="checkbox"/> Gasterópodos <input type="checkbox"/> Poríferos <input type="checkbox"/> Equinoideos <input type="checkbox"/> Algas verdes <input type="checkbox"/> Algas rojas <input type="checkbox"/> Algas carofíceas <input type="checkbox"/> Ostrácodos <input type="checkbox"/> Foraminíferos <input type="checkbox"/> Briozoos		
<input type="checkbox"/> Anélidos <input checked="" type="checkbox"/> Incertae Sedis <input type="checkbox"/> Rotalina <input checked="" type="checkbox"/> Bioclastos indet. <input type="checkbox"/> Espícules <input type="checkbox"/> Dinoflagelados				
<b>Alteracions tèrmiques</b>		<b>Fractures</b>	<b>Concreció</b>	
Llustre tèrmic		Sense fractures	No	

<b>Mesures L - A - G</b>	<b>Pes</b>	<b>Taló</b>	<b>Secció</b>
31 17 3	1,61	Sense	Plana

<b>Utilització</b>	
--------------------	--

Arxiu

Dibuix



Observacions

Sílex tabular grupo A según Vaquer  
El cortex presenta trazas de pulimiento (foto)

Incertae sedis i fragments bioclastics indeterminats, difícil de fer foto

F311. Punta foliàcia bifacial de retoc pla envahissant, perquè la part central d'ambues cares conserva el cortex

**N. Inventari**

81

**N. referència**

MV2463

**Jaciment****T. Sílex****Dist. color****Pàtina****% Pàtina**

Indeterminado

Motejada

Rosada

Total

**Transparència**

Opaca

**Mida gra**

Fi

**Textura**

Heterogènia

**Superfície**

Llisa

**Aptitud de talla**

Alta

- Mudstone  
 Wackestone  
 Packstone  
 Grainstone

**Obs.****Mesures L - A - G**

44

20

6

4,76

**Pes****Taló**

Sense

**Secció**

Romboidal

**Utilització**

fractura distal dreta de tipus burinant per impacte

**Arxiu****Dibuix****Còrtex**

NC

**Tipo****Rodament****Litologia****Contacte****Inclusions**

- Óx. metàlics  
 Gr. hematites  
 Dend. pirolusita  
 Romboedros dolomita  
 Pseud. len. yeso  
 Cuarzo detrític  
 Recristalizaciones  
 Rel. micrita  
 Rel. inertita  
 Rel. ca  
 Mosaics de macroquars

**Fossils**

- Moluscos  
 Bivalbas  
 Braquiópodos  
 Gasterópodos  
 Poríferos  
 Equinoideos  
 Algas verdes  
 Algas rojas  
 Algas carofíceas  
 Ostrácodos  
 Foraminíferos  
 Briozoos
- Anélidos  
 Incertae Sedis  
 Rotalina  
 Bioclastos indet.  
 Espícules  
 Dinoflagelados

**Alteracions tèrmiques**

Llustre tèrmic

**Fractures**

Fissures

**Concreció**

No

**Observacions**

La pàtina rosa fa que el suport sigui opac. Presenta tractament tèrmic. Només s'observen puntuacions blanquinoses groguences distribuïdes aleatòriament respecte a la massa silícia. Algunes d'aquestes puntuacions han deixat una microperforació, en aquests casos es pot veure que es tracta de material carbonatat. En un cas s'observa la secció d'un possible ostràcode (foto).  
foto general de la mostra

Es una punta de retoc pla bifacial que cobreix completament ambdues cares del suport

<b>N. Inventari</b>	<b>N. referència</b>
82	GN900//GN'14/N.la/lc// E10

<b>Jaciment</b>
Cova de la Guineu

<b>T. Sílex</b>	<b>Dist. color</b>	<b>Pàtina</b>	<b>% Pàtina</b>
Continental	Bandejada	Sense	
<b>Transparència</b>	<b>Mida gra</b>	<b>Textura</b>	
Opaca	Fi	Heterogènia	
<b>Superfície</b>	<b>Aptitud de talla</b>	<input type="checkbox"/> Mudstone <input checked="" type="checkbox"/> Wackestone <input type="checkbox"/> Packstone <input type="checkbox"/> Grainstone	
Rugosa	Alta		
<b>Obs.</b>	Anillos de Liesegang		

<b>Còrtex</b>	<b>Tipo</b>	<b>Rodament</b>	<b>Litologia</b>	<b>Contacte</b>
CM	P	ER	Calcària	Net
<b>Inclusions</b>		<b>Fossils</b>		
<input type="checkbox"/> Óx. metàlics <input type="checkbox"/> Gr. hematites <input type="checkbox"/> Dend. pirolusita <input type="checkbox"/> Romboedros dolomita <input type="checkbox"/> Pseud. len. yeso <input type="checkbox"/> Cuarzo detrític <input type="checkbox"/> Recristalizaciones <input type="checkbox"/> Rel. micrita <input type="checkbox"/> Rel. inertita <input checked="" type="checkbox"/> Rel. ca <input checked="" type="checkbox"/> Mosaics de macroquars		<input type="checkbox"/> Moluscos <input type="checkbox"/> Bivalbas <input type="checkbox"/> Braquiópodos <input type="checkbox"/> Gasterópodos <input type="checkbox"/> Poríferos <input type="checkbox"/> Equinoideos <input type="checkbox"/> Algas verdes <input type="checkbox"/> Algas rojas <input checked="" type="checkbox"/> Algas carofíceas <input type="checkbox"/> Ostrácodos <input type="checkbox"/> Foraminíferos <input type="checkbox"/> Briozoos		
<b>Alteracions tèrmiques</b>		<b>Fractures</b>	<b>Concreció</b>	
Sense		Geodes	Sí	

<b>Mesures L - A - G</b>	<b>Pes</b>	<b>Taló</b>	<b>Secció</b>
70 19 7	10.29	I	Triangular

<b>Utilització</b>	
--------------------	--

<b>Arxiu</b>	<b>Dibuix</b>

<b>Observacions</b>
<p>Lámina de sílex de retoque por presión.          Spd escaleriforme sen +Spd trav dist + Spd escaleriforme dex + Spd escaleriforme trav prox</p> <p>El talón está tallado</p> <p>Posible FORCALQUIER</p>

<b>N. Inventari</b>	<b>N. referència</b>
83	GN693//36.VII/la(b), Q.D12

<b>Jaciment</b>
Cova de la Guineu

<b>T. Sílex</b>	<b>Dist. color</b>	<b>Pàtina</b>	<b>% Pàtina</b>
Continental	Bandejada	Blanca	Marginal
<b>Transparència</b>	<b>Mida gra</b>	<b>Textura</b>	
Opac/Transp	Fi	Heterogènia	
<b>Superfície</b>	<b>Aptitud de talla</b>	<input checked="" type="checkbox"/> Mudstone <input type="checkbox"/> Wackestone <input type="checkbox"/> Packstone <input type="checkbox"/> Grainstone	
Llisa	Alta		
<b>Obs.</b>	Anillos de Liesegang		

<b>Còrtex</b>	<b>Tipo</b>	<b>Rodament</b>	<b>Litologia</b>	<b>Contacte</b>
MC	P	ER	Calcària	Net
<b>Inclusions</b>		<b>Fossils</b>		
<input type="checkbox"/> Óx. metàlics <input type="checkbox"/> Gr. hematites <input type="checkbox"/> Dend. pirolusita <input type="checkbox"/> Romboedros dolomita <input type="checkbox"/> Pseud. len. yeso <input type="checkbox"/> Cuarzo detrític <input type="checkbox"/> Recristalizaciones <input type="checkbox"/> Rel. micrita <input type="checkbox"/> Rel. inertita <input type="checkbox"/> Rel. ca <input type="checkbox"/> Mosaics de macroquars		<input type="checkbox"/> Moluscos <input type="checkbox"/> Bivalbas <input type="checkbox"/> Braquiópodos <input type="checkbox"/> Gasterópodos <input type="checkbox"/> Poríferos <input type="checkbox"/> Equinoideos <input type="checkbox"/> Algas verdes <input type="checkbox"/> Algas rojas <input checked="" type="checkbox"/> Algas carofíceas <input type="checkbox"/> Ostrácodos <input type="checkbox"/> Foraminíferos <input type="checkbox"/> Briozoos		
<b>Alteracions tèrmiques</b>		<b>Fractures</b>	<b>Concreció</b>	
Sense		Sense fractures	Sí	

<b>Mesures L - A - G</b>	<b>Pes</b>	<b>Taló</b>	<b>Secció</b>
(85) 19 5	10.77	Sense	Mixta
<b>Utilització</b>	pulimentada		

<b>Arxiu</b>	<b>Dibuix</b>

<b>Observacions</b>
<p>Fragmento mesial-distal de lámina. Fractura por lengüeta.</p> <p>Retoque: Spd sen Córtex en el costado derecho de la pieza.</p> <p>Pieza acabada en punta.</p> <p>Pulimentada Posible FORCALQUIER</p>

N. Inventari

84

N. referència

GN444//la-lc, Q.F10/31.VII

Jaciment

Cova de la Guineu

T. Sílex

Dist. color

Pàtina

% Pàtina

Indeterminabl

Llisa

Blanca

Total

Transparència

Mida gra

Textura

Opaca

Fi

Indeterminable

Superfície

Aptitud de talla

 Mudstone

Llisa

Alta

 Wackestone

Obs.

 Packstone Grainstone

Mesures L - A - G

Pes

Taló

Secció

36

2(2)

3

1.74

Sense

Romboidal

Utilització

Pulimentada  
Fracturas por utilización

Còrtex

Tipo

Rodament

Litologia

Contacte

NC

Inclusions

- Óx. metàlics  
 Gr. hematites  
 Dend. pirolusita  
 Romboedros dolomita  
 Pseud. len. yeso  
 Cuarzo detrític  
 Recristalizaciones  
 Rel. micrita  
 Rel. inertita  
 Rel. ca  
 Mosaics de macroquars

Fossils

- Moluscos  
 Bivalbas  
 Braquiópodos  
 Gasterópodos  
 Poríferos  
 Equinoideos  
 Algas verdes  
 Algas rojas  
 Algas carofíceas  
 Ostrácodos  
 Foraminíferos  
 Briozoos
- Anélidos  
 Incertae Sedis  
 Rotalina  
 Bioclastos indet.  
 Espícules  
 Dinoflagelados

Alteracions tèrmiques

Fractures

Concreció

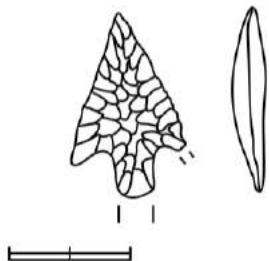
Sense

Sense fractures

No

Arxiu

Dibuix



Observacions

Punta de pedúnculo y aleta totalmente patinada, por lo que es imposible analizarla.

Retoque plano couvrant en toda la pieza.

Una de las caras no tiene retoque plano, sin embargo está pulimentado.

Tiene fracturas por uso en ambas puntas de las aletas.

**Tipología de Juan-Cabanilles**

**N. Inventari**

85

**N. referència**

GN535// la(b), Q.F12, 3.VIII

**Jaciment**

Cova de la Guineu

**T. Sílex**

Indeterminabl

**Dist. color**

Llisa

**Pàtina**

Blanca

**% Pàtina**

Total

**Transparència**

Opaca

**Mida gra**

Fi

**Textura**

Indeterminable

**Superfície**

Llisa

**Aptitud de talla**

Molt alta

- Mudstone  
 Wackestone  
 Packstone  
 Grainstone

**Obs.****Mesures L - A - G**

(29)

(15)

3

**Pes**

0.82

**Taló**

Sense

**Secció**

Romboidal

**Utilització**

Fracturas por utilización

**Còrtex**

NC

**Tipo****Rodament****Litologia****Contacte****Inclusions**

- Óx. metàlics  
 Gr. hematites  
 Dend. pirolusita  
 Romboedros dolomita  
 Pseud. len. yeso  
 Cuarzo detrític  
 Recristalizaciones  
 Rel. micrita  
 Rel. inertita  
 Rel. ca  
 Mosaics de macroquars

**Fossils**

- Moluscos  
 Bivalbas  
 Braquiòpodos  
 Gasteròpodos  
 Poríferos  
 Equinoideos  
 Algas verdes  
 Algas rojas  
 Algas carofíceas  
 Ostrácodos  
 Foraminíferos  
 Briozoos
- Anélidos  
 Incertae Sedis  
 Rotalina  
 Bioclastos indet.  
 Espícules  
 Dinoflagelados

**Alteracions tèrmiques**

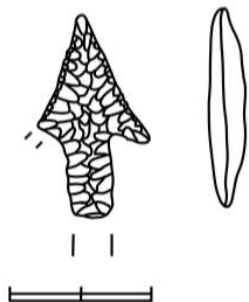
Sense

**Fractures**

Sense fractures

**Concreció**

No

**Arxiu****Dibuix****Observacions**

Punta de pedúnculo y aleta. Una de las aletas está fragmentada casi del todo. El pedúnculo muestra señales de estar fracturado.  
 El retoque es plano couvrant y en los bordes de la punta el retoque es Spd.

<b>N. Inventari</b>	<b>N. referència</b>
86	GN580// Ia(b)/Q.E11/23.VII

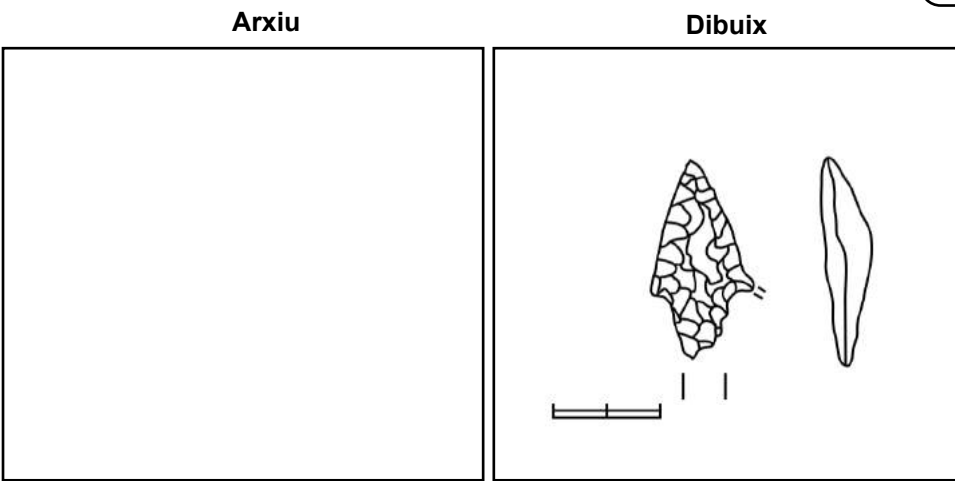
<b>Jaciment</b>
Cova de la Guineu

<b>T. Sílex</b>	<b>Dist. color</b>	<b>Pàtina</b>	<b>% Pàtina</b>
Continental	Irregular	Sense	
<b>Transparència</b>	<b>Mida gra</b>	<b>Textura</b>	
Opaca	Fi	Heterogènia	
<b>Superfície</b>	<b>Aptitud de talla</b>	<input type="checkbox"/> Mudstone <input checked="" type="checkbox"/> Wackestone <input type="checkbox"/> Packstone <input type="checkbox"/> Grainstone	
Rugosa	Alta		
<b>Obs.</b>			

<b>Còrtex</b>	<b>Tipo</b>	<b>Rodament</b>	<b>Litologia</b>	<b>Contacte</b>
NC				
<b>Inclusions</b>		<b>Fossils</b>		
<input type="checkbox"/> Óx. metàlics <input type="checkbox"/> Gr. hematites <input type="checkbox"/> Dend. pirolusita <input type="checkbox"/> Romboedros dolomita <input checked="" type="checkbox"/> Pseud. len. yeso <input type="checkbox"/> Cuarzo detrític <input type="checkbox"/> Recristalizaciones <input type="checkbox"/> Rel. micrita <input type="checkbox"/> Rel. inertita <input type="checkbox"/> Rel. ca <input type="checkbox"/> Mosaics de macroquars		<input type="checkbox"/> Moluscos <input type="checkbox"/> Bivalbas <input type="checkbox"/> Braquiópodos <input type="checkbox"/> Gasterópodos <input type="checkbox"/> Poríferos <input type="checkbox"/> Equinoideos <input type="checkbox"/> Algas verdes <input type="checkbox"/> Algas rojas <input type="checkbox"/> Algas carofíceas <input type="checkbox"/> Ostrácodos <input type="checkbox"/> Foraminíferos <input type="checkbox"/> Briozoos <input type="checkbox"/> Anélidos <input type="checkbox"/> Incertae Sedis <input type="checkbox"/> Rotalina <input type="checkbox"/> Bioclastos indet. <input type="checkbox"/> Espícules <input type="checkbox"/> Dinoflagelados		
<b>Alteracions tèrmiques</b>		<b>Fractures</b>	<b>Concreció</b>	
Sense		Sense fractures	Sí	

<b>Mesures L - A - G</b>	<b>Pes</b>	<b>Taló</b>	<b>Secció</b>
(35) (18) 6	2.88	Sense	Romboidal

<b>Utilització</b>	Fracturas por utilización
--------------------	---------------------------



**Observacions**

Punta de pedúnculo y aleta fracturada en ambas partes. La fractura del pedúnculo es actual.

Retoque plano por presión (couvrant)

**N. Inventari**

87

**N. referència**

GN554//la(b), Q.F12, 3.VIII

**Jaciment**

Cova de la Guineu

**T. Sílex**

Continental

**Dist. color**

Llisa

**Pàtina**

Blanca

**% Pàtina**

Marginal

**Transparència**

Transparent

**Mida gra**

Molt fi

**Textura**

Homogènia

**Superfície**

Llisa

**Aptitud de talla**

Molt alta

**Obs.** Mudstone Wackestone Packstone Grainstone**Mesures L - A - G**

(24)

(16)

3

**Pes**

1.13

**Taló**

Sense

**Secció**

Romboidal

**Utilització**

Fracturas por utilización

**Còrtex**

NC

**Tipo****Rodament****Litologia****Contacte****Inclusions**

- Óx. metàlics  
 Gr. hematites  
 Dend. pirolusita  
 Romboedros dolomita  
 Pseud. len. yeso  
 Cuarzo detrític  
 Recristalizaciones  
 Rel. micrita  
 Rel. inertita  
 Rel. ca  
 Mosaics de macroquars

**Fossils**

- Moluscos  
 Bivalbas  
 Braquiópodos  
 Gasterópodos  
 Poríferos  
 Equinoideos  
 Algas verdes  
 Algas rojas  
 Algas carofíceas  
 Ostrácodos  
 Foraminíferos  
 Briozoos
- Anélidos  
 Incertae Sedis  
 Rotalina  
 Bioclastos indet.  
 Espícules  
 Dinoflagelados

**Alteracions tèrmiques**

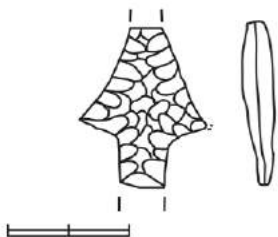
Llustre tèrmic

**Fractures**

Sense fractures

**Concreció**

No

**Arxiu****Dibuix****Observacions**

Punta de pedúnculo con fracturas en la punta (dist) y en la base del pedúnculo -por lengüeta- (prox), ambas posiblemente por uso.

El retoque es plano couvrant por presión en ambas caras y Spb en ambos lados de la punta. (Sen dex)